

การปรับปรุงผลตอบสนองของทรานเซียนของระบบควบคุมความเร็ว
ดีซีมอเตอร์ โดยการควบคุมแบบหลายลูป

TRANSIENT RESPONSE IMPROVEMENT OF DC MOTOR SPEED
CONTROL WITH MULTIPLE LOOPS



กীরติ พิฑูรพงศ์

KEERATI PITOONPONG

วิทยานิพนธ์นี้เป็นส่วนหนึ่งของการศึกษาตามหลักสูตรปริญญาวิศวกรรมศาสตรมหาบัณฑิต
สาขาวิชาวิศวกรรมไฟฟ้า

บัณฑิตวิทยาลัย

สถาบันเทคโนโลยีพระจอมเกล้าเจ้าคุณทหารลาดกระบัง

พ.ศ. 2542

ISBN 974.622.388.7

สำนักหอสมุดกลาง พระจอมเกล้าลาดกระบัง

การปรับปรุงผลตอบสนองทรานเซียนของระบบควบคุมความเร็วดีซีมอเตอร์
โดยการควบคุมแบบหลายลูป

TRANSIENT RESPONSE IMPROVEMENT OF DC MOTOR SPEED
CONTROL WITH MULTIPLE LOOPS



กীরติ พิฑูรพงศ์

KEERATI PITOONPONG

วิทยานิพนธ์นี้เป็นส่วนหนึ่งของการศึกษาตามหลักสูตรปริญญาวิศวกรรมศาสตรมหาบัณฑิต
สาขาวิชาวิศวกรรมไฟฟ้า
บัณฑิตวิทยาลัย
สถาบันเทคโนโลยีพระจอมเกล้าเจ้าคุณทหารลาดกระบัง

พ.ศ. 2542

ISBN 974-622-388-7

เลขหมู่.....
เลขทะเบียน 32884
วัน, เดือน, ปี 14 ส.ย. 2542

เอกสารนี้เป็นเอกสารที่สงวนไว้สำหรับการใช้งานเพื่อการศึกษาเท่านั้น ไม่อนุญาตให้นำไปใช้ประโยชน์ด้านการค้า

หรือคัดลอกไปเผยแพร่โดยไม่ได้รับอนุญาตจากเจ้าของเอกสารทุกครั้งที่มีการนำไปใช้

**TRANSIENT RESPONSE IMPROVEMENT OF DC MOTOR SPEED
CONTROL WITH MULTIPLE LOOPS**



KEERATI PITOONPONG

**A THESIS SUBMITTED IN PARTIAL FULFILLMENT
OF THE REQUIREMENT FOR THE DEGREE OF
MASTER OF ENGINEERING IN ELECTRICAL ENGINEERING
SCHOOL OF GRADUATE STUDIES
KING MONGKUT'S INSTITUTE OF TECHNOLOGY LADKRABANG**

1999

เอกสารนี้เป็นเอกสารที่สงวนไว้สำหรับการใช้งานเพื่อการศึกษาเท่านั้น ไม่อนุญาตให้นำไปใช้ประโยชน์ด้านการค้า

ISBN 974-622-388-7

ไม่ว่ากรณีใดๆทั้งสิ้น อีกทั้งห้ามมิให้คัดแปลงเนื้อหา และต้องอ้างอิงถึงเจ้าของเอกสารทุกครั้งที่มีการนำไปใช้



COPYRIGHT 1999

เอกสาร **SCHOOL OF GRADUATE STUDIES** เพื่อการศึกษาเท่านั้น ไม่อนุญาตให้นำไปใช้ประโยชน์ด้านการค้า
ไม่ว่าที่ **KING MONGKUT'S INSTITUTE OF TECHNOLOGY LADKRABANG** รังที่มีการนำไปใช้

หัวข้อวิทยานิพนธ์	การปรับปรุงผลตอบสนองของทรานเซียนของระบบควบคุมความเร็ววีซีเอ็มเอเตอร์โดยการควบคุมแบบหลายลูป
นักศึกษา	นายกิริติ พิจูรพงศ์
รหัสประจำตัว	37061171
ปริญญา	วิศวกรรมศาสตรมหาบัณฑิต
สาขาวิชา	วิศวกรรมไฟฟ้า
พ.ศ.	2542
อาจารย์ผู้ควบคุมวิทยานิพนธ์	ดร. นนทวัฒน์ จุลเดชะ
อาจารย์ผู้ควบคุมวิทยานิพนธ์ร่วม	รศ.ดร. โยธิน เปรมปราชญ์รัชต์

บทคัดย่อ

วิทยานิพนธ์นี้กล่าวถึงการพัฒนาาระบบควบคุมความเร็ววีซีเอ็มเอเตอร์แบบแม่เหล็กถาวรจากระบบชนิดคาสเคด 2 ลูปที่ใช้กันทั่วไปซึ่งประกอบด้วยลูปควบคุมกระแสอยู่ภายในและลูปควบคุมความเร็วอยู่ภายนอก โดยนำเสนอระบบควบคุมความเร็วคาสเคด 3 ลูปที่ประกอบไปด้วยลูปควบคุมโวลต์เดจ ลูปควบคุมกระแสและลูปควบคุมความเร็วต่อคาสเคดเป็นขั้นต่อกัน โดยตัวควบคุมทั้งหมดใช้แบบ PI ซึ่งออกแบบโดยใช้วิธีโมดูลัสออปติ멈 (Modulus optimum) และซิมเมตริกอลออปติ멈 (Symmetrical optimum) การเพิ่มลูปควบคุมภายในสุดชนิดโวลต์เดจเข้าไปช่วยให้ระบบควบคุมความเร็วแบบ 3 ลูปมีผลการตอบสนองต่อสเตปอินพุทและสเตปโหลดได้ดีกว่าแบบ 2 ลูป โดยผลการทดลองเปรียบเทียบจากระบบที่นำเสนอเปรียบเทียบกับระบบแบบเดิมแสดงให้เห็นว่าเวลาในการตอบสนองต่อสเตปอินพุทของระบบดีขึ้น 28.8% และต่อสเตปโหลดดีขึ้น 31% และยังคงโอเวอร์ชูทของระบบจากการตอบสนองต่อสเตปโหลดลง 32.5% นอกจากนี้ถ้าในลูปควบคุมความเร็วของระบบที่นำเสนอใช้ตัวควบคุมแบบ PID แต่ลูปควบคุมกระแสและลูปควบคุมโวลต์เดจยังคงใช้ตัวควบคุมแบบ PI จากผลการทดลองเปรียบเทียบจากระบบที่นำเสนอกับระบบแบบเดิม สังเกตได้ว่าเวลาในการตอบสนองต่อสเตปอินพุทของระบบดีขึ้น 64.3% และต่อสเตปโหลดดีขึ้น 65.5% และยังคงโอเวอร์ชูทของระบบจากการตอบสนองต่อสเตปโหลดลง 69.3% อีกด้วย

เอกสารนี้เป็นเอกสารที่สงวนไว้สำหรับการใช้งานเพื่อการศึกษาเท่านั้น ไม่อนุญาตให้นำไปใช้ประโยชน์ด้านการค้า ไม่ว่าจะกรณีใดๆทั้งสิ้น อีกทั้งห้ามมิให้คัดแปลงเนื้อหา และต้องอ้างอิงถึงเจ้าของเอกสารทุกครั้งที่มีการนำไปใช้

Thesis Title Transient Response Improvement of DC Motor Speed Control with Multiple Loops.

Student Mr. Keerati Pitoonpong

Student ID. 37061171

Degree Master of Engineering

Programme Electrical Engineering

Year 1999

Thesis Advisor Dr. Nontawat Chuladaycha

Thesis Co-advisor Assoc.Prof.Dr. Yothin Prempraneerach

ABSTRACT

This thesis presents development of permanent magnet DC-motor speed control system. The typical speed control system consists of two loop controllers, i.e. current and speed. This thesis presents three-loop speed control system, which consists of voltage controller, current controller and speed controller. The PI controller of each loop is designed by Modulus and Symmetrical optimum method. By adding voltage control loop into the control system, the transient response to the step input and step load in comparing with the two-loop speed control system has improved. According to experimental results, the settling time of the system response to the step input and step load are improved by 28.8% and 31% respectively. Moreover, the overshoot of system with step load is reduced by 32.5%. If the speed controller of three-loop system is replaced by PID type controller, the settling time of system response to the step input and step load are improved by 64.3% and 65.5% respectively. Therefore, the overshoot of system response to step load is reduced by 69.3%.

เอกสารนี้เป็นเอกสารที่สงวนไว้สำหรับการใช้งานเพื่อการศึกษาเท่านั้น ไม่อนุญาตให้นำไปใช้ประโยชน์ด้านการค้า
ไม่ว่ากรณีใดๆทั้งสิ้น อีกทั้งห้ามมิให้คัดแปลงเนื้อหา และต้องอ้างอิงถึงเจ้าของเอกสารทุกครั้งที่มีการนำไปใช้

กิตติกรรมประกาศ

วิทยานิพนธ์ฉบับนี้สำเร็จลุล่วงได้อย่างดี ด้วยคำแนะนำและคำปรึกษาเกี่ยวกับระบบควบคุมความเร็วดีซีมอเตอร์ และการตรวจสอบจาก ดร. นนทวัฒน์ จุลเคชะ และ รศ.ดร. โยธิน เปรมปราณีรัชต์ ซึ่งเป็นอาจารย์ผู้ควบคุมวิทยานิพนธ์ ผู้วิจัยขอขอบคุณทั้งสองท่านเป็นอย่างสูง

ขอขอบคุณ อ.วันชัย ธีรรุจา และ อ.เกียรติศักดิ์ คมวัชระ ภาควิชาวิศวกรรมระบบควบคุม ที่ให้ความช่วยเหลือด้านเครื่องมือวัดและการออกแบบวงจร

ขอขอบคุณ อ.วิจิต ศิริโชติ ภาควิชาฟิสิกส์ประยุกต์ ที่ให้ความช่วยเหลือในด้านวิธีการทดสอบระบบ

ขอขอบคุณ คุณสรวิชัยและคุณธนิน ที่ให้ความช่วยเหลือด้านอุปกรณ์

ขอขอบคุณบัณฑิตวิทยาลัยที่ให้ทุนสนับสนุน ในการทำวิทยานิพนธ์ครั้งนี้

กิริติ พิจูรพงศ์

เอกสารนี้เป็นเอกสารที่สงวนไว้สำหรับการใช้งานเพื่อการศึกษาเท่านั้น ไม่อนุญาตให้นำไปใช้ประโยชน์ด้านการค้า ไม่ว่ากรณีใดๆทั้งสิ้น อีกทั้งห้ามมิให้คัดแปลงเนื้อหา และต้องอ้างอิงถึงเจ้าของเอกสารทุกครั้งที่มีการนำไปใช้

สารบัญ

	หน้า
บทคัดย่อภาษาไทย.....	I
บทคัดย่อภาษาอังกฤษ.....	II
กิตติกรรมประกาศ.....	III
สารบัญ.....	IV
สารบัญตาราง.....	VI
สารบัญภาพ.....	VII
สัญลักษณ์.....	XII
บทที่ 1 บทนำ.....	1
บทที่ 2 ดีซีโมเตอร์แบบแม่เหล็กถาวร.....	4
2.1 หลักการทำงานพื้นฐานของดีซีโมเตอร์.....	4
2.2 ชนิดของดีซีโมเตอร์.....	4
2.3 สมการทางคณิตศาสตร์และทรานสเฟอร์ฟังก์ชันของดีซีโมเตอร์.....	6
2.4 ทาโคเจนเนอเรเตอร์.....	11
2.5 การวัดค่าพารามิเตอร์ที่สำคัญของดีซีโมเตอร์.....	13
บทที่ 3 การออกแบบระบบควบคุม.....	17
3.1 ระบบที่เหมาะสมโดยทั่วไป.....	17
3.2 การออกแบบตัวควบคุม โดยวิธีโมดูลัสออปติมัม.....	20
3.3 การออกแบบตัวควบคุม โดยวิธีซิมเมตริกอลออปติมัม.....	24
3.4 การออกแบบตัวควบคุมสำหรับระบบที่มีตัวหน่วงเวลาอันดับหนึ่งขนาดใหญ่.....	27
3.5 การแก้ไขโอเวอร์ชูทจากการออกแบบด้วยวิธีซิมเมตริกอลออปติมัม.....	29
3.6 การตอบสนองของระบบต่อสิ่งรบกวนภายนอก.....	31
3.7 การแบ่งระบบออกเป็นส่วนย่อย.....	33
3.8 วงจรของตัวควบคุม.....	34
3.9 ระบบของดีซีโมเตอร์.....	37

เอกสารนี้เป็นเอกสารที่สงวนไว้สำหรับการใช้งานเพื่อการศึกษาเท่านั้น ไม่อนุญาตให้นำไปใช้ประโยชน์ด้านการค้า
ไม่ว่ากรณีใดๆทั้งสิ้น อีกทั้งห้ามมิให้คัดแปลงเนื้อหา และต้องอ้างอิงถึงเจ้าของเอกสารทุกครั้งที่มีการนำไปใช้

สารบัญ(ต่อ)

หน้า

บทที่ 4 การออกแบบระบบควบคุมความเร็วดีซีมอเตอร์แบบหลายรูป.....	40
4.1 การออกแบบระบบควบคุมความเร็วแบบสองรูปโดยใช้ตัวควบคุมแบบ PI.....	41
4.2 การออกแบบระบบควบคุมความเร็วแบบสามรูปโดยใช้ตัวควบคุมแบบ PI.....	49
4.3 การออกแบบระบบควบคุมความเร็วแบบสามรูปโดยใช้ตัวควบคุมแบบ PID ที่รูปความเร็ว.....	58
4.4 สรุปผลการออกแบบระบบควบคุมความเร็วดีซีมอเตอร์.....	63
บทที่ 5 การทดลองระบบควบคุมความเร็วดีซีมอเตอร์.....	64
5.1 การทดลองในด้านการตอบสนองของระบบควบคุมความเร็วต่อสเตปอินพุท.....	66
5.2 การทดลองในด้านการตอบสนองของระบบควบคุมความเร็วต่อสเตปโหลด.....	66
5.3 รูปแบบการทดลองระบบควบคุมความเร็ว.....	67
5.4 ผลการทดลองของระบบที่ 1.....	68
5.5 ผลการทดลองของระบบที่ 2.....	72
5.6 ผลการทดลองของระบบที่ 3.....	76
5.7 ผลการทดลองของทั้งสามระบบ.....	80
บทที่ 6 สรุปผลการทดลองระบบควบคุมความเร็วดีซีมอเตอร์.....	81
บรรณานุกรม.....	85
ภาคผนวก.....	87
ประวัติผู้เขียน.....	90

เอกสารนี้เป็นเอกสารที่สงวนไว้สำหรับการใช้งานเพื่อการศึกษาเท่านั้น ไม่อนุญาตให้นำไปใช้ประโยชน์ด้านการค้า
ไม่ว่ากรณีใดๆทั้งสิ้น อีกทั้งห้ามมิให้คัดแปลงเนื้อหา และต้องอ้างอิงถึงเจ้าของเอกสารทุกครั้งที่มีการนำไปใช้

สารบัญตาราง

ตารางที่	หน้า
3.1 สรุปค่าคงที่ทางเวลาของการประมาณลูปควบคุมให้เป็นตัวหน่วงเวลาอันดับหนึ่ง.....	34
4.1 สรุปผลการจำลองระบบด้วยโปรแกรมคอมพิวเตอร์.....	63
5.1 ผลการตอบสนองต่อสเตปอินพุทและสเตปโพลคของระบบควบคุมความเร็ว ดีซีมอเตอร์จากการทดลอง.....	80
6.1 ผลการเปรียบเทียบการตอบสนองต่อสเตปอินพุทของระบบจากการจำลองระบบ ด้วยโปรแกรมคอมพิวเตอร์และจากการทดสอบระบบจริง.....	81
6.2 ผลการเปรียบเทียบการตอบสนองต่อสเตปโพลคของระบบจากการจำลองระบบ ด้วยโปรแกรมคอมพิวเตอร์และจากการทดสอบระบบจริง.....	82



เอกสารนี้เป็นเอกสารที่สงวนไว้สำหรับการใช้งานเพื่อการศึกษาเท่านั้น ไม่อนุญาตให้นำไปใช้ประโยชน์ด้านการค้า
ไม่ว่ากรณีใดๆทั้งสิ้น อีกทั้งห้ามมิให้คัดแปลงเนื้อหา และต้องอ้างอิงถึงเจ้าของเอกสารทุกครั้งที่มีการนำไปใช้

สารบัญญภาพ

ภาพที่	หน้า
2.1 แสดงสัญลักษณ์ของคิซิมอเตอร์แบบแม่เหล็กถาวร.....	5
2.2 แสดงความสัมพันธ์ระหว่างความเร็วและกระแสที่ไหลผ่านอาร์มาเจอร์.....	5
2.3 แสดงวงจรทางไฟฟ้าของคิซิมอเตอร์.....	6
2.4 แสดงบล็อก ไดอะแกรมของคิซิมอเตอร์.....	8
2.5 แสดงบล็อก ไดอะแกรมของคิซิมอเตอร์ในรูปของตัวหน่วงเวลาอันดับหนึ่ง และอินทิเกรเตอร์.....	9
2.6 แสดงบล็อก ไดอะแกรมของคิซิมอเตอร์อย่างง่าย.....	10
2.7 แสดงบล็อก ไดอะแกรมของทาโคเจนเนอร์เรเตอร์.....	12
2.8 แสดงการใช้งานทาโคเจนเนอร์เรเตอร์ในการควบคุมความเร็วคิซิมอเตอร์.....	12
2.9 แสดงการวัดค่าความต้านทานของคิซิมอเตอร์.....	13
2.10 แสดงการวัดค่าคงที่ทางเวลาทางไฟฟ้าของคิซิมอเตอร์.....	14
2.11 แสดงการวัดค่าคงที่ทางเวลาเชิงกลของคิซิมอเตอร์.....	14
2.12 แสดงการวัดค่าคงที่แรงดันย้อนกลับของคิซิมอเตอร์.....	15
2.13 แสดงตัวนำขดเป็นวงอยู่ในสนามแม่เหล็ก.....	15
3.1 แสดงระบบควบคุมแบบปิด.....	18
3.2 แสดงลักษณะการตอบสนองในเชิงความถี่ของระบบที่เหมาะสม.....	19
3.3 แสดงระบบควบคุมที่ใช้ตัวควบคุมแบบ I ที่ออกแบบโดยวิธี ไมครูล์สออปติ้ม.....	20
3.4 แสดงการตอบสนองต่อสเปปอินพุทของระบบที่ออกแบบด้วยวิธี ไมครูล์ส ออปติ้ม.....	21
3.5 แสดงระบบควบคุมที่ใช้ตัวควบคุมแบบ PI ที่ออกแบบโดยวิธี ไมครูล์สออปติ้ม.....	22
3.6 แสดงระบบควบคุมที่ใช้ตัวควบคุมแบบ PID ที่ออกแบบโดยวิธี ไมครูล์สออปติ้ม.....	23
3.7 แสดงระบบควบคุมที่ใช้ตัวควบคุมแบบ PI ที่ออกแบบโดยวิธีซิมเมตริกอลออปติ้ม.....	24
3.8 แสดงลักษณะอัตราขยายของระบบเปิดในเชิงความถี่.....	25
3.9 แสดงการตอบสนองต่อสเปปอินพุทของระบบที่ใช้การออกแบบด้วยวิธี ซิมเมตริกอลออปติ้ม.....	26
3.10 แสดงระบบควบคุมที่ใช้ตัวควบคุมแบบ PID ที่ออกแบบโดยวิธีซิมเมตริกอลออปติ้ม.....	27
3.11 แสดงระบบที่มีตัวหน่วงเวลาอันดับหนึ่งขนาดใหญ่.....	28

เอกสารนี้เป็นเอกสารที่จัดทำขึ้นเพื่อใช้ในการศึกษาเท่านั้น ไม่สามารถนำไปใช้ประโยชน์ในการค้า
ไม่ว่ากรณีใดๆทั้งสิ้น อีกทั้งห้ามมิให้คัดแปลงเนื้อหา และต้องอ้างอิงถึงเจ้าของเอกสารทุกครั้งที่มีการนำไปใช้

สารบัญญภาพ (ต่อ)

ภาพที่	หน้า
3.12 แสดงการเพิ่มตัวสมูทติ้งเพื่อลดโอเวอร์ชูตต่อสเตปอินพุท.....	29
3.13 แสดงการตอบสนองต่อสเตปอินพุทของระบบที่ใช้การออกแบบตัวควบคุมด้วยวิธี ซิมเมตริกคอลลอปติမ် และเพิ่มตัวสมูทติ้งเพื่อลดโอเวอร์ชูต.....	30
3.14 แสดงระบบที่ให้อินพุทเป็น 0 เพื่อพิจารณาผลตอบสนองต่อสิ่งรบกวนภายนอก (Z).....	31
3.15 แสดงการตอบสนองต่อสิ่งรบกวนภายนอกอย่างทันทีทันใดของระบบที่ออกแบบตัวควบคุม โดยใช้วิธีโมคูลัสคอลลอปติမ်.....	32
3.16 แสดงการตอบสนองต่อสิ่งรบกวนภายนอกอย่างทันทีทันใดของระบบที่ออกแบบตัวควบคุม โดยใช้วิธีซิมเมตริกคอลลอปติမ်.....	32
3.17 แสดงระบบที่ใช้ตัวควบคุม 2 ตัว.....	33
3.18 แสดงการสังเคราะห์ตัวควบคุม PI โดยใช้ฮอปแอม[3,5].....	34
3.19 แสดงการสังเคราะห์ตัวควบคุม PID โดยใช้ฮอปแอม[3].....	35
3.20 แสดงวงจรมูทติ้ง[1,11].....	36
3.21 แสดงบล็อกไดอะแกรมของการจ่ายโวลต์เดจให้กับส่วนทางไฟฟ้าของดีซีมอเตอร์.....	37
3.22 บล็อกไดอะแกรมแสดงความสัมพันธ์ระหว่างความเร็วรอบและสัญญาณที่นำไปใช้งาน.....	38
3.23 แสดงระบบของดีซีมอเตอร์.....	39
4.1 แสดงระบบของดีซีมอเตอร์.....	40
4.2 แสดงระบบควบคุมความเร็วแบบสองลูปลโดยใช้ตัวควบคุมแบบ PI	41
4.3 แสดงการพิจารณาโวลต์เดจย้อนกลับให้เป็นการรบกวนจากภายนอก.....	41
4.4 แสดงลูปลควบคุมกระแสของระบบควบคุมแบบสองลูปล.....	42
4.5 แสดงวงจรของตัวควบคุมแบบ PI ที่มีวงจรมูทติ้งสำหรับลูปลควบคุมกระแสของระบบ ควบคุมแบบสองลูปล.....	44
4.6 แสดงลูปลควบคุมความเร็วที่มีลูปลควบคุมกระแสที่ประมาณเป็นตัวหน่วงเวลาอันดับหนึ่ง อยู่ภายใน.....	45
4.7 แสดงระบบควบคุมความเร็วแบบสองลูปลที่มีตัวสมูทติ้ง.....	46
4.8 แสดงการตอบสนองของระบบควบคุมแบบสองลูปลต่อสเตปอินพุท (a) และสเตปโหด (b).....	46
4.9 แสดงวงจรของตัวควบคุมแบบ PI ที่มีวงจรมูทติ้งสำหรับลูปลควบคุมความเร็วของระบบ ควบคุมแบบสองลูปล.....	48

เอกสารนี้เป็นเอกสารที่เผยแพร่เพื่อการศึกษาเท่านั้น ไม่อนุญาตให้นำไปใช้ประโยชน์ทางการค้า

ไม่ว่ากรณีใดๆทั้งสิ้น อีกทั้งห้ามมิให้คัดแปลงเนื้อหา และต้องอ้างอิงถึงเจ้าของเอกสารทุกครั้งที่มีการนำไปใช้

สารบัญญภาพ (ต่อ)

ภาพที่	หน้า
4.10 แสดงภาพถ่ายของวงจรถจริงของตัวควบคุมในรูปกระแสและตัวควบคุมในรูปความเร็ว ในแผงวงจรถเดียวกัน.....	48
4.11 แสดงระบบควบคุมความเร็วแบบสามลูบโดยใช้ตัวควบคุมแบบ PI.....	49
4.12 แสดงรูปควบคุม โวลท์เดจ.....	50
4.13 แสดงวงจรถของตัวควบคุมแบบ PI ที่มีวงจรถมุดึงสำหรับรูปควบคุม โวลท์เดจของระบบ ควบคุมแบบสามลูบ.....	51
4.14 แสดงรูปควบคุมกระแสที่มีรูปควบคุม โวลท์เดจอยู่ภายใน.....	52
4.15 แสดงวงจรถของตัวควบคุมแบบ PI สำหรับรูปควบคุมกระแสของระบบควบคุม แบบสามลูบ.....	53
4.16 แสดงระบบควบคุมความเร็วที่มีรูปควบคุมกระแสและ โวลท์เดจอยู่ภายใน.....	54
4.17 แสดงระบบควบคุมความเร็วแบบสามลูบที่มีวงจรถมุดึง.....	55
4.18 แสดงการตอบสนองของระบบควบคุมแบบสามลูบต่อสเคปอินพุท (a) และสเคปโหลด (b).....	56
4.19 แสดงวงจรถของตัวควบคุมแบบ PI ที่มีวงจรถมุดึงสำหรับรูปควบคุมความเร็วของระบบ ควบคุมแบบสามลูบ.....	57
4.20 แสดงภาพถ่ายของวงจรถจริงของตัวควบคุมในรูป โวลท์เดจ, ลูบกระแสและรูปความเร็ว.....	58
4.21 แสดงระบบควบคุมความเร็วแบบสามลูบโดยใช้ตัวควบคุมแบบ PID ที่รูปควบคุมความเร็ว.....	58
4.22 แสดงระบบควบคุมความเร็วแบบสามลูบที่มีตัวสมุดึงโดยใช้ตัวควบคุมแบบ PID ที่รูปควบคุมความเร็ว.....	59
4.23 แสดงการตอบสนองของระบบควบคุมแบบสามลูบโดยใช้ตัวควบคุมแบบ PID ที่รูปควบคุมความเร็วต่อสเคปอินพุท (a) และสเคปโหลด (b).....	60
4.24 แสดงวงจรถของตัวควบคุมแบบ PID ที่มีวงจรถมุดึงสำหรับรูปควบคุมความเร็ว ของระบบควบคุมแบบสามลูบ.....	62
4.25 แสดงภาพถ่ายของวงจรถจริงของตัวควบคุมในรูป โวลท์เดจ, ลูบกระแสและรูปความเร็ว โดยตัวควบคุมในรูปความเร็วเป็นแบบ PID.....	62

เอกสาร 5.1 ลักษณะการเชื่อมต่ออุปกรณ์ของระบบควบคุมความเร็วดีซีซิมอเตอร์แบบ 2 ลูบ.....64

ไม่ว่ากรณีใดๆทั้งสิ้น อีกทั้งห้ามมิให้คัดแปลงเนื้อหา และต้องอ้างอิงถึงเจ้าของเอกสารทุกครั้งที่มีการนำไปใช้

สารบัญญภาพ (ต่อ)

ภาพที่	หน้า
5.2 ลักษณะการเชื่อมต่ออุปกรณ์ของระบบควบคุมความเร็วดีซีมอเตอร์แบบ 3 รูป..	65
5.3 ภาพถ่ายระบบที่ใช้ในการทดลอง.....	65
5.4 แสดงดีซีมอเตอร์และโหลดที่ต่อตัวคู่ควบเข้าด้วยกัน.....	67
5.5 แสดงการตอบสนองของระบบที่ 1 ต่อกรณีที่ 1 ได้แก่ที่สภาวะของดีซีมอเตอร์หยุดนิ่ง ป้อนสเตปอินพุทให้ดีซีมอเตอร์หมุนที่ 1000 รอบต่อนาที.....	68
5.6 แสดงการตอบสนองของระบบที่ 1 ต่อกรณีที่ 2 ได้แก่ที่สภาวะของดีซีมอเตอร์หมุน ที่ความเร็ว 500 รอบต่อนาที ป้อนสเตปอินพุทให้ดีซีมอเตอร์หมุนที่ 1500 รอบต่อนาที.....	69
5.7 แสดงการตอบสนองของระบบที่ 1 ต่อกรณีที่ 3 ได้แก่ที่สภาวะของดีซีมอเตอร์หมุน ที่ความเร็ว -1000 รอบต่อนาที ป้อนสเตปอินพุทให้ดีซีมอเตอร์หมุนที่ 1000 รอบต่อนาที และกลับมายังที่ความเร็ว -1000 รอบต่อนาที.....	69
5.8 แสดงการตอบสนองของระบบที่ 1 ต่อกรณีที่ 4 ได้แก่ที่สภาวะของดีซีมอเตอร์หมุน ที่ความเร็ว 1000 รอบต่อนาที ป้อนสเตปโหลดขนาด 100% ของพิคกโหลด.....	70
5.9 แสดงการตอบสนองของระบบที่ 1 ต่อกรณีที่ 5 ได้แก่ที่สภาวะของดีซีมอเตอร์หมุน ที่ความเร็ว 1000 รอบต่อนาที ป้อนสเตปโหลดขนาด 75% ของพิคกโหลด.....	70
5.10 แสดงการตอบสนองของระบบที่ 1 ต่อกรณีที่ 6 ได้แก่ที่สภาวะของดีซีมอเตอร์หมุน ที่ความเร็ว 1000 รอบต่อนาที ป้อนสเตปโหลดขนาด 25% ของพิคกโหลด.....	71
5.11 แสดงการตอบสนองของระบบที่ 2 ต่อกรณีที่ 1 ได้แก่ที่สภาวะของดีซีมอเตอร์หยุดนิ่ง ป้อนสเตปอินพุทให้ดีซีมอเตอร์หมุนที่ 1000 รอบต่อนาที.....	72
5.12 แสดงการตอบสนองของระบบที่ 2 ต่อกรณีที่ 2 ได้แก่ที่สภาวะของดีซีมอเตอร์หมุน ที่ความเร็ว 500 รอบต่อนาที ป้อนสเตปอินพุทให้ดีซีมอเตอร์หมุนที่ 1500 รอบต่อนาที.....	73
5.13 แสดงการตอบสนองของระบบที่ 2 ต่อกรณีที่ 3 ได้แก่ที่สภาวะของดีซีมอเตอร์หมุน ที่ความเร็ว -1000 รอบต่อนาที ป้อนสเตปอินพุทให้ดีซีมอเตอร์หมุนที่ 1000 รอบต่อนาที และกลับมายังที่ความเร็ว -1000 รอบต่อนาที.....	73
5.14 แสดงการตอบสนองของระบบที่ 2 ต่อกรณีที่ 4 ได้แก่ที่สภาวะของดีซีมอเตอร์หมุน ที่ความเร็ว 1000 รอบต่อนาที ป้อนสเตปโหลดขนาด 100% ของพิคกโหลด.....	74
5.15 แสดงการตอบสนองของระบบที่ 2 ต่อกรณีที่ 5 ได้แก่ที่สภาวะของดีซีมอเตอร์หมุน ที่ความเร็ว 1000 รอบต่อนาที ป้อนสเตปโหลดขนาด 75% ของพิคกโหลด.....	74

เอกสารนี้เป็นทรัพย์สินของมหาวิทยาลัยเทคโนโลยีพระจอมเกล้าธนบุรี การนำ

ไม่ว่ากรณีใดๆทั้งสิ้น อีกทั้งห้ามมิให้คัดแปลงเนื้อหา และต้องอ้างอิงถึงเจ้าของเอกสารทุกครั้งที่มีการนำไปใช้

สารบัญญภาพ (ต่อ)

ภาพที่	หน้า
5.16 แสดงการตอบสนองของระบบที่ 2 ต่อกรณีที่ 6 ได้แก่ที่สภาวะของดีซีมอเตอร์หมุน ที่ความเร็ว 1000 รอบต่อนาที ป้อนสเตปโหลดขนาด 25% ของพิกัดโหลด.....	75
5.17 แสดงการตอบสนองของระบบที่ 3 ต่อกรณีที่ 1 ได้แก่ที่สภาวะของดีซีมอเตอร์หยุดนิ่ง ป้อนสเตปอินพุทให้ดีซีมอเตอร์หมุนที่ 1000 รอบต่อนาที.....	76
5.18 แสดงการตอบสนองของระบบที่ 3 ต่อกรณีที่ 2 ได้แก่ที่สภาวะของดีซีมอเตอร์หมุน ที่ความเร็ว 500 รอบต่อนาที ป้อนสเตปอินพุทให้ดีซีมอเตอร์หมุนที่ 1500 รอบต่อนาที.....	77
5.19 แสดงการตอบสนองของระบบที่ 3 ต่อกรณีที่ 3 ได้แก่ที่สภาวะของดีซีมอเตอร์หมุน ที่ความเร็ว -1000 รอบต่อนาที ป้อนสเตปอินพุทให้ดีซีมอเตอร์หมุนที่ 1000 รอบต่อนาที และกลับมายังที่ความเร็ว -1000 รอบต่อนาที.....	77
5.20 แสดงการตอบสนองของระบบที่ 3 ต่อกรณีที่ 4 ได้แก่ที่สภาวะของดีซีมอเตอร์หมุน ที่ความเร็ว 1000 รอบต่อนาที ป้อนสเตปโหลดขนาด 100% ของพิกัดโหลด.....	78
5.21 แสดงการตอบสนองของระบบที่ 3 ต่อกรณีที่ 5 ได้แก่ที่สภาวะของดีซีมอเตอร์หมุน ที่ความเร็ว 1000 รอบต่อนาที ป้อนสเตปโหลดขนาด 75% ของพิกัดโหลด.....	78
5.22 แสดงการตอบสนองของระบบที่ 3 ต่อกรณีที่ 6 ได้แก่ที่สภาวะของดีซีมอเตอร์หมุน ที่ความเร็ว 1000 รอบต่อนาที ป้อนสเตปโหลดขนาด 25% ของพิกัดโหลด.....	79
6.1 แสดงการเปรียบเทียบเวลาเข้าสู่สภาวะคงตัวต่อสเตปอินพุทของระบบทั้งสาม.....	82
6.2 แสดงการเปรียบเทียบเวลาเข้าสู่สภาวะคงตัวต่อสเตปโหลดของระบบทั้งสาม.....	83
6.3 แสดงการเปรียบเทียบโอเวอร์ชูทจากการตอบสนองต่อสเตปโหลดของระบบทั้งสาม จากการจำลองระบบด้วยคอมพิวเตอร์.....	83
6.4 แสดงการเปรียบเทียบโอเวอร์ชูทจากการตอบสนองต่อสเตปโหลดของระบบทั้งสาม จากระบบจริง.....	84
7.1 แสดงวงจรรองความถี่ต่ำผ่านของส่วนป้อนกลับ โวลต์เตจและกระแส.....	88
7.2 แสดงวงจรรองความถี่ต่ำผ่านของส่วนป้อนกลับความเร็วจากทาโคเจนเนอร์เรเตอร์.....	88
7.3 แสดงตัวขับเคลื่อนดีซีมอเตอร์หรือไคร์ฟเวอร์.....	89
7.4 แสดงบล็อก ไดอะแกรมภายในของวงจรขับเคลื่อนดีซีมอเตอร์ [14].....	89

เอกสารนี้เป็นเอกสารที่สงวนไว้สำหรับการใช้งานเพื่อการศึกษาเท่านั้น ไม่อนุญาตให้นำไปใช้ประโยชน์ด้านการค้า
ไม่ว่ากรณีใดๆทั้งสิ้น อีกทั้งห้ามมิให้คัดแปลงเนื้อหา และต้องอ้างอิงถึงเจ้าของเอกสารทุกครั้งที่มีการนำไปใช้

สัญลักษณ์

i_a	:	กระแสที่ไหลเข้าอาร์มาเจอร์
$P_1 \cdot P_2$:	ค่าโพททั้งสองของคิซิมอเตอร์
t_f	:	แรงบิดด้านจากความฝืด
t_g	:	แรงบิดที่เกิดจากคิซิมอเตอร์
t_L	:	แรงบิดด้านจากโหลด
t_m	:	แรงบิดที่ด้านการหมุนของคิซิมอเตอร์
t_r	:	ค่าไรซ์ไทม์
t_s	:	ค่าเวลาเข้าสู่สภาวะคงตัว
v_a	:	โวลต์เตจที่จ่ายให้กับคิซิมอเตอร์
v_b	:	โวลต์เตจย้อนกลับของคิซิมอเตอร์
v_g	:	ระดับสัญญาณที่ได้จากทาโคเจนเนอร์เรเตอร์
A_a	:	ค่าอัตราขยายสัญญาณของไคร์ฟเวอร์
A_{fc}	:	ค่าอัตราขยายสัญญาณของฟิลเตอร์กรองความถี่ต่ำผ่านของลูบควบคุม กระแส
A_{fv}	:	ค่าอัตราขยายสัญญาณของฟิลเตอร์กรองความถี่ต่ำผ่านของลูบควบคุม โวลต์เตจ
A_{fw}	:	ค่าอัตราขยายสัญญาณของฟิลเตอร์กรองความถี่ต่ำผ่านของลูบควบคุม ความเร็ว
A_m	:	ค่าอัตราขยายสัญญาณของส่วนทางไฟฟ้าของคิซิมอเตอร์
A_r	:	ค่าอัตราขยายสัญญาณของตัวควบคุม
A_s	:	ค่าอัตราขยายสัญญาณของตัวหน่วงเวลาอันดับหนึ่ง
C_n	:	ค่าตัวเก็บประจุใดๆ
R_n	:	ค่าตัวต้านทานใดๆ
D	:	ค่าสัมประสิทธิ์ความฝืดวิสกอร์ส
$F_w(s)$:	ทรานสเฟอร์ฟังก์ชันของระบบควบคุมแบบปิดหรือระบบป้อนกลับ

เอกสารนี้เป็นเอกสารที่สงวนไว้สำหรับอาจารย์และบุคลากรศึกษาเท่านั้น ไม่อนุญาตให้นำไปใช้ประโยชน์ด้านการค้า
ไม่ว่ากรณีใดๆทั้งสิ้น อีกทั้งห้ามมิให้คัดแปลงเนื้อหา และต้องอ้างอิงถึงเจ้าของเอกสารทุกครั้งที่มีการนำไปใช้

$F_o(s)$:	ทรานสเฟอ์ฟังก์ชันของตัวควบคุมและองค์ประกอบของระบบ
$G_m(s)$:	ทรานสเฟอ์ฟังก์ชันของคิซิมอเตอร์
$I_a(s)$:	กระแสที่ไหลเข้าอาร์มาเจอร์ในโดเมน s
J	:	โมเมนต์ของแรงเฉื่อยทั้งหมด
J_L	:	โมเมนต์ของแรงเฉื่อยจากโหลด
J_m	:	โมเมนต์ของแรงเฉื่อยในคิซิมอเตอร์
K_E	:	ค่าคงที่แรงดันย้อนกลับหรืออีเอ็มเอฟโวลต์เตจสำหรับคิซิมอเตอร์
K_T	:	ค่าคงที่แรงบิดสำหรับคิซิมอเตอร์
K_{Tg}	:	ค่าคงที่ของระดับสัญญาณต่อความเร็วรอบของทาโคเจนเนอร์เรเตอร์
L_a	:	ค่าความเหนี่ยวนำภายในของคิซิมอเตอร์
R, R_L	:	ค่าความต้านทานภายในของคิซิมอเตอร์
T_1, T_2, T_3, T_4	:	ค่าคงที่ทางเวลาของตัวหน่วงเวลาอันดับหนึ่งใดๆ
T_a	:	ค่าคงที่ทางเวลาของไดร์ฟเวอร์
T_c	:	ผลรวมของค่าคงที่ทางเวลาของตัวหน่วงเวลาอันดับหนึ่งขนาดเล็ก
T_{fc}	:	ค่าคงที่ทางเวลาของฟิลเตอร์กรองความถี่ต่ำผ่านของรูปควบคุมกระแส
T_{fv}	:	ค่าคงที่ทางเวลาของฟิลเตอร์กรองความถี่ต่ำผ่านของรูปควบคุมโวลต์เตจ
T_{fw}	:	ค่าคงที่ทางเวลาของฟิลเตอร์กรองความถี่ต่ำผ่านของรูปควบคุมความเร็ว
$T_g(s)$:	แรงบิดที่เกิดจากคิซิมอเตอร์ในโดเมน s
T_i	:	ค่าคงที่ทางเวลาในการอินทิเกรตสัญญาณของตัวควบคุม
$T_L(s)$:	แรงบิดต้านจากโหลดในโดเมน s
T_o	:	ค่าคงที่ทางเวลาในการอินทิเกรตสัญญาณของตัวอินทิเกรเตอร์
T_{sm}	:	ค่าคงที่ทางเวลาของตัวสมูทติง
T_v	:	ค่าคงที่ทางเวลาในการคิฟเฟอร์เรนซิเอทสัญญาณของตัวควบคุม
$V_a(s)$:	โวลต์เตจที่จ่ายให้กับคิซิมอเตอร์ในโดเมน s
$V_b(s)$:	โวลต์เตจย้อนกลับของคิซิมอเตอร์ในโดเมน s
$V_i(s)$:	สัญญาณคำสั่งที่ป้อนให้ระบบควบคุม

เอกสารนี้เป็นเอกสารตัวอย่างที่จัดทำขึ้นเพื่อใช้ในการศึกษาเท่านั้น ไม่อนุญาตให้นำไปใช้ประโยชน์ด้านการค้า
ไม่ว่ากรณีใดๆทั้งสิ้น อีกทั้งห้ามมิให้คัดแปลงเนื้อหา และต้องอ้างอิงถึงเจ้าของเอกสารทุกครั้งที่มีการนำไปใช้

- Z_{sep} : สิ่งรบกวนภายนอกอย่างทันทีทันใด
- θ : ระยะการเคลื่อนที่ของโรเตอร์
- τ_e : ค่าคงที่ทางเวลาทางไฟฟ้าของดีซีมอเตอร์
- τ_m : ค่าคงที่ทางเวลาเชิงกลของดีซีมอเตอร์
- ω : ความเร็วเชิงมุม



เอกสารนี้เป็นเอกสารที่สงวนไว้สำหรับการใช้งานเพื่อการศึกษาเท่านั้น ไม่อนุญาตให้นำไปใช้ประโยชน์ด้านการค้า
ไม่ว่ากรณีใดๆทั้งสิ้น อีกทั้งห้ามมิให้คัดแปลงเนื้อหา และต้องอ้างอิงถึงเจ้าของเอกสารทุกครั้งที่มีการนำไปใช้

บทที่ 1

บทนำ

ระบบการควบคุมความเร็วของดีซีมอเตอร์แบบแม่เหล็กถาวรนิยมใช้กันทั่วไปในงานด้านอุตสาหกรรม โดยเฉพาะอย่างยิ่งในระบบแขนของหุ่นยนต์ และในระบบของเครื่องกลึงที่ควบคุมด้วยคอมพิวเตอร์ (CNC) ดีซีมอเตอร์ที่ใช้มีทั้งแบบที่สามารถปรับเส้นแรงแม่เหล็กได้และแบบเส้นแรงแม่เหล็กคงที่ ซึ่งระบบควบคุมความเร็วสำหรับดีซีมอเตอร์แบบปรับเส้นแรงแม่เหล็กได้นั้นต้องมีแหล่งควบคุมปริมาณเส้นแรงแม่เหล็กจากภายนอก ส่วนดีซีมอเตอร์แบบเส้นแรงแม่เหล็กคงที่นั้นได้แก่ ดีซีมอเตอร์แบบแม่เหล็กถาวร ไม่ต้องการเพิ่มเติมแหล่งควบคุมปริมาณเส้นแรงแม่เหล็กจากภายนอก การออกแบบระบบควบคุมความเร็วจึงสะดวกและประหยัดกว่า

ระบบควบคุมความเร็วของดีซีมอเตอร์โดยทั่วไปเป็นแบบ 2 ลูป[1,2,3,4,5,6,7] ที่ประกอบด้วยลูปควบคุมกระแสและลูปควบคุมความเร็ว โดยตัวควบคุมของลูปควบคุมกระแสและลูปควบคุมความเร็วก็จะเป็นการควบคุมแบบ PI ซึ่งค่าเวลาเข้าสู่สภาวะคงตัวจากการตอบสนองต่อคำสั่งแบบทันทีทันใดยังมีค่ามาก และเมื่อโหลดของระบบเกิดการเปลี่ยนแปลงอย่างทันทีทันใดจะทำให้เกิดโอเวอร์ชูตสูง ซึ่งการนำไปใช้งานในบางกรณียังยอมรับไม่ได้

จากแนวคิดในการเพิ่มลูปควบคุมกระแสเข้าไปในลูปควบคุมความเร็วยังช่วยลดเวลาในการตอบสนองต่อคำสั่งและลดผลกระทบจากโหลดที่เปลี่ยนแปลงตามลักษณะของการควบคุมแบบหลายลูปซ้อนกัน[1,3] ถ้าสามารถแบ่งการควบคุมเป็นลูปควบคุมย่อยลงได้อีกก็จะช่วยลดเวลาการตอบสนองต่อคำสั่งและลดผลกระทบจากโหลดที่เปลี่ยนแปลงได้ ซึ่งการเพิ่มลูปควบคุมโวลต์เดจเข้าไปภายในลูปควบคุมกระแสก็เป็นวิธีหนึ่งในการแบ่งการควบคุมออกเป็นลูปย่อย ซึ่งจะส่งผลถึงลูปควบคุมความเร็วทำให้สามารถลดเวลาในการตอบสนองต่อคำสั่งและลดผลกระทบจากการเปลี่ยนแปลงโหลดได้

วิทยานิพนธ์นี้ได้นำเสนอระบบควบคุมความเร็วดีซีมอเตอร์แบบ 3 ลูป ที่ประกอบไปด้วยลูปควบคุมความเร็ว ลูปควบคุมกระแสและลูปควบคุมโวลต์เดจ โดยออกแบบตัวควบคุมแบบ PI ที่เหมาะสมและดีที่สุดของแต่ละลูปด้วยวิธีโมดูลัสและซิมเมตริกอลอปปติมัม[1,3] การเพิ่มลูปควบคุมโวลต์เดจเข้าไปจะทำให้การตอบสนองของระบบดีขึ้นกว่าแบบ 2 ลูป โดยผลการทดลองจากระบบที่ออกแบบจริงแสดงให้เห็นว่าเวลาเข้าสู่สภาวะคงตัวในการตอบสนองต่อสเตปอินพุทของระบบดีขึ้น 28.8% และต่อสเตปโหลดดีขึ้น 31% และยังคงโอเวอร์ชูตของระบบจากการตอบสนองต่อสเตปโหลดลง 32.5%

นอกจากนี้ถ้าในลูปควบคุมความเร็วของระบบควบคุมความเร็วแบบ 3 ลูปที่นำเสนอ ใช้ตัวควบคุมแบบ PID โดยลูปควบคุมกระแสและลูปควบคุมโวลต์เดจตัวควบคุมเป็นแบบ PI ผล

การทดลองจากระบบที่ออกแบบจริงแสดงให้เห็นว่าเวลาเข้าสู่สภาวะคงตัวในการตอบสนองต่อสเตปอินพุทของระบบคือขึ้น 64.3% และต่อสเตปโพลด์คือขึ้น 65.5% และยังคงโอเวอร์ชูทของระบบจากการตอบสนองต่อสเตปโพลด์ลง 69.3% อีกด้วย

เนื้อหาในวิทยานิพนธ์นี้แบ่งออกตามบทต่างๆ โดยมีรายละเอียดดังนี้

บทที่ 2 กล่าวถึงลักษณะของดีซีมอเตอร์แบบแม่เหล็กถาวร โดยในวิทยานิพนธ์นี้จะใช้ดีซีมอเตอร์แบบนี้เป็นหลัก โดยจะกล่าวรวมถึงสมการทางคณิตศาสตร์และทรานสเฟอร์ฟังก์ชันระหว่างโวลต์เตจที่ป้อนให้กับดีซีมอเตอร์และความเร็วเชิงมุมของดีซีมอเตอร์ ในรูปของลาปลาซ-ทรานสเฟอร์ม และแสดงบล็อกไดอะแกรมที่สัมพันธ์กับทรานสเฟอร์ฟังก์ชันของดีซีมอเตอร์[8,9] เพื่อใช้ในการออกแบบระบบควบคุมความเร็วต่อไป

บทที่ 3 กล่าวถึงการออกแบบตัวควบคุมของระบบใดๆ ที่ประกอบไปด้วย ตัวนำเวลาอันดับหนึ่ง ตัวอินทิเกรเตอร์ และค่าคงที่ใดๆ ให้เหมาะสม โดยพิจารณาผลจากการตอบสนองต่อสเตปอินพุทในด้านของโอเวอร์ชูทและเวลาเข้าสู่สภาวะคงตัว โดยอาศัยวิธีโมดูลัสออฟคิมมและซิมเมตริกคอลลอปคิมมในการออกแบบตัวควบคุม ตลอดจนวิธีพิจารณาอุปควบคุมที่ออกแบบด้วยสองวิธีดังกล่าวให้เป็นเพียงตัวนำเวลาอันดับหนึ่ง เพื่อใช้ในการออกแบบระบบควบคุมแบบหลายลูปล้อนกัน และการสังเคราะห์วงจรของตัวควบคุมแบบ PI และ PID และวงจรมูทติ้ง โดยใช้วงจรรวมออปแอม[3,10,11]

บทที่ 4 กล่าวถึงการนำวิธีการออกแบบในบทที่ 3 มาใช้กับระบบควบคุมความเร็วดีซีมอเตอร์ ที่ทราบค่าพารามิเตอร์ต่างๆ ที่จำเป็นในการออกแบบระบบควบคุมความเร็วดีซีมอเตอร์ โดยออกแบบระบบควบคุมความเร็วเป็น 3 ระบบเพื่อเปรียบเทียบกัน ได้แก่

1. แบบ 2 ลูปที่มีลูปลควบคุมกระแสอยู่ภายในลูปลควบคุมความเร็ว โดยใช้ตัวควบคุมแบบ PI ทั้งหมด
2. แบบ 3 ลูปที่มีลูปลควบคุมโวลต์เตจอยู่ภายในลูปลควบคุมกระแส โดยลูปลควบคุมกระแสอยู่ภายในลูปลควบคุมความเร็ว โดยใช้ตัวควบคุมแบบ PI ทั้งหมด
3. แบบ 3 ลูปที่มีลูปลควบคุมโวลต์เตจอยู่ภายในลูปลควบคุมกระแส โดยลูปลควบคุมกระแสอยู่ภายในลูปลควบคุมความเร็ว โดยใช้ตัวควบคุมแบบ PI ทั้งหมด ยกเว้นตัวควบคุมในลูปลควบคุมความเร็วใช้ตัวควบคุมแบบ PID

ผลการตอบสนองของระบบที่ได้จากการออกแบบตัวควบคุมของระบบทั้ง 3 สามารถแสดงได้จากการจำลองระบบด้วยโปรแกรมคอมพิวเตอร์[12,13] พิจารณาผลจากการตอบสนองของระบบจากเวลาเข้าสู่สภาวะคงตัวและโอเวอร์ชูทต่อสเตปอินพุทและสเตปโพลด์ และการออกแบบหาค่าอุปกรณ์ต่างๆ ที่ใช้ในวงจรของตัวควบคุมแบบ PI, PID และวงจรมูทติ้ง โดยใช้หลักการจากบทที่ 3

บทที่ 5 แสดงผลการทดลองจากระบบที่ออกแบบจริงด้วยรูปถ่ายจากดิจิทัลออสโคป

ที่แสดงให้เห็นค่าเวลาเข้าสู่สภาวะคงตัวและโอเวอร์ชูทของระบบต่อสเตปอินพุทและสเตปโหลดของระบบทั้ง 3 ระบบที่ได้จากการออกแบบในบทที่ 4

บทที่ 6 สรุปผลการทดลองและข้อเสนอแนะระบบที่ออกแบบจริง โดยนำผลที่ได้จากการทดลองเปรียบเทียบกันระหว่างระบบควบคุมความเร็วแบบ 2 ลูปและระบบควบคุมความเร็วแบบ 3 ลูปกับผลจากการจำลองระบบด้วยโปรแกรมคอมพิวเตอร์ ในด้านของโอเวอร์ชูทและเวลาเข้าสู่สภาวะคงตัวของระบบต่อสเตปอินพุทและสเตปโหลด



เอกสารนี้เป็นเอกสารที่สงวนไว้สำหรับการใช้งานเพื่อการศึกษาเท่านั้น ไม่อนุญาตให้นำไปใช้ประโยชน์ด้านการค้าไม่ว่ากรณีใดๆทั้งสิ้น อีกทั้งห้ามมิให้คัดแปลงเนื้อหา และต้องอ้างอิงถึงเจ้าของเอกสารทุกครั้งที่มีการนำไปใช้

บทที่ 2

ดีซีมอเตอร์แบบแม่เหล็กถาวร

ดีซีมอเตอร์เป็นอุปกรณ์ไฟฟ้ากระแสตรงที่ทำหน้าที่เปลี่ยนแปลงพลังงานทางไฟฟ้าไปเป็นพลังงานเชิงกล อุปกรณ์ที่ใช้งานต่างๆ ที่เกี่ยวข้องกับดีซีมอเตอร์นั้น ใช้งานได้ง่ายและสะดวกมีราคาถูกกว่ามอเตอร์ชนิดอื่นๆ [2]

2.1 หลักการทำงานพื้นฐานของดีซีมอเตอร์

ดีซีมอเตอร์มีหลักการทำงานคือ การจ่ายกระแสไฟฟ้าให้ไหลในตัวนำที่อยู่ในสนามแม่เหล็ก โดยตัวนำจะขดกันเป็นวงซ้อนกันหลายวงเพื่อให้ได้แรงที่มากกว่ากับตัวนำมากขึ้น โดยสนามแม่เหล็กนั้นกำเนิดจากแม่เหล็กไฟฟ้าหรือแท่งแม่เหล็กถาวรซึ่งมักติดกับส่วนที่คงที่ของมอเตอร์ที่เรียกว่าสเตเตอร์ (Stator)

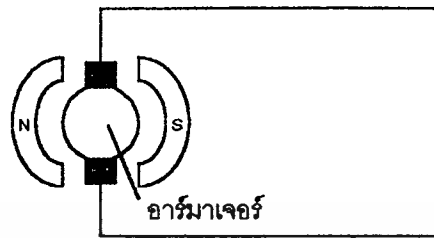
ขดตัวนำที่ใช้ อาจจะมีได้หลายขด โดยใช้คอมมิวเตเตอร์และแปรงถ่านในการจัดทิศทางของกระแสที่ไหลผ่านแต่ละขดตัวนำ เพื่อให้เกิดแรงกระทำกับขดตัวนำในทิศทางที่ทำให้เกิดการหมุนได้อย่างต่อเนื่อง โดยขดตัวนำเรียกว่าอาร์มาเจอร์ (Armature) เมื่อให้แรงดันไฟฟ้าตกคร่อมดีซีมอเตอร์ จะมีกระแสไหลผ่านทางบริชหรือแปรงถ่าน คอมมิวเตเตอร์ และอาร์มาเจอร์ ทำให้เกิดสนามแม่เหล็กคู่และผลัดกับสนามแม่เหล็กที่มาจากสเตเตอร์ ทำให้คอมมิวเตเตอร์และอาร์มาเจอร์หมุน[2]

2.2 ชนิดของดีซีมอเตอร์

ดีซีมอเตอร์ยังแบ่งตามขนาดของกำลังออกได้เป็นสองประเภทได้แก่ ประเภทที่มีกำลังตั้งแต่หนึ่งแรงม้าขึ้นไปและประเภทที่มีกำลังต่ำกว่าหนึ่งแรงม้า ประเภทที่มีกำลังต่ำกว่าหนึ่งแรงม้ายังแบ่งออกได้อีกหลายชนิด ตามรูปแบบของการให้กำเนิดสนามแม่เหล็กของสเตเตอร์ ได้แก่

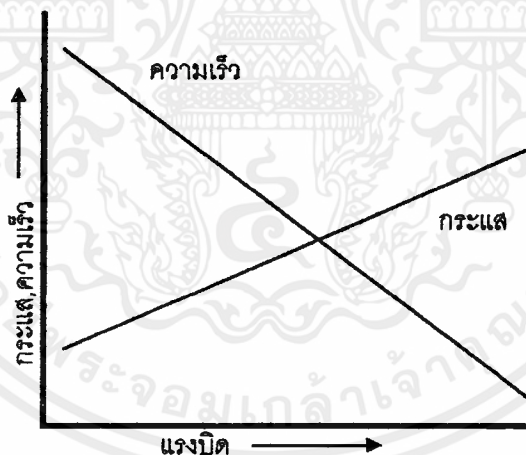
1. ชนิดที่ใช้ขดตัวนำต่ออนุกรมกันกับอาร์มาเจอร์ของดีซีมอเตอร์ (Straight - series motors) เพื่อให้กำเนิดสนามแม่เหล็กของสเตเตอร์
2. ชนิดที่ใช้ขดตัวนำสองขดต่ออนุกรมกันกับอาร์มาเจอร์ของดีซีมอเตอร์ (Split - series motors) โดยขดตัวนำทั้งสองต่อขนานและกลับด้านกัน
3. ชนิดที่ใช้ขดตัวนำต่อขนานกันกับอาร์มาเจอร์ของดีซีมอเตอร์ (Shunt motors)
4. ชนิดที่ใช้ขดตัวนำต่ออนุกรมกับอาร์มาเจอร์ และอีกขดหนึ่งต่อขนานกับอาร์มาเจอร์ของดีซีมอเตอร์ (Compound motors)

5. ชนิดที่ใช้แม่เหล็กถาวรเป็นแหล่งกำเนิดสนามแม่เหล็ก ซึ่งจะให้ค่าของสนามแม่เหล็กคงที่ โดยแสดงลักษณะของดีซีมอเตอร์ชนิดแม่เหล็กถาวรดังภาพที่ 2.1



ภาพที่ 2.1 แสดงลักษณะของดีซีมอเตอร์แบบแม่เหล็กถาวร

ดีซีมอเตอร์ชนิดต่างๆ ดังกล่าวมีความสัมพันธ์ที่ผกผันกันระหว่างความเร็วและกระแสที่ไหลผ่านอาร์มาเจอร์ ซึ่งดีซีมอเตอร์แบบแม่เหล็กถาวรมีความสัมพันธ์ดังกล่าวเป็นเชิงเส้นมากกว่าดีซีมอเตอร์ชนิดอื่นๆ โดยแสดงลักษณะความสัมพันธ์ระหว่างความเร็วกับกระแสของดีซีมอเตอร์แบบแม่เหล็กถาวรดังภาพที่ 2.2



ภาพที่ 2.2 แสดงความสัมพันธ์ระหว่างความเร็วและกระแสที่ไหลผ่านอาร์มาเจอร์

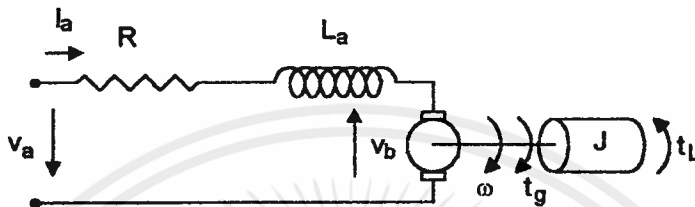
ในวิทยานิพนธ์นี้ใช้ดีซีมอเตอร์แบบแม่เหล็กถาวรเป็นหลักเนื่องจากมีความสัมพันธ์ระหว่างกระแสและความเร็วเป็นเชิงเส้นมากกว่าแบบอื่นๆ และไม่ต้องใช้กระแสจากแหล่งอื่นเพื่อให้กำเนิดสนามแม่เหล็กของสเตเตอร์ และมีน้ำหนักเบา

เอกสารนี้เป็นเอกสารที่สงวนลิขสิทธิ์ของมหาวิทยาลัยเทคโนโลยีพระจอมเกล้าเจ้าคุณทหารลาดกระบัง ไม่อนุญาตให้นำไปใช้ประโยชน์ด้านการค้า ไม่ว่าจะกรณีใดๆ ทั้งสิ้น อีกทั้งห้ามมิให้คัดแปลงเนื้อหา และต้องอ้างอิงถึงเจ้าของเอกสารทุกครั้งที่มีการนำไปใช้

2.3 สมการทางคณิตศาสตร์และทรานสเฟอ์ฟังก์ชันของดีซีมอเตอร์

สมการทางคณิตศาสตร์ของดีซีมอเตอร์แบ่งออกเป็นสมการทางไฟฟ้าและเชิงกล

สมการทางไฟฟ้า พิจารณาดีซีมอเตอร์จากวงจรสมมูลซึ่งประกอบไปด้วยค่าความต้านทาน R และตัวเหนี่ยวนำทางไฟฟ้า L_a เมื่อมอเตอร์หมุนจะเกิดค่าแรงดันไฟฟ้าย้อนกลับ v_b ออกมา ซึ่งแสดงดังภาพที่ 2.3



ภาพที่ 2.3 แสดงวงจรทางไฟฟ้าของดีซีมอเตอร์

ถ้าให้โวลต์เตจตกคร่อมดีซีมอเตอร์ v_a จะมีกระแสไหลเท่ากับ i_a โดยมีความสัมพันธ์ดังสมการที่ (2-1)

$$v_a = L_a \frac{di_a}{dt} + R i_a + v_b \quad (2-1)$$

v_b เป็นแรงดันไฟฟ้าย้อนกลับที่เกิดจากการหมุนของดีซีมอเตอร์ โดยมีความสัมพันธ์กับความเร็วเชิงมุม ω ของดีซีมอเตอร์ดังนี้

$$v_b = K_E \omega \quad (2-2)$$

โดยที่ K_E เป็นค่าคงที่แรงดันย้อนกลับหรืออีเอ็มเอฟโวลต์เตจสำหรับดีซีมอเตอร์ ดังนั้นจะได้สมการทางไฟฟ้าของดีซีมอเตอร์ดังนี้

$$v_a = L_a \frac{di_a}{dt} + R i_a + K_E \omega \quad (2-3)$$

สมการเชิงกล พิจารณาดีซีมอเตอร์ในทางเชิงกล ขณะหมุนเมื่อไม่มีโหลดจะประกอบไปด้วยแรงต้านต่างๆ ได้แก่ จากโมเมนต์ของแรงเฉื่อยในดีซีมอเตอร์ J_m แรงบิดต้านจากความฝืด t_f และแรงบิดต้านที่แปรผันตามความเร็วเชิงมุม ω ดังนั้นจะได้แรงบิดที่ต้านการหมุนของดีซีมอเตอร์

t_m ขณะไม่มีโหลด ดังนี้

$$t_m = t_f + D \omega \quad (2-5)$$

เมื่อ D เป็นค่าสัมประสิทธิ์ความฝืดวิสกอร์ส

เนื่องจากดีซีมอเตอร์แบบแม่เหล็กถาวรมีค่าสนามแม่เหล็กของสเตเตอร์คงที่ แรงบิด t_g จึงมีความสัมพันธ์กับกระแสที่ไหลผ่านอาร์มาเจอร์ i_a ดังนี้

$$t_g = K_T i_a \quad (2-4)$$

โดยที่ K_T เป็นค่าคงที่แรงบิดสำหรับดีซีมอเตอร์

ถ้าดีซีมอเตอร์มีโหลด (t_L) ต่ออยู่ด้วย โดยให้โมเมนต์ของแรงเฉื่อยจากโหลดเป็น J_L และแรงบิดต้านจากโหลดเป็น t_L ดังนั้นจะได้สมการของแรงบิด t_g คือ

$$t_g = (J_m + J_L) \frac{d\omega}{dt} + D\omega + t_f + t_L \quad (2-6)$$

ให้โมเมนต์ของแรงเฉื่อยทั้งหมดได้แก่ J_m และ J_L เท่ากับ J และผลจากความฝืด t_f ที่น้อยมาก และอาศัยสมการ (2-3) , (2-4) และ (2-6) ให้รูปแบบของลาปลาซทรานสฟอร์มและจัดรูปแบบใหม่จะได้สมการ (2-7) , (2-8) และ (2-9) ตามลำดับ

$$V_a(s) = (sL_a + R)I_a(s) + K_E \omega(s)$$

จัดรูปแบบใหม่ได้ $V_a(s) - K_E \omega(s) = (sL_a + R)I_a(s) \quad (2-7)$

$$T_g(s) = K_T I_a(s) \quad (2-8)$$

$$T_g(s) = (Js + D)\omega(s) + T_L(s)$$

เอกสารนี้เป็นเอกสารที่จัดทำไว้สำหรับการใช้ภายในเท่านั้น ไม่อนุญาตให้นำไปใช้ประโยชน์ด้านการค้า
ไม่ว่ากรณีใดๆทั้งสิ้น อีกทั้งห้ามมิให้คัดแปลงเนื้อหา และต้องอ้างอิงถึงเจ้าของเอกสารทุกครั้งที่มีการนำไปใช้

จัดรูปแบบใหม่ได้ $T_g(s) - T_L(s) = (Js + D)\omega(s) \quad (2-9)$

จากสมการ (2-7) จะได้ $I_a(s)$ ดังนี้

$$I_a(s) = \frac{V_a(s) - K_E \omega(s)}{(sL_a + R)} \quad (2-10)$$

แทนค่าสมการ (2-10) ลงในสมการ (2-8) จะได้ $T_g(s)$ ดังนี้

$$T_g(s) = K_T \frac{V_a(s) - K_E \omega(s)}{(sL_a + R)} \quad (2-11)$$

แทนค่าสมการ (2-11) ลงในสมการ (2-9) จะได้ดังนี้

$$K_T \frac{V_a(s) - K_E \omega(s)}{(sL_a + R)} - T_L(s) = (Js + D)\omega(s) \quad (2-12)$$

จัดรูปแบบสมการ (2-12) จะได้สมการของระบบที่มีสองอินพุตได้แก่ $V(s)$ และ $T_L(s)$ และเอาที่พหุเป็นความเร็วเชิงมุม $\omega(s)$ ดังนี้

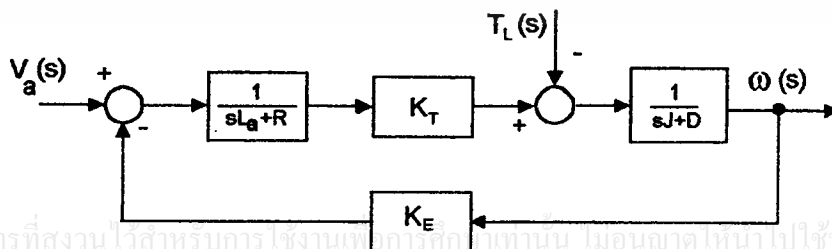
$$\omega(s) = \frac{K_T}{(sL_a + R)(sJ + D) + K_E K_T} V(s) - \frac{(sL_a + R)}{(sL_a + R)(sJ + D) + K_E K_T} T_L(s) \quad (2-13)$$

ดังนั้นจะได้ทรานสเฟอ์ฟังก์ชันระหว่างโวลต์เตจที่คกคร่อมคิซีมอเตอรืกับความเร็วเชิงมุม เมื่อให้ $T_L=0$ ในกรณีที่ไม่มีโหลด ดังนี้

$$G_m(s) = \frac{\omega(s)}{V(s)} = \frac{K_T}{(sL_a + R)(sJ + D) + K_E K_T} \quad (2-14)$$

โดยอาศัยสมการ (2-7) , (2-8) และ (2-9) สามารถแสดงเป็นบล็อกไดอะแกรมได้ดังภาพที่

2.4 [8]



เอกสารนี้เป็นเอกสารที่สงวนไว้สำหรับการใช้งานเท่านั้น ไม่อนุญาตให้นำไปใช้ประโยชน์ด้านการค้า
ไม่ว่ากรณีใดๆทั้งสิ้น อีกทั้งห้ามมิให้คัดแปลงเนื้อหา และต้องอ้างอิงถึงเจ้าของเอกสารทุกครั้งที่มีการนำไปใช้
ภาพที่ 2.4 แสดงบล็อก ไดอะแกรมของคิซีมอเตอรื

จากภาพที่ 2.4 คีชีมอเตอร์ประกอบไปด้วยส่วนทางไฟฟ้าที่แสดงได้โดยอาศัยสมการ (2-7) ซึ่งมีทรานสเฟอร์ฟังก์ชันระหว่างกระแสและ โวลต์เตจที่ตกคร่อมคีชีมอเตอร์ดังนี้

$$\frac{I_a(s)}{V_a(s) - K_E \omega(s)} = \frac{1}{(sL_a + R)} = \frac{1/R}{(sL_a/R + 1)} \quad (2-15)$$

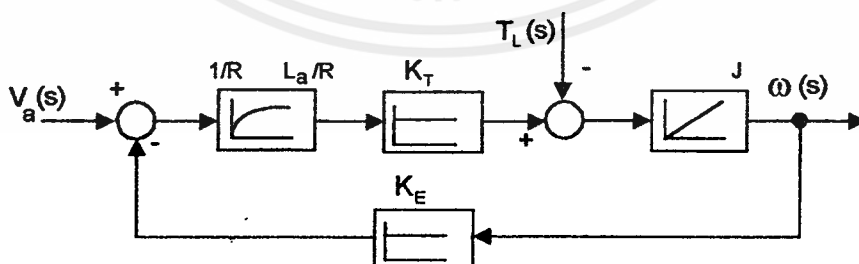
ทรานสเฟอร์ฟังก์ชันระหว่างกระแสและ โวลต์เตจที่ตกคร่อมคีชีมอเตอร์มีลักษณะเป็นตัวหน่วงเวลาอันดับหนึ่งที่มีค่าคงที่ทางเวลา L_a/R และมีค่าอัตราขยายสัญญาณ $1/R$

ส่วนเชิงกลของคีชีมอเตอร์แสดงได้โดยอาศัยสมการ (2-9) ซึ่งมีทรานสเฟอร์ฟังก์ชันระหว่างความเร็วเชิงมุมและแรงบิดดังนี้

$$\frac{\omega(s)}{T_g(s) - T_L(s)} = \frac{1}{(Js + D)} = \frac{1}{Js}, \quad D \approx 0 \quad (2-16)$$

ซึ่งมีทรานสเฟอร์ฟังก์ชันระหว่างความเร็วเชิงมุมและแรงบิดมีลักษณะเป็นตัวอินทิเกรเตอร์ที่มีค่าคงที่ในการอินทิเกรตสัญญาณ J เมื่อค่า D มีค่าน้อยมากๆ

ส่วนความสัมพันธ์ระหว่างแรงบิดกับกระแส และความเร็วรอบกับ โวลต์เตจย้อนกลับมีลักษณะเป็นสัดส่วนคงที่ ซึ่งมีลักษณะเป็นค่าอัตราขยายสัญญาณ K_T และ K_E ตามลำดับ ดังนั้นสามารถแสดงบล็อกไดอะแกรมใหม่จากภาพที่ 2.4 ได้โดยแสดงลักษณะรูปของการตอบสนองต่อสเตปอินพุทในเชิงเวลาของแต่ละส่วนแทนสมการของทรานสเฟอร์ฟังก์ชัน เพื่อง่ายแก่การเข้าใจลักษณะการตอบสนองต่อสเตปอินพุทของแต่ละส่วน โดยระบุค่าอัตราขยายสัญญาณและค่าคงที่ทางเวลาไว้ด้านบนของแต่ละส่วน โดยแสดงดังภาพที่ 2.5



เอกสารนี้เป็นเอกสารที่สงวนไว้สำหรับการใช้งานเพื่อการศึกษาเท่านั้น ไม่อนุญาตให้นำไปใช้ประโยชน์ด้านการค้า
ไม่ว่ากรณีใดๆ หากมีข้อผิดพลาดประการใดขออภัยเป็นอย่างสูง
ภาพที่ 2.5 แสดงบล็อกไดอะแกรมของคีชีมอเตอร์ในรูปของตัวหน่วงเวลาอันดับหนึ่งและอินทิเกรเตอร์

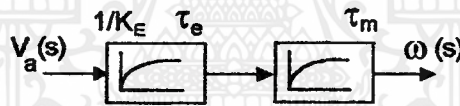
สำหรับดีซีมอเตอร์ที่มีค่า D น้อยมากจนสามารถประมาณเป็นศูนย์สามารถประมาณทรานสเฟอ์ฟังก์ชันของดีซีมอเตอร์จากสมการ (2-14) ได้ดังสมการ (2-17)

$$G_m(s) = \frac{K_T}{s^2 L_a J + s R J + K_E K_T} = \frac{1/K_E}{s^2 \frac{L_a J}{K_E K_T} + s \frac{R J}{K_E K_T} + 1} \quad (2-17)$$

ถ้าจัดรูปแบบของทรานสเฟอ์ฟังก์ชันให้อยู่ในรูปที่แสดงค่าคงที่ทางเวลาทางไฟฟ้า τ_e และค่าคงที่ทางเวลาเชิงกล τ_m ดังนี้

$$G_m(s) = \frac{1/K_E}{(s\tau_m + 1)(s\tau_e + 1)} = \frac{1/K_E}{s^2 \tau_m \tau_e + s(\tau_e + \tau_m) + 1} \quad (2-18)$$

จากสมการ (2-18) เป็นลักษณะของคัตออฟเวลาคงที่ที่มีค่าอัตราขยายสัญญาณโดยรวมเท่ากับ $1/K_E$ โดยคัตออฟเวลาคงที่นี้เกิดจากคัตออฟเวลาคงที่หนึ่งสองตัวที่มีค่าคงที่ทางเวลา τ_e และ τ_m ต่ออนุกรมกันสามารถแสดงบล็อกไดอะแกรมได้ดังภาพที่ 2.6



ภาพที่ 2.6 แสดงบล็อกไดอะแกรมของดีซีมอเตอร์อย่างง่าย

โดยทั่วไปแล้วค่าของ τ_m มากกว่า τ_e หลายเท่า ดังนั้นสามารถประมาณได้ว่า $(\tau_e + \tau_m)$ เท่ากับ τ_m ดังนั้นจากสมการ (2-17) และ (2-18)

$$G_m(s) = \frac{1/K_E}{s^2 \tau_m \tau_e + s\tau_m + 1} = \frac{1/K_E}{s^2 \frac{L_a J}{K_E K_T} + s \frac{R J}{K_E K_T} + 1} \quad (2-19)$$

โดยที่

$$\tau_m = \frac{R J}{K_E K_T} \quad (2-20)$$

เอกสารนี้เป็นเอกสารที่สงวนไว้สำหรับการใช้งานเพื่อการศึกษาเท่านั้น ไม่อนุญาตให้นำไปใช้ประโยชน์ด้านการค้า

ไม่ว่ากรณีใดๆทั้งสิ้น อีกทั้งห้ามมิให้คัดแปลงเนื้อหา และส่งอ้างอิงถึงเจ้าของเอกสารทุกครั้งที่มีการนำไปใช้

$$\tau_e = \frac{L_a}{R} \quad (2-21)$$

จากภาพที่ 2.2 ความสัมพันธ์ระหว่างความเร็วและแรงบิดของดีซีมอเตอร์นั้น มีความสัมพันธ์ในเชิงผกผันกัน ถ้ามีแรงบิดมากขึ้นความเร็วจะลดลง จากสมการที่ (2-13) ความเร็วของดีซีมอเตอร์ขึ้นอยู่กับ โวลต์เตจที่ตกคร่อมดีซีมอเตอร์และแรงบิดจากโหลดด้วย ในสภาวะที่โวลต์เตจที่ตกคร่อมดีซีมอเตอร์คงที่ ความเร็วก็จะคงที่ด้วย แต่ถ้าแรงบิดจากโหลดสูงขึ้นความเร็วจะลดลง ดังนั้นจึงต้องเพิ่มโวลต์เตจที่ตกคร่อมดีซีมอเตอร์เพื่อให้ความเร็วเพิ่มขึ้นจนเท่าเดิม ดังนั้นการควบคุมโวลต์เตจที่ตกคร่อมดีซีมอเตอร์จึงเป็นการควบคุมความเร็วด้วย ซึ่งเป็นลักษณะพื้นฐานของการควบคุมความเร็วดีซีมอเตอร์โดยการตรวจจับสัญญาณความเร็วจากอุปกรณ์ที่เหมาะสม

2.4 ทาโคเจนเนอร์เรเตอร์

ทาโคเจนเนอร์เรเตอร์เป็นอุปกรณ์ที่เปลี่ยนแปลงพลังงานเชิงกลไปเป็นพลังงานทางไฟฟ้า โดยให้โวลต์เตจเป็นสัดส่วนกับความเร็วเชิงมุม ใช้ในการตรวจสอบความเร็วของมอเตอร์เพื่อควบคุมความเร็วให้เป็นไปตามต้องการ ซึ่งช่วยให้ระบบควบคุมความเร็วมีความแน่นอนและมีเสถียรภาพดียิ่งขึ้น[6]

ในระบบควบคุมความเร็วดีซีมอเตอร์จะใช้ทาโคเจนเนอร์เรเตอร์แบบดีซีด้วย ซึ่งทาโคเจนเนอร์เรเตอร์ดังกล่าวมีการทำงานในลักษณะตรงกันข้ามกับดีซีมอเตอร์ ซึ่งคล้ายกับดีซีเจนเนอเรเตอร์แต่ระดับสัญญาณที่ได้มีขนาดต่างกัน โดยดีซีทาโคเจนเนอร์เรเตอร์จะให้ระดับสัญญาณที่เป็นสัดส่วนกับความเร็วของเพลานในระดัที่นำไปตรวจสอบได้ง่าย ซึ่งกำลังงานที่ได้ต่ำกว่าดีซีเจนเนอเรเตอร์จึงเหมาะกับการใช้งานที่อยู่ในสภาวะที่มีสัญญาณรบกวนต่ำและระยะทางไม่ไกลมาก

สัญญาณที่ได้จากทาโคเจนเนอร์เรเตอร์จะมีความสัมพันธ์กับความเร็วเชิงมุมตามสมการดังนี้

$$v_g = K_{Tg} \frac{d\theta}{dt} = K_{Tg} \omega \quad (2-22)$$

โดยที่ v_g = ระดับสัญญาณที่ได้ (V)

θ = ระยะการเคลื่อนที่ของโรเตอร์ (rad)

ω = ความเร็วเชิงมุม (rad/s)

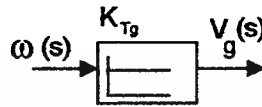
K_{Tg} = ค่าคงที่ของระดับสัญญาณต่อความเร็วรอบหรือค่าอัตราขยาย

สัญญาณของทาโคเจนเนอร์เรเตอร์

เอกสารนี้เป็นเอกสารที่สงวนไว้สำหรับการใช้งานเพื่อการศึกษาเท่านั้น ไม่อนุญาตให้นำไปใช้ประโยชน์ด้านการค้า ไม่ว่าจะกรณีใดๆก็ตาม ผู้เขียนไม่รับผิดชอบต่อข้อบกพร่องและค่าจ้างจนถึงขั้นเองเอกสารฉบับนี้เป็นการนำไปใช้ ดังนั้นจะได้ทราบสเฟอ์ฟังก์ชันของทาโคเจนเนอร์เรเตอร์ในรูปแบบของลาปลาซทรานสฟอร์มดังนี้

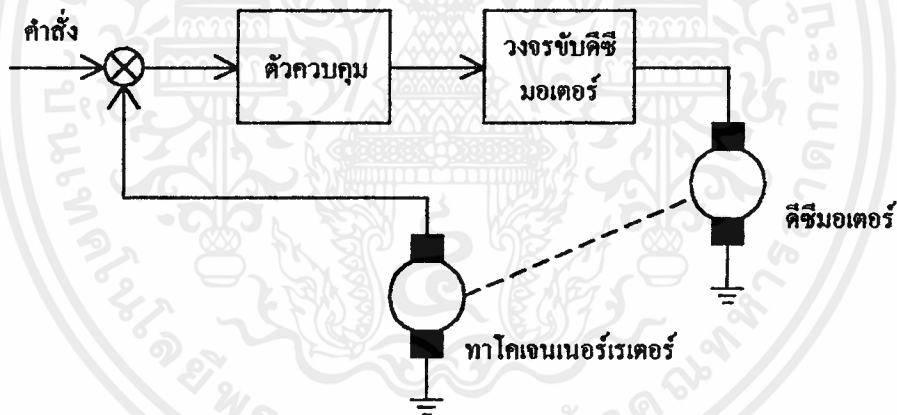
$$\frac{v_g(s)}{\omega(s)} = K_{Tg} \quad (2-23)$$

มี แสดงบล็อก โคอะแกรมของทาโคเจนเนอร์เรเตอร์ได้ในลักษณะของอัตราขยายสัญญาณดัง



ภาพที่ 2.7 แสดงบล็อก โคอะแกรมของทาโคเจนเนอร์เรเตอร์

ลักษณะการใช้งานทาโคเจนเนอร์เรเตอร์ในการควบคุมความเร็วคิซีมอเตอร์แสดงได้ดัง
ภาพที่ 2.8



ภาพที่ 2.8 แสดงการใช้งานทาโคเจนเนอร์เรเตอร์ในการควบคุมความเร็วคิซีมอเตอร์

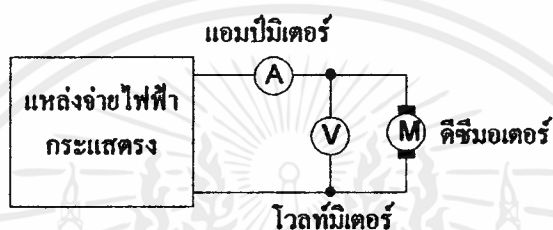
การแสดงทรานสเฟอร์ฟังก์ชันของคิซีมอเตอร์แบบแม่เหล็กถาวรในรูปขององค์ประกอบระบบควบคุมพื้นฐานได้แก่ ตัวหน่วงเวลาอันดับหนึ่ง อินทิเกรเตอร์ และค่าคงที่ในการขยายสัญญาณนั้น สามารถนำค่าคงที่ต่างๆ ขององค์ประกอบระบบดังกล่าวมาช่วยในการออกแบบระบบควบคุมความเร็ว โดยใช้ร่วมกับอุปกรณ์ตรวจวัดความเร็วรอบคิซีมอเตอร์ได้แก่ ทาโคเจนเนอร์เรเตอร์ เพื่อให้ได้ตัวควบคุมที่เหมาะสมกับระบบต่อไป

เอกสารนี้เป็นเอกสารที่สงวนไว้สำหรับใช้อ้างอิงเท่านั้น ไม่อนุญาตให้นำไปใช้ประโยชน์ด้านการค้า ไม่ว่าจะกรณีใดๆ ทั้งสิ้น อีกทั้งห้ามมิให้คัดแปลงเนื้อหา และต้องอ้างอิงถึงเจ้าของเอกสารทุกครั้งที่มีการนำไปใช้

2.5 การวัดค่าพารามิเตอร์ที่สำคัญของดีซีมอเตอร์

2.5.1 ค่าความต้านทาน (R)

เป็นการวัดค่าความต้านทานที่เกิดจากคอมมิวเตเตอร์ แปรงถ่าน และจากอาร์มาเจอร์ โดยใช้แหล่งจ่ายไฟฟ้ากระแสตรงป้อนให้กับดีซีมอเตอร์หมุนด้วยความเร็วคงที่ จากสมการ (2-3) ถ้าอยู่ในสถานะที่กระแสที่ไม่มีกระแสเปลี่ยนแปลง ทำให้ไม่มีผลจากความเหนี่ยวนำของอาร์มาเจอร์ และวัดค่าโวลต์เตจที่ตกคร่อมดีซีมอเตอร์ (v_a) และกระแสที่ไหล (i_a) ดังภาพที่ 2.9 ซึ่งค่าความต้านทานที่ได้มีค่าเท่ากับ v_a/i_a

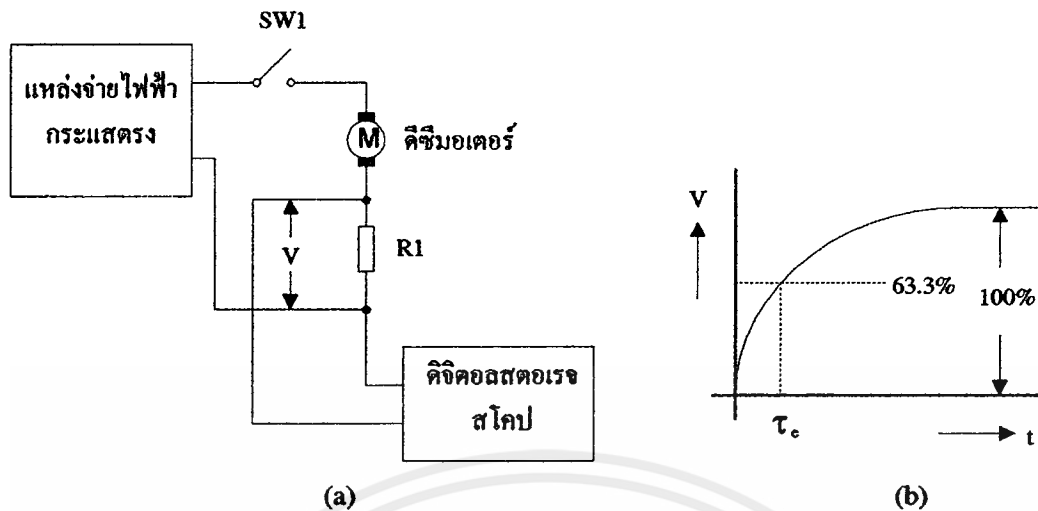


ภาพที่ 2.9 แสดงการวัดค่าความต้านทานของดีซีมอเตอร์

2.5.2 ค่าความเหนี่ยวนำ (L_a)

การวัดค่าความเหนี่ยวนำของอาร์มาเจอร์ สามารถพิจารณาได้จากสมการ (2-15) ถ้ายึดแกนของดีซีมอเตอร์เอาไว้ไม่ให้หมุน จะไม่มีผลจากโวลต์เตจย้อนกลับ ($K_c\omega(s)$) ดังนั้นจะได้ทรานสเฟอร์ฟังก์ชันระหว่างกระแสที่ไหลในอาร์มาเจอร์และโวลต์เตจที่จ่ายให้กับดีซีมอเตอร์ ในลักษณะของตัวหน่วงเวลาอันดับหนึ่ง

การพิจารณาลักษณะของการตอบสนองของกระแสต่อโวลต์เตจที่เป็นสเตปอินพุทจากดิจิทัลสตอปเรจสโกลป์ โดยอาศัยความต้านทาน R_a ที่มีค่าความต้านทานน้อยกว่าความต้านทานของดีซีมอเตอร์มากๆ เพื่อให้มีผลกับค่าคงที่ทางเวลาทางไฟฟ้าที่ต้องการวัดให้น้อยที่สุด แสดงลักษณะการวัดดังภาพที่ 2.10 (a)

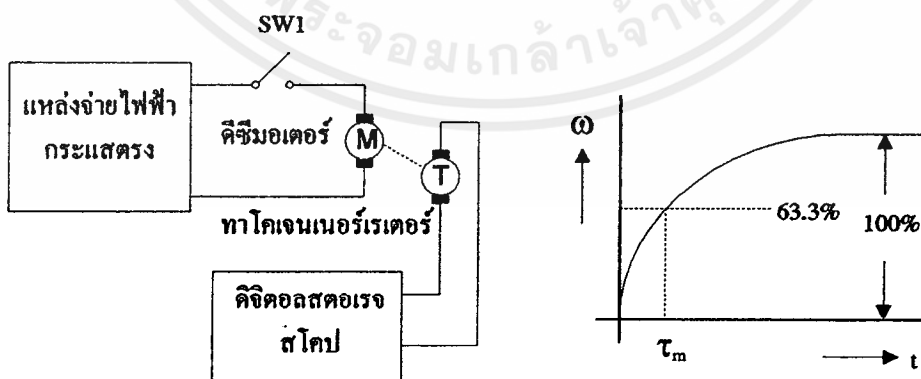


ภาพที่ 2.10 แสดงการวัดค่าคงที่ทางเวลาทางไฟฟ้าของดีซีมอเตอร์

ค่าคงที่ทางเวลาได้จากเวลาที่ใช้ไปเมื่อเพิ่มขึ้นถึงระดับ 63.3% ของระดับคงที่ (100%) ดังภาพที่ 2.10 (b) โดยอาศัยสมการ (2-21) จะได้ค่าความเหนี่ยวนำเท่ากับ $\tau_c R$

2.5.3 ค่าโมเมนต์ของแรงเฉื่อย (J)

ได้จากการวัดค่าคงที่ทางเวลาเชิงกลของดีซีมอเตอร์ โดยป้อนโวลต์เตจเป็นสเกลอินพุตให้กับดีซีมอเตอร์ที่ต่อตัวคู่ความเข้ากับทาโคเจนเนอร์เรเตอร์ และวัดค่าเวลาที่ใช้ไปเมื่อความเร็วถึงระดับ 63.3% ของความเร็วคงที่ (100%) และอาศัยสมการ (2-20) จะได้ค่าโมเมนต์ของแรงเฉื่อยเท่ากับ $\tau_m K_t K_v / R$ แสดงวิธีการวัดและลักษณะการตอบสนองของความเร็วต่อสเกลอินพุตดังภาพที่ 2.11 (a) และ (b) ตามลำดับ

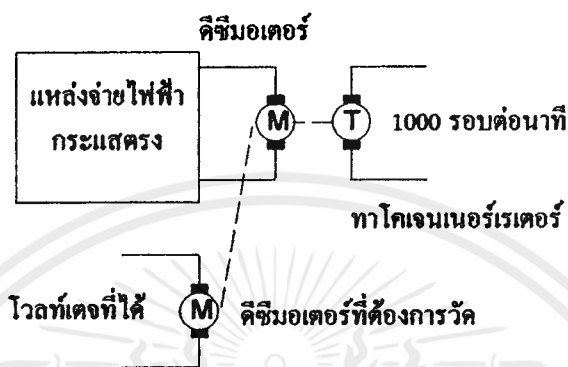


เอกสารนี้เป็นเอกสารที่สงวนไว้สำหรับ (a) ใ้ใช้งานเพื่อการศึกษาเท่านั้น ไม่อนุญาต (b) ให้นำไปใช้ประโยชน์ด้านการค้า ไม่ว่าจะกรณีใดๆทั้งสิ้น อีกทั้งห้ามมิให้คัดแปลงเนื้อหา และต้องอ้างอิงถึงเจ้าของเอกสารทุกครั้งที่มีการนำไปใช้

ภาพที่ 2.11 แสดงการวัดค่าคงที่ทางเวลาเชิงกลของดีซีมอเตอร์

2.5.4 ค่าคงที่แรงดันย้อนกลับของคิซิมอเตอร์ (K_E)

เป็นค่าโวลต์เตจที่วัดได้จากคิซิมอเตอร์เมื่อหมุนอยู่ที่ความเร็ว 1000 รอบต่อนาที ซึ่งจะได้ค่าคงที่แรงดันย้อนกลับในหน่วย โวลต์ต่อพันรอบต่อนาที โดยคิซิมอเตอร์ที่ต้องการวัดหมุนโดยอาศัยแรงจากคิซิมอเตอร์อีกตัวหนึ่งที่ต่อตัวคู่ควบเข้าด้วยกัน ดังภาพที่ 2.12

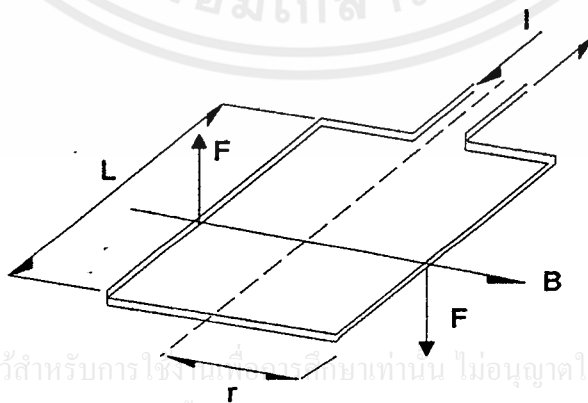


ภาพที่ 2.12 แสดงการวัดค่าคงที่แรงดันย้อนกลับของคิซิมอเตอร์

ถ้าให้กระแส I แอมป์ ไหลผ่านตัวนำความยาว L เมตร ในสนามแม่เหล็กที่มีความหนาแน่น B เทสลา จะเกิดแรงกระทำกับตัวนำ F นิวตัน ดังต่อไปนี้

$$F = BLI \quad (2-24)$$

ถ้าตัวนำดังกล่าวขดเป็นวง โดยส่วนที่อยู่ในสนามแม่เหล็ก L เมตร ดังภาพที่ 2.13



เอกสารนี้เป็นเอกสารที่สงวนไว้สำหรับการใช้งานที่อาจารย์ท่านนั้น ไม่อนุญาตให้นำไปใช้ประโยชน์ด้านการค้า ไม่ว่ากรณีใดๆทั้งสิ้น อีกทั้งห้ามมิให้คัดแปลงเนื้อหา และต้องอ้างอิงถึงเจ้าของเอกสารทุกครั้งที่มีการนำไปใช้

ภาพที่ 2.13 แสดงตัวนำขดเป็นวงอยู่ในสนามแม่เหล็ก

จากภาพที่ 2.13 ขดตัวนำเคลื่อนที่เป็นวงกลมห่างจากจุดศูนย์กลางเป็นระยะ r เมตร จะเกิดแรง F ทั้งสองด้านของตัวนำจึงได้แรงเป็นสองเท่าของตัวนำเส้นเดียว ถ้าให้แรงบิด T รอบจุดศูนย์กลางเท่ากับ F_r ดังนั้นสามารถเปลี่ยนสมการ (2-24) ให้อยู่ในรูปของแรงบิด T ได้ดังนี้

$$T = [2BLr] I \quad (2-25)$$

จากสมการ (2-25) ส่วนที่อยู่ในวงเล็บเป็นค่าคงที่สำหรับกรณีของดีไซมอเตอร์แบบแม่เหล็กถาวร ถ้าเปรียบเทียบกับสมการ (2-4) คือค่า K_T ในหน่วยของ นิวตันเมตรต่อแอมป์ นั่นเอง

ถ้าตัวนำมีความยาว L เมตร เคลื่อนที่ตัดผ่านสนามแม่เหล็กที่มีความหนาแน่น B เทสลาด้วยความเร็ว v เมตรต่อวินาที จะเกิดโวลต์แรงจูงตัวนำ v_b โวลต์ โดยมีความสัมพันธ์ดังนี้

$$v_b = BLv \quad (2-26)$$

ถ้าตัวนำขดเป็นวงดังภาพที่ 2.13 ตัวนำเคลื่อนที่เป็นวงกลมห่างจากจุดศูนย์กลางเป็นระยะ r เมตร ดังนั้นจะเกิดโวลต์แรง v_b เป็นสองเท่าของตัวนำเส้นเดียว ถ้าความเร็ว v สัมพันธ์กับความเร็วเชิงมุม ω โดย $v=r\omega$ ดังนั้นสามารถเปลี่ยนสมการ (2-26) ให้อยู่ในรูปของความเร็วเชิงมุม ω ได้ดังนี้

$$v_b = [2BLr] \omega \quad (2-27)$$

จากสมการ (2-27) ส่วนที่อยู่ในวงเล็บเป็นค่าคงที่สำหรับกรณีของดีไซมอเตอร์แบบแม่เหล็กถาวร ถ้าเปรียบเทียบกับสมการ (2-2) คือค่า K_E ในหน่วยของ โวลต์ต่อเรเดียนต่อวินาที นั่นเอง

จากสมการ (2-25) และ (2-27) จะเห็นได้ว่าค่า K_E และ K_T มีค่าเท่ากันเมื่ออยู่ในหน่วยดังกล่าว

บทที่ 3

การออกแบบระบบควบคุม

การออกแบบตัวควบคุมนั้น สามารถออกแบบได้หลายวิธี แต่ละวิธีจะมีความเหมาะสมสำหรับแต่ละระบบ โดยขึ้นอยู่กับคุณสมบัติและรูปแบบของระบบที่ต้องการควบคุม แต่ถ้าระบบประกอบไปด้วยตัวหน่วงเวลาอันดับหนึ่ง อินทิเกรเตอร์ และค่าคงที่ในการขยายสัญญาณ เช่น ระบบควบคุมความเร็วดีซีมอเตอร์ สามารถใช้วิธี โมดูลัสและซิมเมตริกอลอปปติมัมเพื่อการออกแบบตัวควบคุมแบบ I , PI และ PID สำหรับระบบได้ เนื่องจากสามารถออกแบบได้สะดวกและได้ผลดี[1,3,7]

ระบบควบคุมอาจจะมีเพียงลูปควบคุมเดียวหรือหลายลูปควบคุมซ้อนกันอยู่ ซึ่งขึ้นอยู่กับวัตถุประสงค์ในการออกแบบและคุณสมบัติของระบบ ระบบควบคุมความเร็วดีซีมอเตอร์เป็นตัวอย่างของระบบควบคุมที่สามารถใช้การควบคุมความเร็วเพียงลูปเดียวได้ แต่ถ้าเพิ่มการควบคุมกระแสเข้าไปภายในลูปควบคุมความเร็วซึ่งเป็นลักษณะของการควบคุมแบบสองลูป จะช่วยลดผลจากค่าคงที่ทางเวลาต่างๆ ภายในลูปควบคุมกระแส ซึ่งทำให้ลูปควบคุมความเร็วโดยรวมมีการตอบสนองต่อคำสั่งได้รวดเร็วยิ่งขึ้นและช่วยลดผลกระทบจากสิ่งรบกวนภายนอกได้[1,2,3,4,5,6,7]

จากแนวความคิดในการเพิ่มเติมลูปควบคุมย่อยเข้าไป ซึ่งจะช่วยลดผลจากค่าคงที่ทางเวลาดังกล่าว ถ้าเพิ่มเติมลูปควบคุมโวลต์เตจเข้าอยู่ภายในลูปควบคุมกระแสซึ่งเป็นลักษณะของการควบคุมแบบสามลูป ก็จะช่วยลดผลจากค่าคงที่ทางเวลาภายในของลูปควบคุมโวลต์เตจ ทำให้ผลจากค่าคงที่ทางเวลาภายในลูปควบคุมกระแสลดลง ซึ่งจะช่วยให้ลูปควบคุมความเร็วมีการตอบสนองต่อคำสั่งได้รวดเร็วยิ่งขึ้นและลดผลกระทบจากสิ่งรบกวนภายนอกได้ดียิ่งขึ้นกว่าการควบคุมแบบสองลูปดังกล่าว

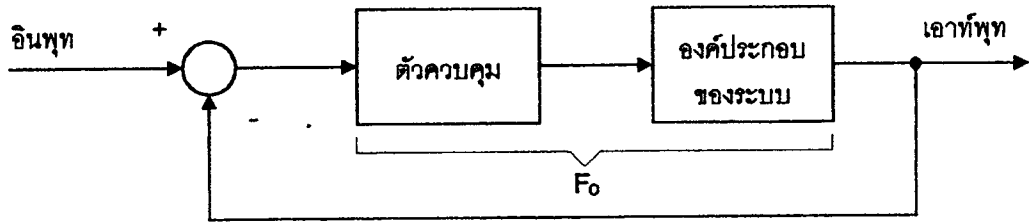
การออกแบบตัวควบคุมสำหรับระบบควบคุมแต่ละลูปนั้นสามารถใช้การออกแบบด้วยวิธี โมดูลัสออปติมัมและซิมเมตริกอลอปปติมัมได้ซึ่งจะกล่าวถึงวิธีการออกแบบตัวควบคุมทั้งสองแบบนี้ต่อไป

3.1 ระบบที่เหมาะสมโดยทั่วไป

ถ้าให้ระบบควบคุมแบบปิดในภาพที่ 3.1 แสดงได้ด้วยสมการทางคณิตศาสตร์ดังนี้

$$F_w(s) = \frac{F_o(s)}{1 + F_o(s)} \tag{3-1}$$

เอกสารนี้เป็นเอกสารที่สงวนไว้สำหรับภายในของมหาวิทยาลัยเทคโนโลยีพระจอมเกล้าลาดกระบัง ไม่อนุญาตให้นำไปใช้ประโยชน์ด้านการค้าไม่ว่ากรณีใดๆทั้งสิ้น อีกทั้งห้ามมิให้คัดแปลงเนื้อหา และต้องอ้างอิงถึงเจ้าของเอกสารทุกครั้งที่มีการนำไปใช้



ภาพที่ 3.1 แสดงระบบควบคุมแบบปิด

โดยที่

$F_o(s)$ เป็นทรานสเฟอ์ฟังก์ชันของตัวควบคุม (Controller) และองค์ประกอบของระบบ

$F_w(s)$ เป็นทรานสเฟอ์ฟังก์ชันของระบบควบคุมแบบปิดหรือระบบป้อนกลับ

ระบบจะสามารถตอบสนองต่อคำสั่งได้รวดเร็วเพียงใดขึ้นอยู่กับตัวควบคุมที่เหมาะสม ซึ่งจะออกแบบตัวควบคุมให้เหมาะสมกับระบบได้ดีที่สุดตามคุณสมบัติของระบบนั้น โดยทำให้ระบบมีการตอบสนองต่ออินพุทให้ได้เร็วที่สุด ถ้าพิจารณาในระบบในเชิงความถี่ ตัวควบคุมต้องทำให้ขนาดของ $F_w(s)$ มีค่าเข้าใกล้ 1 ตลอดช่วงแบนด์วิดท์ของระบบ[3] เพื่อว่าเมื่อระบบได้รับคำสั่งอินพุทแบบทันทีทันใดหรือเป็นสเตป ระบบสามารถเข้าสู่จุดที่ต้องการให้ได้อย่างเร็วที่สุด

โดยทั่วไปแล้ว $F_w(s)$ จะมีลักษณะในสองรูปแบบดังนี้

$$F_w(s) = \frac{b_0}{a_0 + sa_1 + s^2a_2} \quad (3-2)$$

$$F_w(s) = \frac{b_0 + sb_1}{a_0 + sa_1 + s^2a_2 + s^3a_3} \quad (3-3)$$

จากสมการที่ (3-2) ถ้าให้ $b_0 = a_0$ โดยพิจารณาเฉพาะขนาดของ $F_w(s)$ ที่ความถี่ใดๆ เมื่อ $s=j\omega$ ดังนั้น

$$|F_w(\omega)| = \sqrt{\frac{a_0^2}{a_0^2 + \omega^2(a_1^2 - 2a_0a_2) + \omega^4a_2^2}} \quad (3-4)$$

ที่ความถี่ต่ำๆ สมการ (3-4) จะมีค่าเข้าใกล้ 1 เมื่อสัมประสิทธิ์ของ ω^2 มีค่าเป็น 0 ดังนั้นค่าของ $a_1^2 - 2a_0a_2 = 0$ จะได้สมการเบื้องต้นเพื่อใช้ในการออกแบบตัวควบคุมดังนี้

$$a_1^2 = 2a_0a_2 \quad (3-5)$$

ดังนี้

และจากสมการที่ (3-3) ให้ $b_0 = a_0$ และ $b_1 = a_1$ จะได้ลักษณะคล้ายกับสมการที่ (3-4)

$$|F_w(\omega)| = \sqrt{\frac{a_0^2 + \omega^2 a_1^2}{a_0^2 + \omega^2 (a_1^2 - 2a_0 a_2) + \omega^4 (a_2^2 - 2a_1 a_3) + \omega^6 a_3^2}} \quad (3-6)$$

จะได้สมการเบื้องต้นดังนี้

$$a_1^2 = 2a_0 a_2 \quad (3-7)$$

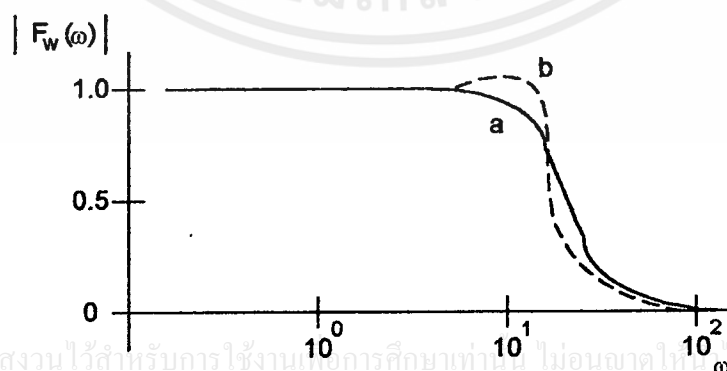
$$a_2^2 = 2a_1 a_3 \quad (3-8)$$

จากสมการ (3-4) และ (3-6) ถ้าแทนสมการเบื้องต้นที่ได้เข้าไปจะได้ดังนี้

$$|F_w(\omega)| = \sqrt{\frac{1}{1 + \omega^4 (a_2 / a_0)^2}} \quad (a)$$

$$|F_w(\omega)| = \sqrt{\frac{1 + \omega^2 (a_1 / a_0)^2}{1 + \omega^6 (a_3 / a_0)^2}} \quad (b)$$

สมการที่ได้เป็นสมการของระบบที่เหมาะสมและมีค่าเป็น 1 ที่ความถี่เป็น 0 แต่เมื่อความถี่เพิ่มขึ้นจะมีค่าใกล้ 1 ตลอดช่วงแบนด์วิดท์ แสดงลักษณะที่ได้ในเชิงความถี่ของสมการ a และ b ได้ดังภาพที่ 3.2 การแสดงรูปร่างของขนาดอัตรายายของระบบในเชิงความถี่เรียกว่าโมดูลัสของระบบ[3]



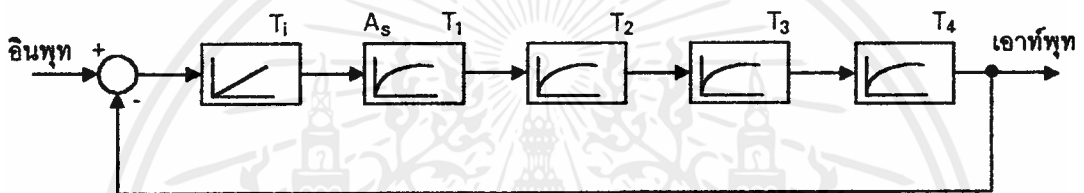
เอกสารนี้เป็นเอกสารที่สงวนไว้สำหรับการใช้งานเพื่อการศึกษเท่านั้น ไม่อนุญาตให้นำไปใช้ประโยชน์ด้านการค้า ไม่ว่าจะกรณีใดๆทั้งสิ้น อีกทั้งห้ามมิให้คัดแปลงเนื้อหา และต้องอ้างอิงถึงเจ้าของเอกสารทุกครั้งที่มีการนำไปใช้

ภาพที่ 3.2 แสดงลักษณะการตอบสนองในเชิงความถี่ของระบบที่เหมาะสม

3.2 การออกแบบตัวควบคุมโดยวิธีโมดูลัสออปติมัม

การออกแบบตัวควบคุมโดยพิจารณาจากลักษณะการตอบสนองในเชิงความถี่ เพื่อใช้ในการควบคุมให้อัตราขยายมีค่าเข้าใกล้หนึ่งให้มากที่สุดตลอดย่านความถี่ เหมือนเป็นการควบคุมรูปร่างของอัตราขยายในเชิงความถี่หรือ โมดูลัสของระบบให้เหมาะสม ซึ่งเป็นลักษณะของการออกแบบตัวควบคุมด้วยวิธีโมดูลัสออปติมัม การควบคุมอัตราขยายให้มีค่าเป็นหนึ่งคือการควบคุมให้ค่าเอาต์พุตของระบบมีค่าเท่ากับอินพุตซึ่งหมายถึงระบบสามารถทำงานได้ตามคำสั่งที่ให้ไป

ถ้าระบบที่ต้องการออกแบบประกอบไปด้วยตัวหน่วงเวลาอันดับหนึ่งหลายตัว โดยมีค่าคงที่ทางเวลาเป็น T_1, T_2, T_3 และ T_4 ตามลำดับ ถ้าค่าคงที่ทางเวลาดังกล่าวมีค่าใกล้เคียงกัน สามารถใช้ตัวควบคุมแบบ I ได้ดังภาพที่ 3.3



ภาพที่ 3.3 แสดงระบบควบคุมที่ใช้ตัวควบคุมแบบ I ที่ออกแบบโดยวิธีโมดูลัสออปติมัม

ทรานสเฟอ์ฟังก์ชันระหว่างอินพุตและเอาต์พุตของระบบเปิดในภาพที่ 3.3 เป็นดังสมการที่ (3-9)

$$F_w(s) = \frac{1}{sT_i} \cdot \frac{A_s}{1+sT_c} \quad (3-9)$$

โดยที่ A_s คือค่าอัตราขยายสัญญาณของตัวหน่วงเวลาอันดับหนึ่ง

T_i คือค่าคงที่ทางเวลาในการอินทิเกรตสัญญาณของตัวควบคุมแบบ I

T_c เป็นผลรวมของค่าคงที่ทางเวลาของตัวหน่วงเวลาอันดับหนึ่งทั้งหมด มีค่าเท่ากับ $T_1+T_2+T_3+T_4$

ดังนั้นจะได้ทรานสเฟอ์ฟังก์ชันของระบบปิดดังสมการที่ (3-10)

$$F_w(s) = \frac{A_s}{A_s + sT_i + s^2T_iT_c} \quad (3-10)$$

สมการที่ (3-10) จะอยู่ในรูปแบบของสมการที่ (3-2) โดยที่

$$a_0 = A_s, a_1 = T_i, a_2 = T_i T_c$$

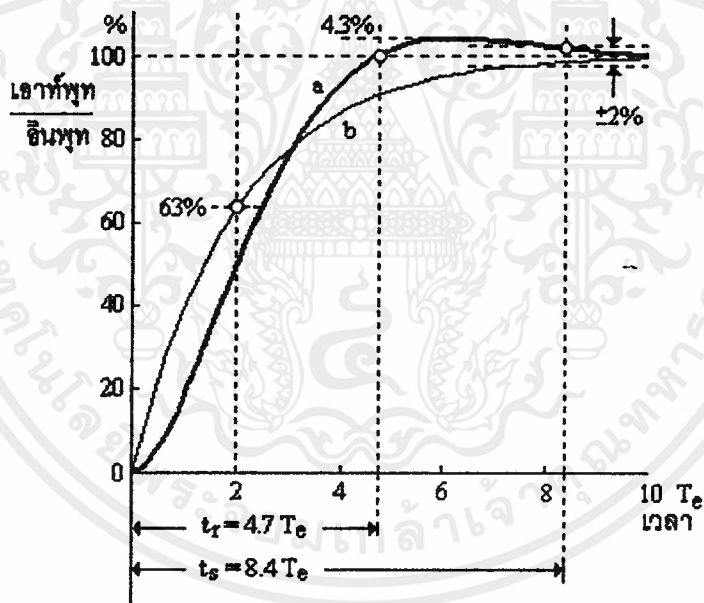
จากสมการที่ (3-5) จะได้ค่าคงที่ในการอินทิเกรตสัญญาณของตัวควบคุมแบบ I ดังนี้

$$T_i = 2A_s T_c \quad (3-11)$$

นำค่า T_i ที่ได้นี้ไปแทนลงในสมการที่ (3-10) จะได้ทรานสเฟอร์ฟังก์ชันของระบบที่เหมาะสมโดยใช้วิธีโมดูลัสออปติมัมดังนี้

$$F_w(s) = \frac{1}{1+s2T_c+s^22T_c^2} \quad (3-12)$$

การตอบสนองต่อสเตปอินพุทของสมการที่ (3-12) เป็นดังภาพที่ 3.4

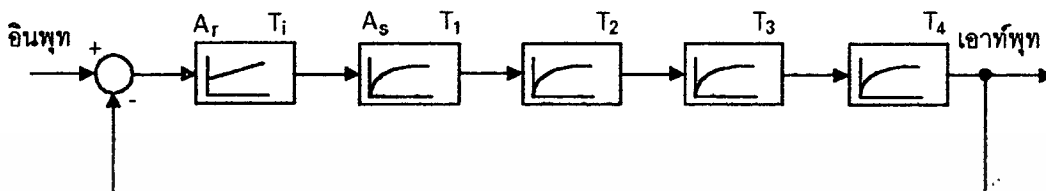


ภาพที่ 3.4 แสดงการตอบสนองต่อสเตปอินพุทของระบบที่ออกแบบตัวควบคุมโดยวิธีโมดูลัสออปติมัม

จากภาพที่ 3.4 การตอบสนองต่อสเตปอินพุทจะมีโอเวอร์ชูท 4.3% และมีเวลาเข้าสู่สภาวะคงตัวที่ $8.4T_c$ ซึ่งแสดงโดยกราฟเส้น a สามารถประมาณการตอบสนองต่อสเตปอินพุทให้เป็นตัวหน่วงเวลาอันดับหนึ่งได้ โดยพิจารณาเฉพาะสัมประสิทธิ์ของ s กำลังหนึ่งในสมการ (3-12) จะได้ทรานสเฟอร์ฟังก์ชันของตัวหน่วงเวลาอันดับหนึ่งที่มีค่าคงที่ทางเวลาเท่ากับ $2T_c$ แสดงโดยกราฟ

เส้น b

ถ้าระบบในภาพที่ 3.3 มีค่า T_1 มากกว่าผลรวมของ T_2 , T_3 และ T_4 สามารถใช้ตัวควบคุมในแบบ PI ได้ดังภาพที่ 3.5



ภาพที่ 3.5 แสดงระบบควบคุมที่ใช้ตัวควบคุมแบบ PI ที่ออกแบบโดยวิธีโมดูลัสออฟดิมัม

ทรานสเฟอ์ฟังก์ชันของระบบเปิดในภาพที่ 3.5 เป็นตามสมการที่ (3-13) ดังนี้

$$F_w(s) = \frac{A_r(1+sT_i)}{sT_i} \cdot \frac{A_s}{1+sT_1} \cdot \frac{1}{1+sT_e} \quad (3-13)$$

โดยที่ A_r คือค่าอัตราขยายสัญญาณของตัวควบคุมแบบ PI

T_i คือค่าคงที่ทางเวลาในการอินทิเกรตสัญญาณของตัวควบคุมแบบ PI

$$T_e = T_2 + T_3 + T_4$$

ตัวควบคุมแบบ PI ที่ใช้ในภาพที่ 3.5 ใช้วิธีการชดเชยด้วยหน่วงเวลาอันดับหนึ่งที่มีขนาดใหญ่ ดังนั้นเลือกใช้ค่าคงที่ในการอินทิเกรตสัญญาณ T_i มีค่าเท่ากับค่าคงที่ทางเวลาของตัวหน่วงเวลาอันดับหนึ่งคือ T_1 ดังนั้นจะได้ทรานสเฟอ์ฟังก์ชันของระบบปิดดังสมการที่ (3-14)

$$F_w(s) = \frac{A_r A_s}{A_r A_s + sT_1 + s^2 T_1 T_e} \quad (3-14)$$

สมการที่ (3-14) มีลักษณะเดียวกับสมการ (3-2) โดยที่

$$a_0 = A_r A_s, \quad a_1 = T_1, \quad a_2 = T_1 T_e$$

เอกสารนี้เป็นเอกสารที่สงวนไว้สำหรับการใช้งานเพื่อการศึกษาเท่านั้น ไม่อนุญาตให้นำไปใช้ประโยชน์ด้านการค้า

ไม่ว่ากรณีใดๆ ทั้งสิ้น อีกทั้งห้ามมิให้ดัดแปลงเนื้อหา และต้องอ้างอิงถึงเจ้าของเอกสารทุกครั้งที่มีการนำไปใช้

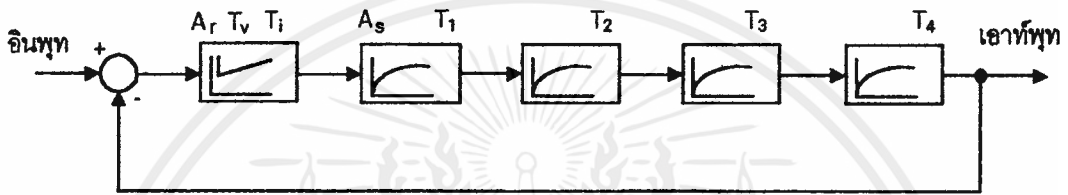
ดังนั้นจะได้ค่าพารามิเตอร์ A_r ของตัวควบคุมแบบ PI ที่ใช้สำหรับระบบควบคุมดังสมการ

ต่อไปนี้

$$A_r = \frac{T_i}{2A_s T_c} \quad (3-15)$$

ทรานสเฟอ์ฟังก์ชันที่ได้ทั้งหมดเหมือนกับสมการที่ (3-12) และมีลักษณะการตอบสนองต่อสเตปอินพุตดังภาพที่ 3.4

ถ้าระบบในภาพที่ 3.3 มีค่า T_1 มากกว่า T_2 และ T_2 มีค่ามากกว่าผลรวมของค่าคงที่ทางเวลาของตัวหน่วงเวลาอันดับหนึ่งที่เหลือคือ T_3 และ T_4 สามารถใช้ตัวควบคุมแบบ PID ได้ดังภาพที่ 3.6



ภาพที่ 3.6 แสดงระบบควบคุมที่ใช้ตัวควบคุมแบบ PID ที่ออกแบบโดยวิธีโมดูลัสออฟดิ้มัน

ทรานสเฟอ์ฟังก์ชันของระบบเปิดในภาพที่ 3.6 เป็นตามสมการที่ (3-16) ดังนี้

$$F_w(s) = \frac{A_r(1+sT_i)(1+sT_v)}{sT_i} \cdot \frac{A_s}{1+sT_1} \cdot \frac{1}{1+sT_2} \cdot \frac{1}{1+sT_c} \quad (3-16)$$

โดยที่ A_r คือค่าอัตราขยายสัญญาณของตัวควบคุมแบบ PID

T_i คือค่าคงที่ทางเวลาในการอินทิเกรตสัญญาณของตัวควบคุมแบบ PID

T_v คือค่าคงที่ทางเวลาในการดิฟเฟอเรนเชียลสัญญาณของตัวควบคุมแบบ PID

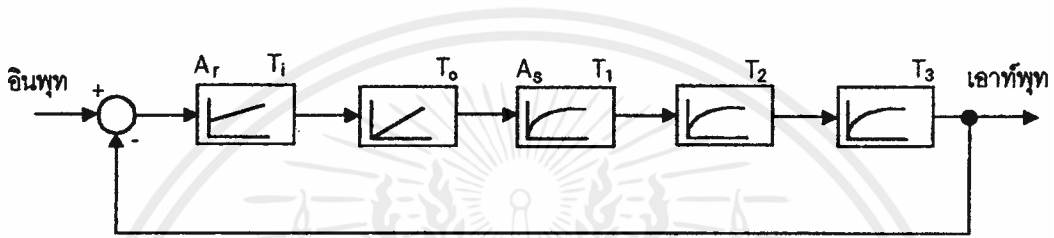
$$T_c = T_3 + T_4$$

ตัวควบคุมแบบ PID ในภาพที่ 3.6 ใช้วิธีการชดเชยตัวหน่วงเวลาอันดับหนึ่งที่มีขนาดใหญ่สองตัว โดยให้ค่าคงที่ทางเวลาในการอินทิเกรตสัญญาณ T_i มีค่าเท่ากับ T_1 และค่าคงที่ทางเวลาในการดิฟเฟอเรนเชียลสัญญาณ T_v มีค่าเท่ากับ T_2 ดังนั้นทรานสเฟอ์ฟังก์ชันของระบบในภาพที่ 3.6 เหมือนกับสมการที่ (3-14) และมีลักษณะเดียวกับสมการ (3-2) ดังนั้นค่าพารามิเตอร์ A_r ของตัวควบคุมแบบ PID ตามสมการที่ (3-15) มีทรานสเฟอ์ฟังก์ชันโดยรวมดังสมการที่ (3-12) และมีลักษณะการตอบสนองต่อสเตปอินพุตดังภาพที่ 3.4 เช่นกัน

8.8 การออกแบบตัวควบคุมโดยวิธีซิมเมตริกอลออปติมัม

ซิมเมตริกอลออปติมัมเป็นวิธีการออกแบบตัวควบคุมสำหรับระบบที่มีส่วนประกอบของตัวอินทิเกรเตอร์กับตัวหน่วงเวลาอันดับหนึ่ง ซึ่งไม่สามารถใช้วิธีการชดเชยได้เหมือนกับวิธีโมดูลัสออปติมัม ซึ่งจะทำให้ระบบเกิดการออสซิลเลต[3]

ระบบที่ประกอบด้วยตัวอินทิเกรเตอร์ที่มีค่าคงที่ทางเวลาในการอินทิเกรตสัญญาณ T_o และตัวหน่วงเวลาอันดับหนึ่งที่มีค่าคงที่ทางเวลา T_1, T_2 และ T_3 ซึ่งมีค่าใกล้เคียงกัน สามารถใช้ตัวควบคุมแบบ PI ได้ ตัวอย่างของระบบแบบนี้แสดงดังภาพที่ 3.7



ภาพที่ 3.7 แสดงระบบควบคุมที่ใช้ตัวควบคุมแบบ PI ที่ออกแบบโดยวิธีซิมเมตริกอลออปติมัม

ทรานสเฟอร์ฟังก์ชันของระบบเปิดในภาพที่ 3.7 แสดงดังสมการที่ (3-17)

$$F_w(s) = \frac{A_r(1+sT_i)}{sT_i} \cdot \frac{1}{sT_o} \cdot \frac{A_s}{1+sT_e} \quad (3-17)$$

โดยที่ A_r คือค่าอัตราขยายสัญญาณของตัวควบคุมแบบ PI

A_s คือค่าคงที่ในการขยายสัญญาณของตัวหน่วงเวลาอันดับหนึ่ง

T_i คือค่าคงที่ทางเวลาในการอินทิเกรตสัญญาณของตัวควบคุมแบบ PI

T_o คือค่าคงที่ทางเวลาในการอินทิเกรตสัญญาณของตัวอินทิเกรเตอร์

$$T_e = T_1 + T_2 + T_3$$

ดังนั้นทรานสเฟอร์ฟังก์ชันของระบบปิดเป็นตามสมการที่ (3-18)

เอกสารนี้เป็นเอกสารที่ส $F_w(s) = \frac{A_r A_s (1+sT_i)}{A_r A_s + s A_r A_s T_i + s^2 T_i T_o + s^3 T_1 T_o T_e}$ ไม่อนุญาตให้นำไปใช้ (3-18) ้นด้านการค้า

ไม่ว่ากรณีใดๆทั้งสิ้น อีกทั้งห้ามมิให้คัดแปลงเนื้อหา และต้องอ้างอิงถึงเจ้าของเอกสารทุกครั้งที่มีการนำไปใช้

สมการ (3-18) นั้นมีรูปแบบคล้ายกับลักษณะของสมการ (3-3) ดังนั้นถ้าให้

$$a_0 = A_r A_s, \quad a_1 = A_r A_s T_i, \quad a_2 = T_i T_o, \quad a_3 = T_i T_o T_c$$

สามารถใช้สมการ (3-7) และ (3-8) เพื่อหาค่าพารามิเตอร์ A_r และ T_i ของตัวควบคุมแบบ PI ได้ดังนี้

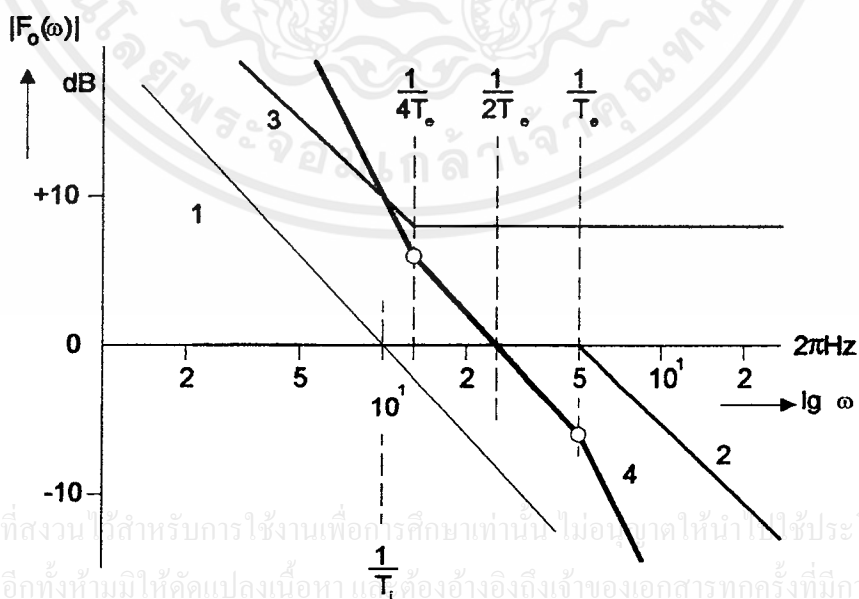
$$T_i = 4T_c \quad (3-19)$$

$$A_r = \frac{T_o}{2A_s T_c} \quad (3-20)$$

นำค่า T_i และ A_r ที่ได้แทนลงในสมการ (3-18) จะได้ทรานสเฟอร์ฟังก์ชันของระบบที่เหมาะสมโดยวิธีซิมเมตริกอลออปติมัมดังนี้

$$F_w(s) = \frac{1+s4T_c}{1+s4T_c+s^2 8T_c^2+s^3 8T_c^3} \quad (3-21)$$

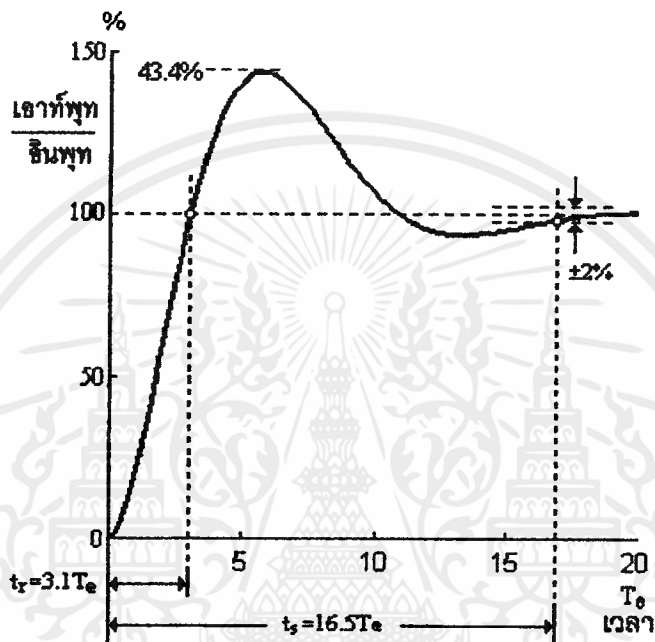
ถ้าระบบที่ต้องการควบคุมในภาพที่ 3.7 มีค่าพารามิเตอร์ได้แก่ $T_o=100\text{ms}$, $T_c=20\text{ms}$, $A_s=1$ ดังนั้นจากสมการ (3-19) และ (3-20) จะได้ค่า $T_i=80\text{ms}$ และ $A_r=2.5$ หรือประมาณ 8dB เมื่อพิจารณาลักษณะของอัตราขยายของระบบเปิดในเชิงความถี่จะมีลักษณะดังภาพที่ 3.8 โดยลักษณะของอัตราขยายในเชิงความถี่ของตัวอินทิเกรเตอร์ T_o แสดงได้โดยกราฟเส้นที่ 1 ผลรวมของตัวหน่วงเวลาอันดับหนึ่ง T_c แสดงได้โดยกราฟเส้นที่ 2 ตัวควบคุมแบบ PI แสดงได้โดยกราฟเส้นที่ 3 และของระบบเปิดทั้งหมดแสดงได้โดยกราฟเส้นที่ 4



เอกสารนี้เป็นเอกสารที่สงวนไว้สำหรับการใช้งานเพื่อการศึกษาเท่านั้น ไม่อนุญาตให้นำไปใช้ประโยชน์ด้านการค้า ไม่ว่าจะกรณีใดๆทั้งสิ้น อีกทั้งห้ามมิให้คัดแปลงเนื้อหา และ T_i ต้องอ้างอิงถึงเจ้าของเอกสารทุกครั้งที่มีการนำไปใช้

ภาพที่ 3.8 แสดงลักษณะอัตราขยายของระบบเปิดในเชิงความถี่

จิมเมตริกอลออปติมิซุ่มบนพื้นฐานของการควบคุมโมดูลัสของระบบที่เหมาะสม ถ้าพิจารณารูปร่างอัตราขยายของระบบเปิดในเชิงความถี่ในภาพที่ 3.8 ค่าอัตราขยายเป็น 1 ที่ความถี่ $1/2T_c$ รูปร่างของอัตราขยายที่ความถี่ใดๆ ที่น้อยกว่า $1/2T_c$ จะสมมาตรกับรูปร่างของอัตราขยายที่ความถี่ใดๆ ที่มากกว่า $1/2T_c$ ซึ่งเป็นลักษณะของการออกแบบตัวควบคุมด้วยวิธีจิมเมตริกอลออปติมิซุ่ม โดยมีลักษณะการตอบสนองต่อสเตปอินพุทเป็นดังภาพที่ 3.9

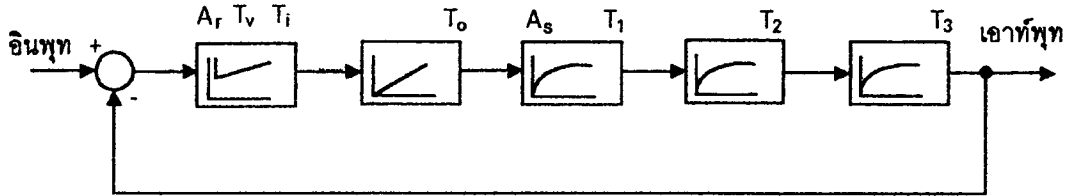


ภาพที่ 3.9 แสดงการตอบสนองต่อสเตปอินพุทของระบบที่ใช้การออกแบบตัวควบคุมด้วยวิธีจิมเมตริกอลออปติมิซุ่ม

จากภาพที่ 3.9 การตอบสนองต่อสเตปอินพุทจะมีโอเวอร์ชูท 43.4% และมีเวลาเข้าสู่สภาวะคงตัวที่ $16.5T_c$

ในกรณีที่ค่าคงที่ทางเวลา T_1 มีค่ามากกว่าผลรวมของ T_2 และ T_3 สามารถใช้ตัวควบคุมแบบ PID ได้ดังภาพที่ 3.10

เอกสารนี้เป็นเอกสารที่สงวนไว้สำหรับการใช้งานเพื่อการศึกษาเท่านั้น ไม่อนุญาตให้นำไปใช้ประโยชน์ด้านการค้าไม่ว่ากรณีใดๆ ทั้งสิ้น อีกทั้งห้ามมิให้คัดแปลงเนื้อหา และต้องอ้างอิงถึงเจ้าของเอกสารทุกครั้งที่มีการนำไปใช้



ภาพที่ 3.10 แสดงระบบควบคุมที่ใช้ตัวควบคุมแบบ PID ที่ออกแบบโดยวิธีจิมเมตริกคอลลอปติมัน

ทรานสเฟอร์ฟังก์ชันของระบบเปิดในภาพที่ 3.10 เป็นตามสมการที่ (3-22) ดังนี้

$$F_w(s) = \frac{A_r(1+sT_i)(1+sT_v)}{sT_i} \cdot \frac{1}{sT_o} \cdot \frac{A_s}{1+sT_1} \cdot \frac{1}{1+sT_c} \quad (3-22)$$

โดยที่ A_r คือค่าอัตราขยายสัญญาณของตัวควบคุมแบบ PID

T_i คือค่าคงที่ทางเวลาในการอินทิเกรตสัญญาณของตัวควบคุมแบบ PID

T_v คือค่าคงที่ทางเวลาในการดิฟเฟอเรนเชียลสัญญาณของตัวควบคุมแบบ PID

$$T_c = T_2 + T_3$$

ตัวควบคุมแบบ PID ในภาพที่ 3.10 ใช้วิธีการชดเชยตัวหน่วงเวลาอันดับหนึ่งที่มีขนาดใหญ่ที่สุดโดยให้ค่าคงที่ทางเวลาในการดิฟเฟอเรนเชียลสัญญาณ T_v มีค่าเท่ากับ T_1 ดังนั้น ทรานสเฟอร์ฟังก์ชันของระบบในภาพที่ 3.10 เหมือนกับสมการที่ (3-18) จึงใช้สมการที่ (3-19) และ (3-20) เพื่อหาค่าคงที่ทางเวลาในการอินทิเกรตสัญญาณ T_i และค่าของ A_r ได้ จึงมีทรานสเฟอร์ฟังก์ชันโดยรวมดังสมการที่ (3-21) และมีลักษณะการตอบสนองต่อสเตปอินพุตดังภาพที่ 3.9

3.4 การออกแบบตัวควบคุมสำหรับระบบที่มีตัวหน่วงเวลาอันดับหนึ่งขนาดใหญ่

ระบบที่ไม่ได้ประกอบด้วยตัวอินทิเกรเตอร์ แต่มีตัวหน่วงเวลาอันดับหนึ่งที่มีค่าคงที่ทางเวลาขนาดใหญ่กว่าตัวอื่นๆ มาก ควรใช้การออกแบบด้วยวิธีจิมเมตริกคอลลอปติมัน โดยพิจารณา ค่าคงที่ทางเวลาของตัวหน่วงเวลาอันดับหนึ่งที่ใหญ่ที่สุดเป็นเสมือนตัวอินทิเกรเตอร์[1,3]

ตัวอย่างระบบที่ประกอบไปด้วย ตัวหน่วงเวลาอันดับหนึ่งที่มีค่าคงที่ทางเวลา T_1 มากกว่า T_c ซึ่งเป็นผลรวมของค่าคงที่ทางเวลาของตัวหน่วงเวลาอันดับหนึ่งที่เหลือ สามารถใช้ตัวควบคุมแบบ PI ได้ ดังภาพที่ 3.11

เอกสารนี้เป็นเอกสารสงวนลิขสิทธิ์ไว้สำหรับการใช้งานเพื่อการศึกษาเท่านั้น ไม่อนุญาตให้นำไปใช้ประโยชน์ด้านการค้า ไม่ว่าจะกรณีใดๆ ทั้งสิ้น อีกทั้งห้ามมิให้คัดแปลงเนื้อหา และต้องอ้างอิงถึงเจ้าของเอกสารทุกครั้งที่มีการนำไปใช้



ภาพที่ 3.11 แสดงระบบที่มีตัวหน่วงเวลาอันดับหนึ่งขนาดใหญ่

การตอบสนองต่อสเตปอินพุทของระบบจะขึ้นอยู่กับอัตราส่วนของ T_1 กับ $4T_c$ ถ้าอัตราส่วนดังกล่าวมีค่ามากหรือค่า T_1 มีค่ามากกว่า 4 เท่าของ T_c มากๆ จะมีการตอบสนองที่ใกล้เคียงกับในภาพที่ 3.9 แต่ถ้าค่าอัตราส่วนดังกล่าวมีค่าใกล้เคียง 1 ค่าไรซ์ไทม์จะเพิ่มขึ้นและโอเวอร์ชูทจะลดลง จนใกล้เคียงกับระบบที่ออกแบบด้วยวิธีโมดูลัสออปติ멈 ดังนั้นถ้าค่า T_1 มีค่าไม่มากกว่า 4 เท่าของ T_c ควรใช้การออกแบบด้วยวิธีโมดูลัสออปติ멈[3]

เนื่องจากระบบประกอบไปด้วยเพียงตัวหน่วงเวลาอันดับหนึ่ง การตอบสนองต่อสเตปอินพุทจึงมีค่าไรซ์ไทม์และ โอเวอร์ชูทที่แตกต่างไปจากระบบที่มีตัวอินทิเกรเตอร์ ดังนั้นค่าพารามิเตอร์ของตัวควบคุมแบบ PI ที่ได้จากสมการที่ (3-19) และ (3-20) จึงต้องผูกกับค่าแก้ไข k_1 และ k_2 เพื่อให้การตอบสนองของระบบเหมือนกับภาพที่ 3.9 แสดงดังสมการที่ (3-23) และ (3-24)

$$T_i = 4T_c k_2 \quad (3-23)$$

$$A_r = \frac{T_1}{2A_s T_c} k_1 \quad (3-24)$$

เมื่อ $k_1 = 1 + \frac{T_c^2}{T_1^2}$ และ $k_2 = \frac{k_1}{(1+T_c/T_1)^3}$

ดังนั้นจะได้ทรานสเฟอร์ฟังก์ชันทั้งหมดดังสมการ (3-25)

$$F_w(s) = \frac{1+s4T_c k_2}{1+s4T_c k_3 + s^2 8T_c^2 k_3^2 + s^3 8T_c^3 k_3^3} \quad (3-25)$$

เมื่อ $k_3 = \frac{1}{1+(T_c/T_1)}$

เอกสารนี้เป็นเอกสารที่สงวนไว้สำหรับการใช้งานเพื่อการศึกษาเท่านั้น ไม่อนุญาตให้นำไปใช้ประโยชน์ด้านการค้าไม่ว่ากรณีใดๆทั้งสิ้น อีกทั้งห้ามมิให้คัดแปลงเนื้อหา และต้องอ้างอิงถึงเจ้าของเอกสารทุกครั้งที่มีการนำไปใช้

8.5 การแก้ไขโอเวอร์ชูตจากการออกแบบด้วยวิธีซิมเมตริกอลออปติมิ้ม

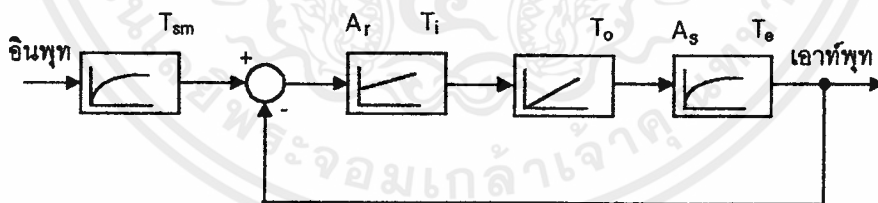
การตอบสนองของระบบที่ออกแบบด้วยวิธีซิมเมตริกอลออปติมิ้มต่อสเตปอินพุท มีค่าโอเวอร์ชูตสูงถึง 43.4% ซึ่งเป็นค่าที่สูงมากเมื่อเปรียบเทียบกับระบบที่ออกแบบด้วยวิธีโมดูลัสออปติมิ้ม ซึ่งมีโอเวอร์ชูตเพียง 4.3% เท่านั้น ถ้าพิจารณาจากทรานสเฟอ์ฟังก์ชันของระบบที่ออกแบบด้วยวิธีทั้งสองแบบตามสมการที่ (3-12) และ (3-21) จะพบว่าทรานสเฟอ์ฟังก์ชันที่ออกแบบด้วยวิธีโมดูลัสออปติมิ้มจะไม่มีเทอม $1+s4T_c$ ที่ตัวตั้งซึ่งทำให้เกิดโอเวอร์ชูตสูง ดังนั้นถ้าสามารถกำจัดเทอมดังกล่าวออกไปได้โอเวอร์ชูตจะลดลง

วิธีกำจัดเทอมดังกล่าวออกไปวิธีหนึ่งได้แก่ เพิ่มตัวหน่วงเวลาที่มีค่าคงที่ทางเวลา T_{sm} เท่ากับ $4T_c$ หรือเท่ากับค่าคงที่ทางเวลาในการอินทิเกรตสัญญาณของตัวควบคุม (T_i) ตัวหน่วงเวลาดังกล่าวเรียกว่าตัวสมูทติง ก็จะช่วยให้ทรานสเฟอ์ฟังก์ชันโดยรวมทั้งหมดไม่มีเทอม $1+s4T_c$ เป็นตัวตั้ง ดังสมการที่ (3-26)

$$F_w(s) = \frac{1}{1+s4T_c} \cdot \frac{1+s4T_c}{1+s4T_c+s^28T_c^2+s^38T_c^3}$$

$$F_w(s) = \frac{1}{1+s4T_c+s^28T_c^2+s^38T_c^3} \quad (3-26)$$

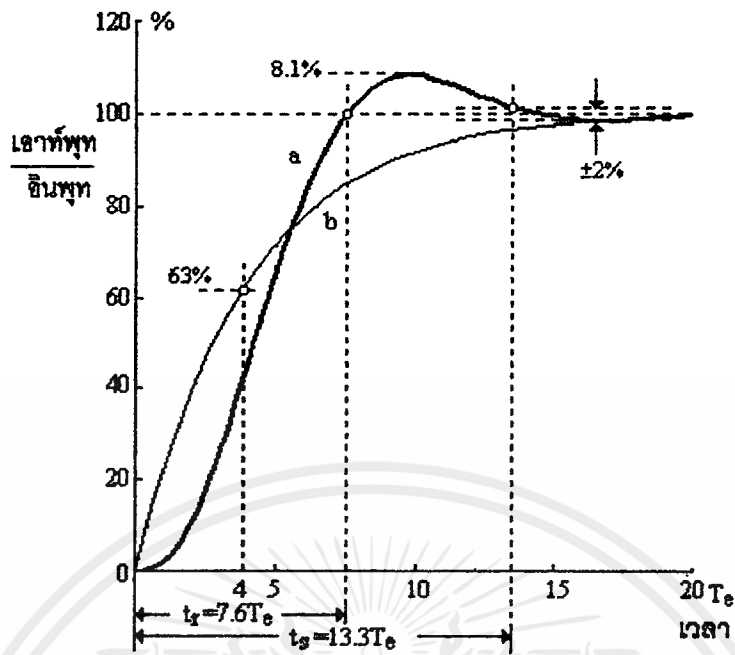
การเพิ่มตัวสมูทติงที่มีค่าคงที่ทางเวลา T_{sm} เข้าไปแสดงดังภาพที่ 3.12



ภาพที่ 3.12 แสดงการเพิ่มตัวสมูทติงเพื่อลดโอเวอร์ชูตต่อสเตปอินพุท

ลักษณะการตอบสนองของระบบต่อสเตปอินพุท แสดงดังภาพที่ 3.13

เอกสารนี้เป็นเอกสารที่สงวนไว้สำหรับการใช้งานเพื่อการศึกษาเท่านั้น ไม่อนุญาตให้นำไปใช้ประโยชน์ด้านการค้า ไม่ว่าจะกรณีใดๆทั้งสิ้น อีกทั้งห้ามมิให้คัดแปลงเนื้อหา และต้องอ้างอิงถึงเจ้าของเอกสารทุกครั้งที่มีการนำไปใช้



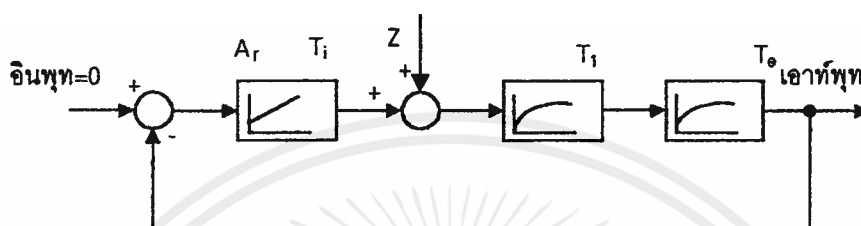
ภาพที่ 3.13 แสดงการตอบสนองต่อสเตปอินพุตของระบบที่ใช้การออกแบบตัวควบคุมด้วยวิธี ซิมเมตริกคอลออปติมัม และเพิ่มตัวสมูทคิงเพื่อลดโอเวอร์ชูท

การตอบสนองต่อสเตปอินพุตมีโอเวอร์ชูท 8.1% และมีค่าเวลาเข้าสู่สภาวะคงตัวที่ 13.3 T_e แสดงได้โดยกราฟเส้น a ในภาพที่ 3.13 สามารถประมาณให้เป็นการตอบสนองแบบตัวหน่วงเวลาอันดับหนึ่งได้ โดยพิจารณาเฉพาะสัมประสิทธิ์ของ s กำลังหนึ่งในสมการ (3-26) จะได้ ทรานสเฟอ์ฟังก์ชันของตัวหน่วงเวลาอันดับหนึ่งที่มีค่าคงที่ทางเวลาเท่ากับ $4T_e$ แสดงได้โดย กราฟเส้น b ในภาพที่ 3.13 ส่วนในกรณีของระบบที่มีตัวหน่วงเวลาอันดับหนึ่งขนาดใหญ่ๆ และใช้ออกแบบตัวควบคุมด้วยวิธีซิมเมตริกคอลออปติมัมนั้น สามารถใช้ค่า T_{sm} เท่ากับค่าคงที่ทาง เวลาในการอินทิเกรตสัญญาณของตัวควบคุม (T_i) ที่ออกแบบได้

เอกสารนี้เป็นเอกสารที่สงวนไว้สำหรับการใช้งานเพื่อการศึกษาเท่านั้น ไม่อนุญาตให้นำไปใช้ประโยชน์ด้านการค้า ไม่ว่ากรณีใดๆทั้งสิ้น อีกทั้งห้ามมิให้คัดแปลงเนื้อหา และต้องอ้างอิงถึงเจ้าของเอกสารทุกครั้งที่มีการนำไปใช้

3.6 การตอบสนองของระบบต่อสิ่งรบกวนภายนอก

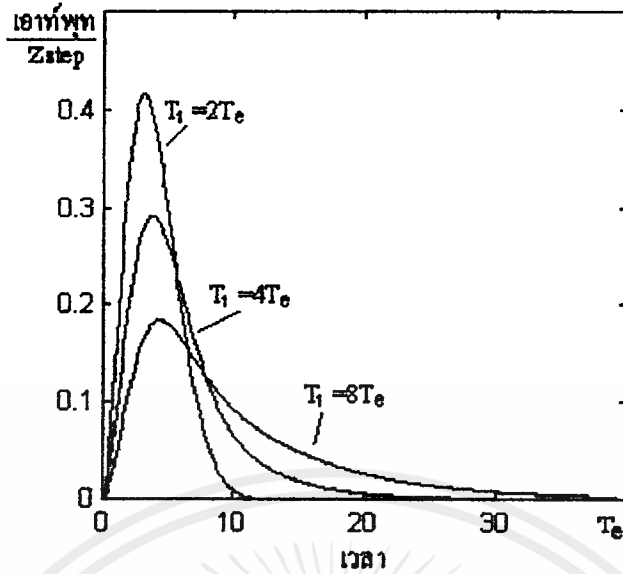
ระบบที่ออกแบบด้วยวิธีไมคูลัสหรือจิมเมตริกอลออปติ้มัม จะมีการตอบสนองต่อสิ่งรบกวนภายนอกของระบบ (disturbances) ในลักษณะที่แตกต่างกันตามคุณสมบัติของระบบ พิจารณาตัวอย่างของระบบควบคุมในภาพที่ 3.14 โดยไม่มีการป้อนคำสั่งให้กับระบบหรืออินพุตเป็น 0



ภาพที่ 3.14 แสดงระบบที่ให้อินพุตเป็น 0 เพื่อพิจารณาผลตอบสนองต่อสิ่งรบกวนภายนอก (Z)

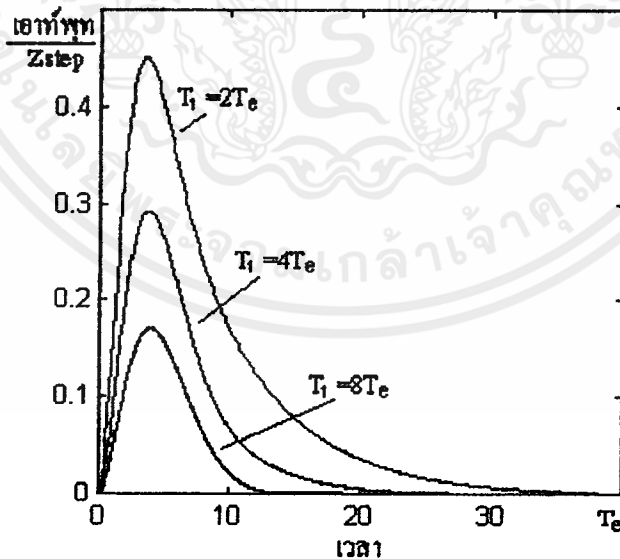
ตัวอย่างระบบดังภาพที่ 3.14 ประกอบไปด้วยตัวควบคุมแบบ PI และองค์ประกอบของระบบที่มีค่าคงที่ทางเวลาที่มากที่สุดเป็น T_1 และผลรวมของค่าคงที่ทางเวลาขนาดเล็กเป็น T_e โดยให้ผลจากสิ่งรบกวนภายนอกแทนด้วย Z การออกแบบตัวควบคุมของระบบนี้ทำได้ 2 วิธีได้แก่วิธีไมคูลัสและจิมเมตริกอลออปติ้มัม โดยแต่ละวิธีจะพิจารณาในกรณีที่ค่าคงที่ทางเวลา T_1 มีค่าเท่ากับ $2T_e$, $4T_e$ และ $8T_e$

การออกแบบตัวควบคุมของระบบดังกล่าวด้วยวิธีไมคูลัสออปติ้มัมจะได้รับการตอบสนองต่อสิ่งรบกวนภายนอกอย่างทันทีทันใด (step disturbances, Z_{step}) ดังภาพที่ 3.15



ภาพที่ 3.15 แสดงการตอบสนองต่อสิ่งรบกวนภายนอกอย่างทันทีทันใดของระบบที่ออกแบบตัวควบคุมโดยใช้วิธีโมดูลัสออปติมัม

ส่วนการออกแบบตัวควบคุมของระบบด้วยวิธีซิมเมตริกอลออปติมัมจะได้รับการตอบสนองต่อสิ่งรบกวนภายนอกอย่างทันทีทันใดดังภาพที่ 3.16



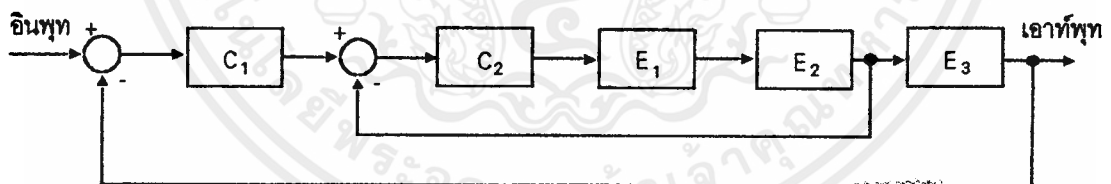
ภาพที่ 3.16 แสดงการตอบสนองต่อสิ่งรบกวนภายนอกอย่างทันทีทันใดของระบบที่ออกแบบตัวควบคุมโดยใช้วิธีซิมเมตริกอลออปติมัม

จากการตอบสนองของระบบที่ออกแบบตัวควบคุมด้วยวิธีโมดูลัสออปติมิั่มพบว่าถ้าค่าคงที่ทางเวลา T_1 มีค่ามากกว่า $4T_c$ มากยิ่งขึ้นระบบจะมีเวลาเข้าสู่สภาวะคงตัวยาวนานมากขึ้นแต่โอเวอร์ชูตน้อย ส่วนระบบที่ออกแบบตัวควบคุมด้วยวิธีซิมเมตริกอลออปติมิั่มพบว่าถ้าค่าคงที่ทางเวลา T_1 มีค่าน้อยกว่า $4T_c$ น้อยยิ่งขึ้นระบบจะมีเวลาเข้าสู่สภาวะคงตัวยาวนานมากขึ้นและมีโอเวอร์ชูตสูง ดังนั้นเพื่อการตอบสนองต่อสิ่งรบกวนภายนอกที่เหมาะสมของระบบ การออกแบบตัวควบคุมด้วยวิธีโมดูลัสออปติมิั่มควรใช้เมื่อค่าคงที่ทางเวลา T_1 มีค่าไม่เกิน $4T_c$ และการออกแบบตัวควบคุมด้วยวิธีซิมเมตริกอลออปติมิั่มควรใช้เมื่อค่าคงที่ทางเวลา T_1 มีค่าเกิน $4T_c$.

3.7 การแบ่งระบบออกเป็นส่วนย่อย

ระบบที่มีองค์ประกอบหลายส่วน สามารถใช้ตัวควบคุมเพียงตัวเดียวควบคุมทั้งหมดได้ โดยพิจารณาการใช้ตัวควบคุมแบบต่างๆ ได้แก่ I, PI และ PID ขึ้นอยู่กับคุณสมบัติของระบบ แต่ถ้าองค์ประกอบของระบบมีมากขึ้น การใช้ตัวควบคุมเพียงตัวเดียวไม่สามารถทำให้ระบบตอบสนองต่อสเตปอินพุตได้รวดเร็วเท่าที่ควรจะเป็น การตอบสนองต่อสเตปโหลดช้าลงและมีแนวโน้มที่จะให้โอเวอร์ชูตต่อสเตปโหลดสูงขึ้น[1,3]

ระบบควบคุมที่ใช้ตัวควบคุมมากกว่าหนึ่งตัว เพื่อควบคุมในแต่ละส่วนของระบบนั้น สามารถลดผลกระทบจากภายนอกที่เกิดจากส่วนประกอบต่างๆ ซึ่งเป็นสาเหตุที่ทำให้ระบบตอบสนองต่อสเตปอินพุตและสเตปโหลดได้ช้าลง พิจารณาระบบที่ประกอบด้วยองค์ประกอบ E_1 , E_2 , E_3 และใช้ตัวควบคุม C_1 และ C_2 ดังภาพที่ 3.17



ภาพที่ 3.17 แสดงระบบที่ใช้ตัวควบคุม 2 ตัว

ระบบในภาพที่ 3.17 ใช้ตัวควบคุม C_2 ควบคุมองค์ประกอบ E_1 และ E_2 เป็นลักษณะของการควบคุมแบบปิดเป็นลูปที่ 1 สามารถพิจารณาเป็นส่วนประกอบย่อยของตัวควบคุม C_1 และองค์ประกอบ E_3 เป็นลูปที่ 2 ที่อยู่นอกสุด อยู่ในลักษณะลูปควบคุมที่ซ้อนกันอยู่สองลูป

การพิจารณาลูปภายในเป็นส่วนประกอบย่อยของลูปภายนอกใช้การพิจารณาตามแบบของวิธีการออกแบบตัวควบคุม โดยพิจารณาได้จากทรานสเฟอ์ฟังก์ชัน โดยรวมหลังจากที่ออกแบบตัวควบคุมแล้ว มีค่าคงที่ทางเวลาประมาณเท่ากับสัมประสิทธิ์กำลัง 1 ของ s ตามสมการที่ (3-12) ,

(3-21) และ (3-25) สำหรับระบบที่ออกแบบตัวควบคุมด้วยวิธีโมดูลัสออปติมัม และด้วยวิธีจิมเมตริกอลออปติมัมที่ใช้ตัวสมูทติงเพื่อลดโอเวอร์ชูท สรุปได้ดังตารางที่ 3.1 ดังนี้

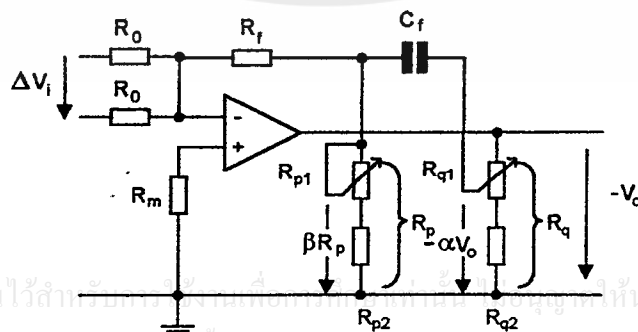
ตารางที่ 3.1 สรุปค่าคงที่ทางเวลาของการประมาณลูปควบคุมให้เป็นตัวหน่วงเวลาอันดับหนึ่ง

วิธีการออกแบบ	ค่าคงที่ทางเวลาในการประมาณค่าเป็นตัวหน่วงเวลาอันดับหนึ่ง
โมดูลัสออปติมัม	$2T_e$
จิมเมตริกอลออปติมัม	$4T_e$
จิมเมตริกอลออปติมัม (ระบบที่มีตัวหน่วงเวลาอันดับหนึ่งขนาดใหญ่)	$4T_e k_3$ (จากสมการที่ (3-25))

การประมาณลูปภายในเป็นตัวหน่วงเวลาอันดับหนึ่งสำหรับลูปภายนอก ทำให้การออกแบบตัวควบคุมของลูปภายนอกทำได้สะดวกขึ้น โดยใช้ค่าคงที่ทางเวลาที่ได้จากการประมาณตามตาราง เพื่อออกแบบตัวควบคุมในลูปภายนอก

8.8 วงจรของตัวควบคุม

การสังเคราะห์วงจรของตัวควบคุมแบบ PI และ PID ใช้วงจรรวมออปแอมเป็นส่วนประกอบหลัก วงจรของตัวควบคุมแบบ PI แบบปรับค่าอัตราขยายสัญญาณ A_r และค่าคงที่ในการอินทิเกรตสัญญาณ T_i โดยใช้ตัวต้านทานปรับค่าได้มีลักษณะดังภาพที่ 3.18



เอกสารนี้เป็นเอกสารที่สงวนไว้สำหรับกรณีสอนเพื่อการศึกษาเท่านั้น ไม่ควรนำไปใช้ประโยชน์ด้านการค้า ไม่ว่าจะกรณีใดๆทั้งสิ้น อีกทั้งห้ามมิให้คัดแปลงเนื้อหา และต้องอ้างอิงถึงเจ้าของเอกสารทุกครั้งที่มีการนำไปใช้

ภาพที่ 3.18 แสดงการสังเคราะห์ตัวควบคุม PI โดยใช้ออปแอม[3,5]

โดยที่ค่า A_r และ T_i ที่ปรับค่าได้ มีความสัมพันธ์กับอุปกรณ์ต่างๆ ดังสมการ (3-27) และ (3-28) ตามลำดับ

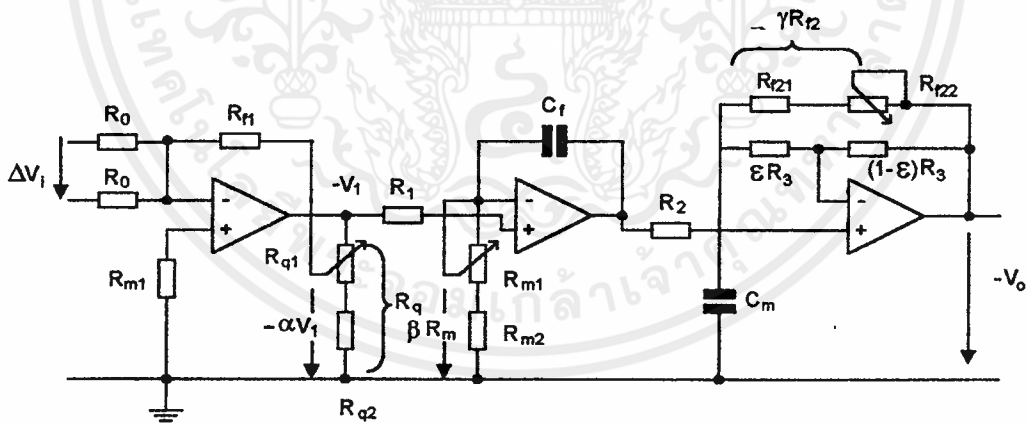
$$A_r = \frac{R_f}{R_0} \cdot \frac{1}{\alpha} \cdot K_\alpha \quad (3-27)$$

$$T_i = \frac{R_f \beta R_p}{R_f + \beta R_p} C_f K_\alpha \quad (3-28)$$

โดยที่
$$K_\alpha = 1 + (\alpha - \alpha^2) \frac{R_q}{R_f} \quad (3-29)$$

โดยถ้าส่วนตัวต้านทานคงที่ของ R_p มีค่า 0.1 เท่าของ R_f และค่า R_p ทั้งหมดมีค่า 10 เท่าของ R_f และค่าอัตราส่วนของ R_q/R_f น้อยกว่า 1 มากๆ สามารถปรับค่า A_r และ T_i ได้จากตัวต้านทานปรับค่าได้ R_q และ R_p ตามลำดับได้อิสระจากกัน และในการคำนวณค่าต่างๆ ใช้ค่าช่วงการปรับที่ครึ่งหนึ่งของช่วงการปรับทั้งหมดหรือที่ α และ β มีค่าเป็น 0.5

วงจรตัวควบคุมแบบ PID แบบปรับค่าอัตราขยายสัญญาณ A_r ค่าคงที่ในการอินทิเกรตสัญญาณ T_i และค่าคงที่ในการดิฟเฟอเรนเชียลสัญญาณ T_v โดยใช้ตัวต้านทานแบบปรับค่าได้ดังภาพที่ 3.19



ภาพที่ 3.19 แสดงการสังเคราะห์ตัวควบคุม PID โดยใช้โอปแอม[3]

โดยที่ค่า A_r , T_i และ T_v สามารถปรับค่าได้ โดยมีความสัมพันธ์กับอุปกรณ์ต่างๆ ดังสมการ (3-30), (3-31) และ (3-32) ตามลำดับ

$$A_r = \frac{R_{f1}}{R_0} \cdot \frac{1}{\alpha} \cdot K_\alpha \quad (3-30)$$

$$T_i = \beta R_m C_f \quad (3-31)$$

$$T_v = \frac{\gamma R_{f2} R_3}{\gamma R_{f2} + R_3} C_m \quad (3-32)$$

โดยที่
$$K_\alpha = 1 + (\alpha - \alpha^2) \frac{R_q}{R_{f1}} \quad (3-33)$$

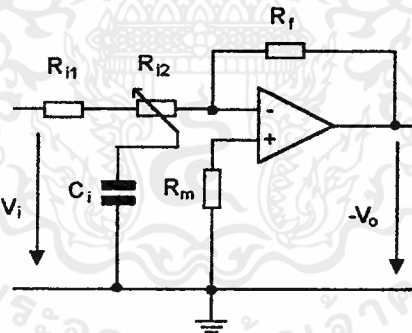
วงจรที่สังเคราะห์ได้นั้นมีทรานสเฟอ์ฟังก์ชันดังนี้

$$F_r(s) = \frac{-V_o(s)}{\Delta V_i(s)} = A_r \frac{(1+sT_i)(1+sT_v)}{sT_d(1+sT_d)} \quad (3-34)$$

โดยที่
$$T_d = \varepsilon T_v \quad (3-35)$$

ค่าคงที่ทางเวลา T_d ควรมีค่าน้อยกว่า 0.05 เท่าของ T_v หรือค่า ε ต้องมีค่าต่ำกว่า 0.05 เพื่อป้องกันการออสซิลเลตของวงจร PID นี้

ถ้าการออกแบบตัวควบคุมใช้วิธีจิมเมตริกคอลลอปติမ် จะต้องใช้ตัวสมูทติงเพิ่มเข้าไปทางอินพุทของระบบ วงจรสมูทติงแสดงดังภาพที่ 3.20



ภาพที่ 3.20 แสดงวงจรสมูทติง[1,11]

วงจรสมูทติงในภาพที่ 3.20 มีทรานสเฟอ์ฟังก์ชันดังนี้

$$F_r(s) = \frac{-V_o(s)}{V_i} = A_r \frac{1}{1+sT_{sm}} \quad (3-37)$$

เอกสารนี้เป็นเอกสารที่สงวนไว้สำหรับการใช้งานเพื่อการศึกษาเท่านั้น ไม่อนุญาตให้นำไปใช้ประโยชน์ด้านการค้า
โดยที่
$$A_r = \frac{R_f}{R_{i1} + R_{i2}} \quad (3-38)$$

$$T_{sm} = \frac{R_{i1} R_{i2}}{R_{i1} + R_{i2}} C_i \quad (3-39)$$

3.9 ระบบของคีมอเตอร์

การจ่ายพลังงานให้กับคีมอเตอร์โดยอาศัยวงจรขั้วคีมอเตอร์หรือไคร์ฟเวอร์ ซึ่งเป็นวงจรขยายสัญญาณควบคุมให้เหมาะสมกับคีมอเตอร์ที่มีค่าอัตราขยายสัญญาณ A_a และการตอบสนองต่อสเตปอินพุทของไคร์ฟเวอร์นั้น มีลักษณะเหมือนกับตัวหน่วงเวลาอันดับหนึ่ง ที่มีค่าคงที่ทางเวลา T_a จากสมการ (2-7) การจ่ายโวลต์เตจให้กับส่วนทางไฟฟ้าของคีมอเตอร์ มีความสัมพันธ์กันดังนี้

$$V_a(s) - K_E \omega(s) = (sL_a + R)I_a(s) \quad (3-40)$$

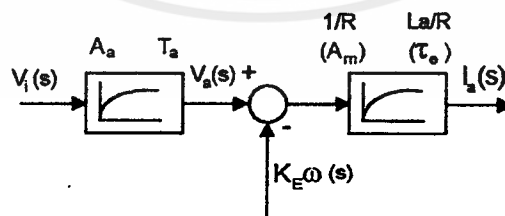
ถ้าให้ $V_i(s)$ เป็นสัญญาณควบคุมที่ป้อนให้กับไคร์ฟเวอร์เพื่อขยายสัญญาณให้ได้ $V_a(s)$ เพื่อป้อนให้กับส่วนทางไฟฟ้าของคีมอเตอร์ ดังนั้นจะได้รับความสัมพันธ์ระหว่าง $V_i(s)$ และ $V_a(s)$ ดังนี้

$$V_a(s) = \frac{A_a}{(1+sT_a)} V_i(s) \quad (3-41)$$

แทนสมการ (2-41) ลงในสมการ (2-40)

$$\frac{A_a}{(1+sT_a)} V_i(s) - K_E \omega(s) = (sL_a + R)I_a(s) \quad (3-42)$$

จากสมการ (3-42) สามารถแสดงเป็นบล็อกไดอะแกรม ที่แสดงลักษณะของการตอบสนองต่อสเตปอินพุทในเชิงเวลาของไคร์ฟเวอร์และส่วนทางไฟฟ้าของคีมอเตอร์ไว้ภายในบล็อกของแต่ละส่วน โดยแสดงค่าอัตราขยายและค่าคงที่ทางเวลาไว้ด้านบนแต่ละบล็อกดังภาพที่ 3.21



เอกสาร ภาพที่ 3.21 แสดงบล็อกไดอะแกรมของการจ่ายโวลต์เตจให้กับส่วนทางไฟฟ้าของคีมอเตอร์ มีด้านการคำนวณว่าครีมีโคจทั้งหมด อีกทั้งยังมีให้ดัดแปลงเป็นอีก และต้องอ้างอิงถึงเจ้าของเอกสารทุกครั้งที่มีการนำไปใช้ การตรวจจับความเร็วรอบของคีมอเตอร์ โดยอาศัยทาโคเจนเนอเรเตอร์ โดยอาศัยสมการที่ (2-23) จะได้รับความสัมพันธ์ระหว่างความเร็วรอบ $\omega(s)$ และสัญญาณเอาท์พุท $V_g(s)$ ดังนี้

$$\frac{V_g(s)}{\omega(s)} = K_{Tg} \Rightarrow V_g(s) = K_{Tg} \omega(s) \quad (3-43)$$

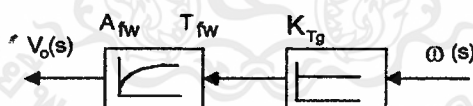
$V_g(s)$ ที่มีความสัมพันธ์กับความถี่รอบ $\omega(s)$ นั้นในทางปฏิบัติแล้วจะมีสัญญาณรบกวนที่มีความถี่สูงปะปนอยู่ด้วย ดังนั้นจึงใช้วงจรกรองความถี่ต่ำผ่านที่มีการตอบสนองต่อสเตปอินพุทในลักษณะของตัวหน่วงเวลาอันดับหนึ่งที่มีค่าคงที่ทางเวลา T_{fw} และมีค่าอัตราขยายสัญญาณ A_{fw} เพื่อให้เหมาะสมกับการตรวจจับสัญญาณโดยตัวควบคุมต่อไป ดังนั้นจะได้ความสัมพันธ์ระหว่าง $V_g(s)$ และสัญญาณที่นำไปใช้งาน $V_o(s)$ ดังนี้

$$V_o(s) = \frac{A_{fw}}{(1+sT_{fw})} V_g(s) \quad (3-44)$$

แทนสมการ (3-43) ลงในสมการ (3-44)

$$V_o(s) = \frac{A_{fw}}{(1+sT_{fw})} K_{Tg} \omega(s) \quad (3-45)$$

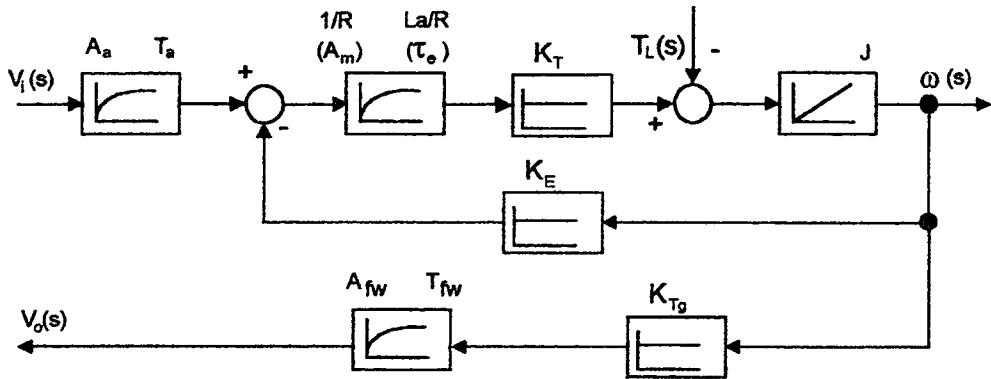
จากสมการ (3-45) สามารถแสดงเป็นบล็อกไดอะแกรม ที่แสดงลักษณะของการตอบสนองต่อสเตปอินพุทในเชิงเวลาของวงจรกรองความถี่ต่ำผ่านและทาคาโคเจนเนอเรเตอร์ ไว้ภายในบล็อกของแต่ละส่วน โดยแสดงค่าอัตราขยายและค่าคงที่ทางเวลาไว้ด้านบนของแต่ละบล็อกดังภาพที่ 3.22



ภาพที่ 3.22 บล็อกไดอะแกรมแสดงความสัมพันธ์ระหว่างความถี่รอบและสัญญาณที่นำไปใช้งาน

จากภาพที่ 2.5 , 3.20 และ 3.21 จะได้บล็อกไดอะแกรมที่แสดงระบบของดีซีมอเตอร์ดังภาพที่ 3.23

เอกสารนี้เป็นเอกสารที่สงวนไว้สำหรับการใช้งานเพื่อการศึกษาเท่านั้น ไม่อนุญาตให้นำไปใช้ประโยชน์ด้านการค้าไม่ว่ากรณีใดๆทั้งสิ้น อีกทั้งห้ามมิให้คัดแปลงเนื้อหา และต้องอ้างอิงถึงเจ้าของเอกสารทุกครั้งที่มีการนำไปใช้



ภาพที่ 3.23 แสดงระบบของคีมอเตอร์

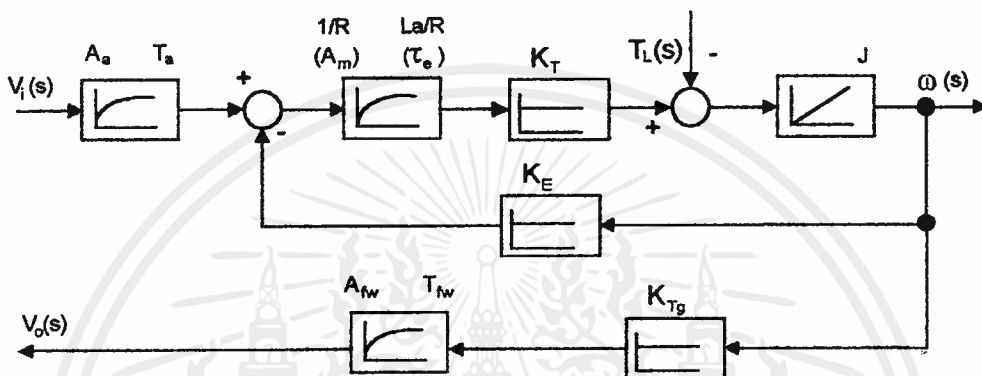


เอกสารนี้เป็นเอกสารที่สงวนไว้สำหรับการใช้งานเพื่อการศึกษาเท่านั้น ไม่อนุญาตให้นำไปใช้ประโยชน์ด้านการค้า
ไม่ว่ากรณีใดๆทั้งสิ้น อีกทั้งห้ามมิให้คัดแปลงเนื้อหา และต้องอ้างอิงถึงเจ้าของเอกสารทุกครั้งที่มีการนำไปใช้

บทที่ 4

การออกแบบระบบควบคุมความเร็วดีซีมอเตอร์แบบหลายลูป

ระบบควบคุมความเร็วดีซีมอเตอร์ประกอบด้วยตัวควบคุมและระบบของดีซีมอเตอร์ ซึ่งระบบของดีซีมอเตอร์ประกอบไปด้วยขงจรขับเคลื่อนดีซีมอเตอร์หรือไครฟ์เวอร์เพื่อจ่ายกระแสให้กับดีซีมอเตอร์[14], ดีซีมอเตอร์, ทาโคเจนเนอร์เรเตอร์, ฟิลเตอร์กรองความถี่ต่ำผ่าน[15] ดังภาพที่ 4.1



ภาพที่ 4.1 แสดงระบบของดีซีมอเตอร์

ระบบดีซีมอเตอร์ที่ใช้ในวิทยานิพนธ์นี้มีค่าพารามิเตอร์ต่างๆ ดังนี้[16]

A_a	คือค่าอัตราขยายสัญญาณของไครฟ์เวอร์	=	4.6	
T_a	คือค่าคงที่ทางเวลาของไครฟ์เวอร์	=	30×10^{-3}	s
R	คือค่าความต้านทานอาร์มาเจอร์ของดีซีมอเตอร์	=	3.1	Ω
L_a	คือค่าความเหนี่ยวนำอาร์มาเจอร์ของดีซีมอเตอร์	=	4.7×10^{-3}	H
A_m	คือค่าอัตราขยายสัญญาณของส่วนทางไฟฟ้าของดีซีมอเตอร์	=	$1/R = 0.32258$	
T_e	คือค่าคงที่ทางเวลาทางไฟฟ้าของดีซีมอเตอร์	=	$L_a/R = 1.516 \times 10^{-3}$	s
K_T	คือค่าคงที่แรงบิดของดีซีมอเตอร์	=	0.22	Nm/A
J	คือค่าโมเมนต์ของแรงเฉื่อยของดีซีมอเตอร์	=	3.21×10^{-4}	Kg-m^2
K_E	คือค่าคงที่แรงดันย้อนกลับของดีซีมอเตอร์	=	0.22	V/rad-s^{-1}
K_{Tg}	คือค่าอัตราขยายสัญญาณของทาโคเจนเนอร์เรเตอร์	=	6.686×10^{-2}	V/rad-s^{-1}
A_{fw}	คือค่าอัตราขยายสัญญาณของฟิลเตอร์กรองความถี่ต่ำผ่าน	=	0.5	
T_{fw}	คือค่าคงที่ทางเวลาของฟิลเตอร์กรองความถี่ต่ำผ่าน	=	3.3×10^{-3}	s

ค่าคงที่ทางเวลารวมขนาดเล็กที่เหลือ T_e มีค่าดังนี้

$$T_e = T_c + T_{fc} = 1.816 \times 10^{-3} \quad \text{s}$$

และค่าอัตราขยายสัญญาณโดยรวมของระบบควบคุมกระแส A_s มีค่าดังนี้

$$A_s = A_a \cdot A_m \cdot A_{fc} = 1.484$$

ค่าของ T_a มีค่ามากกว่า T_e เกินกว่า 4 เท่า ดังนั้นการออกแบบตัวควบคุมแบบ PI เพื่อควบคุมในรูปควบคุมกระแสจะใช้การออกแบบด้วยวิธีซิมเมตริกอลลิปติ่ม ซึ่งต้องอาศัยค่าแก้ไข k_1 และ k_2 สามารถคำนวณได้ดังนี้

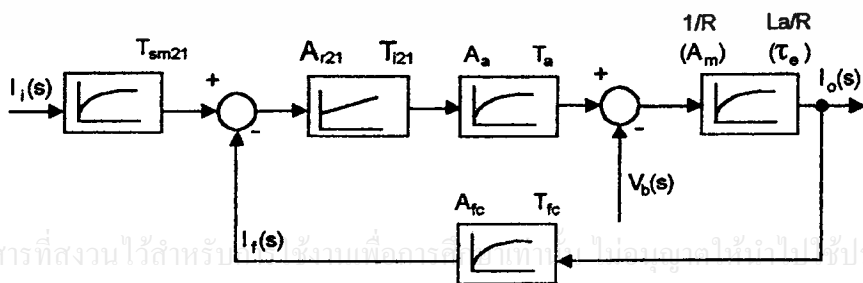
$$k_1 = 1 + \frac{T_e^2}{T_a^2} = 1.0037, \quad k_2 = \frac{k_1}{(1 + T_e/T_a)^3} = 0.8415$$

ดังนั้นจากสมการ (3-23) และ (3-24) สามารถคำนวณหาค่า T_{i21} และ A_{r21} ของตัวควบคุมแบบ PI ได้ดังนี้

$$T_{i21} = 4T_e k_2 = 6.113 \times 10^{-3} \quad \text{s}$$

$$A_{r21} = \frac{T_a}{2A_s T_e} k_1 = 5.587$$

การออกแบบด้วยวิธีซิมเมตริกอลลิปติ่มจะเกิดโอเวอร์ชูตเมื่อตอบสนองต่อสเตปอินพุตสูง จึงต้องใช้ตัวสมทตั้งประกอบเข้าทางด้านอินพุต โดยใช้ค่า T_{sm21} เท่ากับ T_{i21} แสดงรูปควบคุมกระแสได้ดังภาพที่ 4.4



ภาพที่ 4.4 แสดงรูปควบคุมกระแสของระบบควบคุมแบบสองลูป

วงจรของตัวควบคุมในรูปควบคุมกระแสแบบ PI ได้จากภาพที่ 3.17 โดยกำหนดให้ค่าอุปกรณ์ต่างๆ มีค่าต่างๆ ได้แก่ $R_f = 10K\Omega$, R_q ส่วนปรับค่าได้หรือ $R_{q1} = 1K\Omega$, R_q ส่วนคงที่หรือ $R_{q2} = 100 \Omega$ และให้ค่า $\alpha = 0.5$ ดังนั้นจากสมการ (3-29) จะได้ค่า K_α ดังนี้

$$K_\alpha = 1 + (0.5 - 0.5^2) \cdot \frac{1 \times 10^3}{10 \times 10^3} = 1.025$$

จากค่า A_{r21} จะได้ค่า R_0 จากสมการ (3-27) ดังนี้

$$R_0 = \frac{R_f}{A_{r21}} \cdot \frac{1}{\alpha} \cdot K_\alpha = 3.669K\Omega$$

เลือกใช้ $R_0 = 3.6K\Omega$ และค่า R_q สามารถปรับได้ตั้งแต่ 100Ω จนถึง $1.1K\Omega$ หรือค่า α สามารถปรับเปลี่ยนค่าได้ตั้งแต่ประมาณ 0.1 จนถึง 0.9 โดยใช้สมการ (3-27) จะได้ตัวควบคุมแบบ PI ที่สามารถปรับเปลี่ยนค่า A_{r21} ได้ระหว่าง 28.5 และ 3.2

ส่วนค่า C_f ในวงจรใช้สมการ (3-28) โดยให้ $\beta=0.5$, R_p ส่วนปรับค่าได้หรือ $R_{p1} = 100 K\Omega$, R_p ส่วนคงที่หรือ $R_{p2} = 1K\Omega$ ดังนั้นจะได้ค่า C_f ดังนี้

$$C_f = T_{i21} \cdot \frac{R_f + (\beta R_p)}{R_f \beta R_p} \cdot \frac{1}{K_\alpha} = 0.714\mu F$$

เลือกใช้ $C_f = 0.68\mu F$ และค่า R_p สามารถปรับได้ตั้งแต่ $1K\Omega$ จนถึง $101K\Omega$ หรือค่า β สามารถปรับเปลี่ยนค่าได้ตั้งแต่ประมาณ 0.1 จนถึง 0.9 โดยใช้สมการ (3-28) จะได้ตัวควบคุมแบบ PI ที่สามารถปรับเปลี่ยนค่า T_{i21} ได้ระหว่าง 3.5×10^{-3} จนถึง 6.28×10^{-3} วินาที

วงจรสมมุติตั้งจากภาพที่ 3.19 สามารถคำนวณหาค่าอุปกรณ์ต่างๆ ได้โดยอาศัยสมการ (3-38) เพื่อกำหนดค่าอัตราขยายสัญญาณของวงจรสมมุติตั้ง A_r โดยให้เท่ากับ 1 ดังนี้

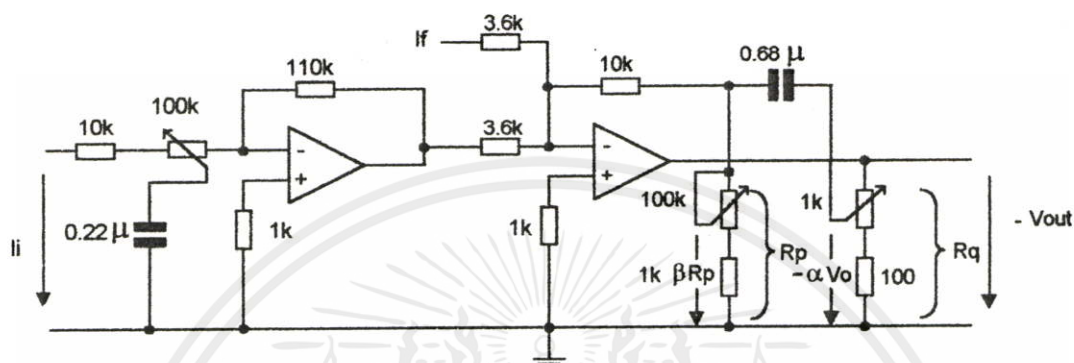
$$A_r = \frac{R_f}{R_{i1} + R_{i2}} = 1$$

จะได้ค่า R_f เท่ากับ $R_{i1} + R_{i2}$ ถ้าให้ R_{i1} เท่ากับ $10K\Omega$ และ R_{i2} เป็นความต้านทานแบบปรับค่าได้เท่ากับ $100K\Omega$ ดังนั้นจะได้ R_f เท่ากับ $110K\Omega$ โดยที่ค่า R_{i2} ปรับไว้ที่จุดกึ่งกลางคือ $50 K\Omega$ ดังนั้นค่า R_{i1} มีค่าเท่ากับ $60K\Omega$ เพื่อใช้คำนวณหาค่า C_i ต่อไป

ส่วนค่า C_i ได้จากสมการ (3-39) โดยใช้ค่า $R_{i1} = 60K\Omega$ และ $R_{i2} = 50K\Omega$ ดังนี้

$$C_i = T_{sm21} \frac{R_{i1} + R_{i2}}{R_{i1} \cdot R_{i2}} = 0.224 \mu\text{F}$$

เลือกใช้ค่า C_i เท่ากับ $0.22 \mu\text{F}$ แสดงวงจรของตัวควบคุมแบบ PI ที่มีวงจรมูทตั้งสำหรับ
 ควบคุมกระแสของระบบควบคุมแบบสองลูป ดังภาพที่ 4.5



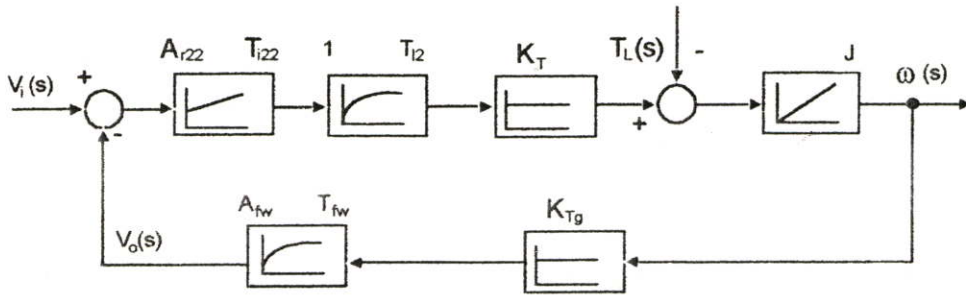
ภาพที่ 4.5 แสดงวงจรของตัวควบคุมแบบ PI ที่มีวงจรมูทตั้งสำหรับควบคุมกระแสของระบบ
 ควบคุมแบบสองลูป

ลูปควบคุมกระแสสามารถประมาณให้เป็นตัวหน่วงเวลาอันดับหนึ่งได้ โดยอาศัยค่าจาก
 ตารางที่ 3.1 โดยมีค่าเท่ากับ $4T_c k_3$ เมื่อ $k_3 = \frac{1}{(1+T_c/T_a)} = 0.943$ ดังนั้นจะได้ค่าคงที่ทางเวลา
 T_{I2} เมื่อประมาณลูปควบคุมกระแสเป็นตัวหน่วงเวลาอันดับหนึ่งดังนี้

$$T_{I2} = 4 \times 1.816 \times 10^{-3} \times k_3 = 6.85 \times 10^{-3} \text{ s}$$

จากภาพที่ 4.4 ตัวหน่วงเวลาอันดับหนึ่งที่ได้มีทรานสเฟอร์ฟังก์ชันที่เป็นความสัมพันธ์
 ระหว่าง $I_f(s)$ และ $I_i(s)$ แต่ในการใช้งานกับลูปควบคุมความเร็วที่เป็นลูปนอกจะต้องใช้
 ทรานสเฟอร์ฟังก์ชันในรูปของความสัมพันธ์ระหว่าง $I_o(s)$ และ $I_i(s)$ จะต้องพิจารณาฟิลเตอร์ให้อยู่
 ในส่วนของการป้อนกลับ แต่ค่าอัตราขยายสัญญาณ A_{fc} เป็น 1 และค่าคงที่ทางเวลา T_{fc} มีค่าน้อย
 เมื่อเปรียบเทียบกับค่า T_{I2} ที่ได้ ดังนั้นจึงใช้ค่า T_{I2} เป็นค่าคงที่ทางเวลาจากการประมาณเป็นตัว
 หน่วงเวลาอันดับหนึ่ง และมีค่าอัตราขยายสัญญาณเท่ากับ 1 สำหรับลูปควบคุมกระแส ดังนั้นจะ
 ได้ลูปควบคุมความเร็วดังภาพที่ 4.6

เอกสารนี้เป็นเอกสารที่สงวนไว้สำหรับการใช้งานเพื่อการศึกษาเท่านั้น ไม่อนุญาตให้เผยแพร่โดยไม่ได้รับอนุญาต
 ไม่ว่าจะในรูปแบบใดก็ตาม หากมีเหตุขัดแย้งเนื้อหา และต้องอ้างอิงถึงเจ้าของเอกสารทุกครั้งที่มีการนำไปใช้



ภาพที่ 4.6 แสดงลูปควบคุมความเร็วที่มีลูปควบคุมกระแสที่ประมาณเป็นตัวหน่วงเวลาอันดับหนึ่ง อยู่ภายใน

ระบบควบคุมความเร็วในภาพที่ 4.6 มีตัวอินทิเกรเตอร์เป็นส่วนประกอบ ดังนั้นการออกแบบตัวควบคุมแบบ PI จึงใช้การออกแบบด้วยวิธีขิมเมตริกอลออปติ้ม โดยที่ผลรวมของตัวหน่วงเวลาอันดับหนึ่งขนาดเล็ก T_c มีค่าดังนี้

$$T_c = T_{i2} + T_{fw} = 10.15 \times 10^{-3} \text{ s}$$

และค่าอัตราขยายสัญญาณโดยรวมของระบบ A_s มีค่าดังนี้

$$A_s = K_T \cdot K_{Tg} \cdot A_{fw} = 7.49 \times 10^{-4}$$

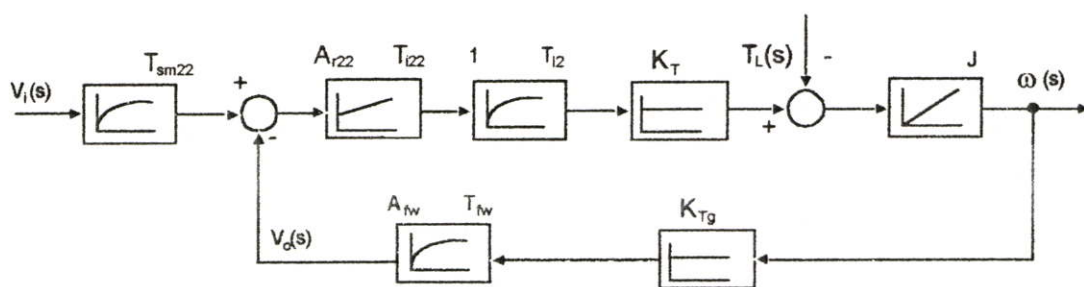
จากสมการ (3-19) และ (3-20) สามารถหาค่า T_{i22} และ A_{i22} ของตัวควบคุมแบบ PI ได้ดังนี้

$$T_{i22} = 4T_c = 40.6 \times 10^{-3} \text{ s}$$

$$A_{i22} = \frac{J}{2A_s T_c} = 2.11$$

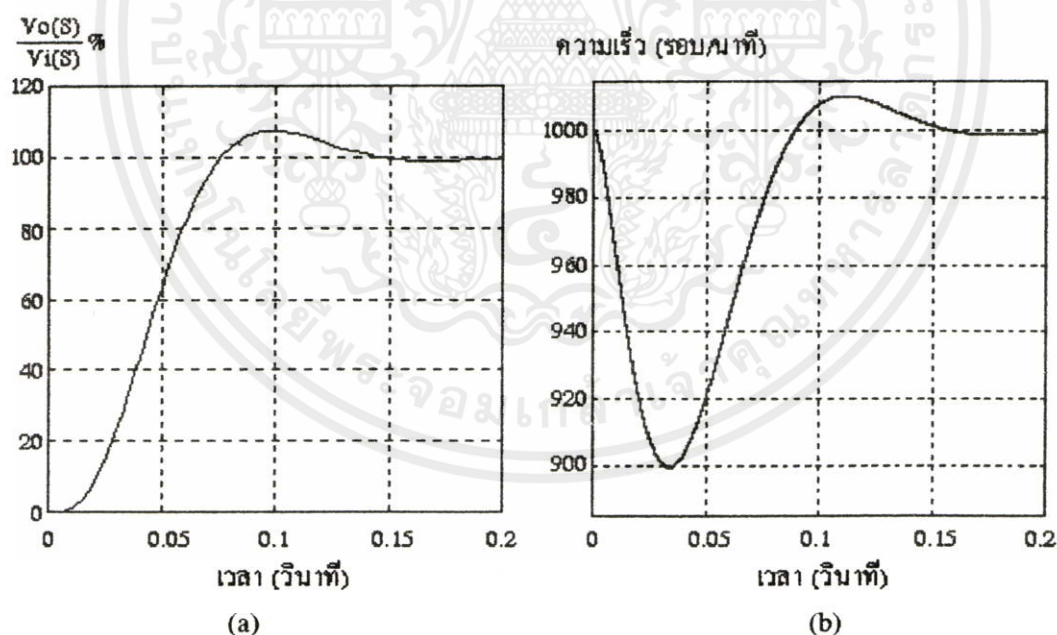
ระบบออกแบบด้วยวิธีขิมเมตริกอลออปติ้ม ดังนั้นต้องเพิ่มตัวสมูทติงเพื่อลดโอเวอร์ชูท จากสมการ (3-26) จะได้ค่าคงที่ทางเวลา T_{sm22} ของวงจรมูทติงเท่ากับ T_{i22} ดังนั้นจะได้ระบบควบคุมความเร็วทั้งหมดดังภาพที่ 4.7

เอกสารนี้เป็นเอกสารที่สงวนไว้สำหรับการใช้งานเพื่อการศึกษาเท่านั้น ไม่อนุญาตให้นำไปใช้ประโยชน์ด้านการค้า ไม่ว่ากรณีใดๆทั้งสิ้น อีกทั้งห้ามมิให้คัดแปลงเนื้อหา และต้องอ้างอิงถึงเจ้าของเอกสารทุกครั้งที่มีการนำไปใช้



ภาพที่ 4.7 แสดงระบบควบคุมความเร็วแบบสองลูบที่มีตัวสมูทติง

จำลองระบบควบคุมทั้งหมดที่ได้ด้วยโปรแกรมคอมพิวเตอร์ โดยพิจารณาจากการตอบสนองต่อสเตปอินพุท และสเตปโหลด โดยทดสอบสเตปโหลดเมื่อให้ดีซีมอเตอร์หมุนที่ความเร็ว 1000 รอบต่อนาที ให้ค่าสเตปโหลดที่ 0.37 Nm ซึ่งเป็นค่าแรงบิดสูงสุดของโหลดที่ใช้และไม่เกินแรงบิดสูงสุดของดีซีมอเตอร์ โดยให้เป็นสเตปโหลดขนาด 100% ของพิกัดโหลด ซึ่งแรงบิดที่มากเกินไปกว่าแรงบิดสูงสุดของดีซีมอเตอร์อาจทำให้ดีซีมอเตอร์ไม่สามารถทำงานได้ตามปกติ โดยแสดงผลที่ได้ดังภาพที่ 4.8 a และ b ตามลำดับ



ภาพที่ 4.8 แสดงการตอบสนองของระบบควบคุมแบบสองลูบต่อสเตปอินพุท (a) และ สเตปโหลด (b)

เอกสารนี้เป็นเอกสารที่สงวนไว้สำหรับการใช้งานเพื่อการศึกษาเท่านั้น "ไม่อนุญาตให้นำไปใช้ประโยชน์ด้านการค้า ไม่ว่าจะกรณีใดๆทั้งสิ้น อีกทั้งห้ามมิให้คัดแปลงเนื้อหา และต้องอ้างอิงถึงเจ้าของเอกสารทุกครั้งที่มีการนำไปใช้"

จากการจำลองระบบด้วยโปรแกรมคอมพิวเตอร์ ในกรณีการตอบสนองต่อสเตปอินพุท ระบบใช้เวลาเข้าสู่สภาวะคงตัวประมาณ 135 มิลลิวินาที และมีโอเวอร์ชูทประมาณ 8.1% ส่วนในกรณีการตอบสนองต่อสเตปโพลคใช้เวลาเข้าสู่สภาวะคงตัวประมาณ 140 มิลลิวินาที มีความเร็วเบี่ยงเบนสูงสุดหรือโอเวอร์ชูทประมาณ 100 รอบ/นาที

วงจรถอดตัวควบคุมแบบ PI ได้จากภาพที่ 3.17 โดยกำหนดให้ค่าอุปกรณ์ต่างๆ ได้แก่ $R_f = 10K\Omega$, R_q ส่วนปรับค่าได้หรือ $R_{q1} = 1K\Omega$, R_q ส่วนคงที่หรือ $R_{q2} = 100\Omega$ และให้ค่า $\alpha = 0.5$ ดังนั้นจากสมการ (3-29) จะได้ค่า K_α ดังนี้

$$K_\alpha = 1 + (0.5 - 0.5^2) \cdot \frac{1 \times 10^3}{10 \times 10^3} = 1.025$$

จากค่า A_{r22} จะได้ค่า R_0 จากสมการ (3-27) ดังนี้

$$R_0 = \frac{R_f}{A_{r22}} \cdot \frac{1}{\alpha} \cdot K_\alpha = 9.716K\Omega$$

เลือกใช้ $R_0 = 10K\Omega$ และค่า R_q สามารถปรับได้ตั้งแต่ 100Ω จนถึง $1.1K\Omega$ หรือค่า α สามารถปรับเปลี่ยนค่าได้ตั้งแต่ประมาณ 0.1 จนถึง 0.9 โดยใช้สมการ (3-27) จะได้ตัวควบคุมแบบ PI ที่สามารถปรับเปลี่ยนค่า A_{r22} ได้ระหว่าง 10.4 และ 1.1

ส่วนค่า C_f ในวงจรถอดตัวควบคุม (3-28) โดยให้ $\beta = 0.5$, R_p ส่วนปรับค่าได้หรือ $R_{p1} = 100K\Omega$, R_p ส่วนคงที่หรือ $R_{p2} = 1K\Omega$ ดังนั้นจะได้ค่า C_f ดังนี้

$$C_f = T_{i22} \cdot \frac{R_f + (\beta R_p)}{R_f \beta R_p} \cdot \frac{1}{K_\alpha} = 4.745\mu F$$

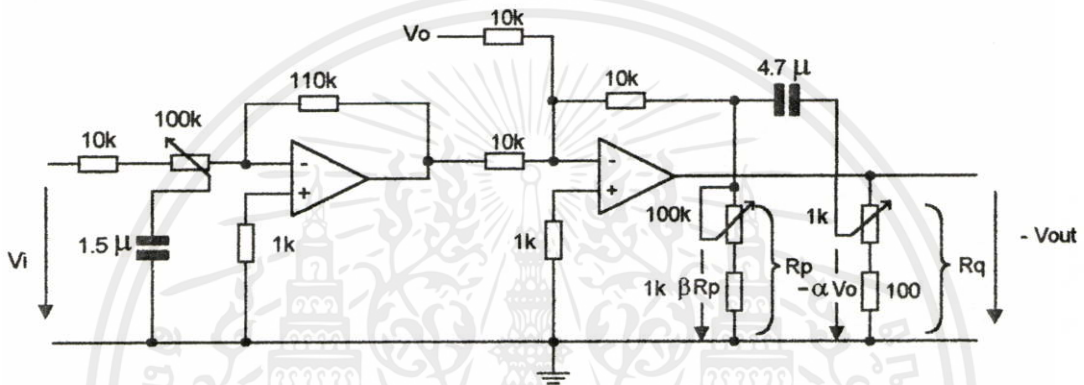
เลือกใช้ $C_f = 4.7\mu F$ และค่า R_p สามารถปรับได้ตั้งแต่ $1K\Omega$ จนถึง $101K\Omega$ หรือค่า β สามารถปรับเปลี่ยนค่าได้ตั้งแต่ประมาณ 0.1 จนถึง 0.9 โดยใช้สมการ (3-28) จะได้ตัวควบคุมแบบ PI ที่สามารถปรับเปลี่ยนค่า T_{i22} ได้ระหว่าง 24.2×10^{-3} จนถึง 43.4×10^{-3} วินาที

วงจรถอดตัวควบคุมจากภาพที่ 3.19 สามารถคำนวณหาค่าอุปกรณ์ต่างๆ ได้โดยอาศัยสมการ (3-38) เพื่อกำหนดค่าอัตราขยายสัญญาณของวงจรถอดตัว A_f โดยให้เท่ากับ 1 ดังนั้นจะได้ค่า R_f เท่ากับ $R_{i1} + R_{i2}$ ถ้าให้ R_{i1} เท่ากับ $10K\Omega$ และ R_{i2} เป็นความต้านทานแบบปรับค่าได้เท่ากับ $100K\Omega$ ดังนั้นจะได้ R_f เท่ากับ $110K\Omega$ โดยที่ค่า R_{i2} ปรับไว้ที่จุดกึ่งกลางคือ $50K\Omega$ ดังนั้นค่า R_{i1} มีค่าเท่า

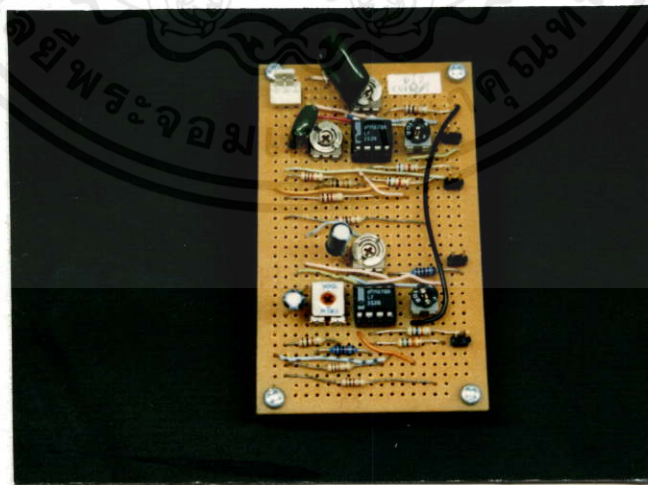
กับ $60\text{K}\Omega$ เพื่อใช้คำนวณหาค่า C_i จากสมการ (3-39) โดยใช้ค่า $R_{i1}=60\text{K}\Omega$ และ $R_{i2}=50\text{K}\Omega$ ดังนี้

$$C_i = T_{sm22} \frac{R_{i1} + R_{i2}}{R_{i1} \cdot R_{i2}} = 1.489 \mu\text{F}$$

เลือกใช้ค่า C_i เท่ากับ $1.5 \mu\text{F}$ แสดงวงจรของตัวควบคุมแบบ PI ที่มีวงจรมุมตั้งสำหรับ
 ลูปควบคุมความเร็วของระบบควบคุมแบบสองลูปดังภาพที่ 4.9 และภาพถ่ายของวงจรจริงที่
 ประกอบไปด้วยตัวควบคุมลูปกระแสและตัวควบคุมลูปความเร็ว ในแผนวงจรเดียวกันดังภาพที่
 4.10



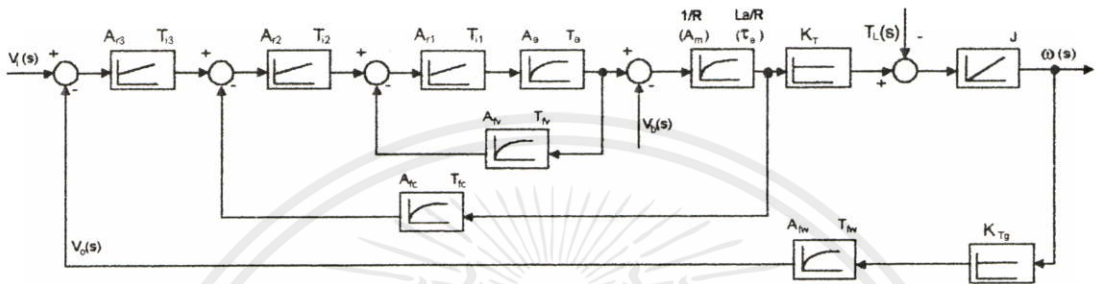
ภาพที่ 4.9 แสดงวงจรของตัวควบคุมแบบ PI ที่มีวงจรมุมตั้งสำหรับลูปควบคุมความเร็วของ
 ระบบควบคุมแบบสองลูป



เอกสารนี้เป็นเอกสารที่สงวนไว้สำหรับการใช้งานเพื่อการศึกษาเท่านั้น ไม่อนุญาตให้นำไปใช้ประโยชน์ด้านการค้า
 ไม่ว่าจะกรณีใดๆ ทั้งสิ้น อีกทั้งห้ามมิให้คัดแปลงเนื้อหา และต้องอ้างอิงถึงเจ้าของเอกสารทุกครั้งที่มีการนำไปใช้
 ภาพที่ 4.10 แสดงภาพถ่ายของวงจรจริงของตัวควบคุมในลูปกระแสและตัวควบคุมในลูปความเร็ว
 ในแผนวงจรเดียวกัน

4.2 การออกแบบระบบควบคุมความเร็วแบบสามลูปโดยใช้ตัวควบคุมแบบ PI

ระบบควบคุมความเร็วแบบสามลูปประกอบไปด้วย ลูปควบคุมความเร็วที่ใช้ตัวควบคุมแบบ PI โดยมีลูปควบคุมกระแสอยู่ภายใน โดยลูปควบคุมกระแสในตัวควบคุมแบบ PI และมีลูปควบคุมโวลต์เตจอยู่ภายใน โดยที่ลูปควบคุมโวลต์เตจในตัวควบคุมแบบ PI เช่นกัน แสดงได้ภาพที่ 4.11



ภาพที่ 4.11 แสดงระบบควบคุมความเร็วแบบสามลูปโดยใช้ตัวควบคุมแบบ PI

ลูปควบคุมโวลต์เตจประกอบด้วยตัวควบคุมแบบ PI, ไคร์ฟเวอร์ และฟิลเตอร์รองความถี่ต่ำผ่านที่มีค่าอัตราขยายสัญญาณ A_{fv} เท่ากับ 0.1 และค่าคงที่ทางเวลา T_{fv} เท่ากับ 5.6×10^{-4} วินาที ในลูปนี้ค่าคงที่ทางเวลา T_a มีค่ามากที่สุดและมีค่ามากกว่า 4 เท่าของค่าคงที่ทางเวลา T_{fv} ดังนั้นการออกแบบตัวควบคุมแบบ PI ใช้วิธีหาค่าพารามิเตอร์ของตัวควบคุมแบบ PI ต้องใช้ค่าแก้ไข k_1 และ k_2 ดังนี้

$$k_1 = 1 + \frac{T_{fv}^2}{T_a^2} = 1.0003, \quad k_2 = \frac{k_1}{(1 + T_{fv}/T_a)^3} = 0.9463$$

ค่าอัตราขยายรวมของลูป A_s มีค่าดังนี้

$$A_s = A_a \cdot A_{fv} = 0.46$$

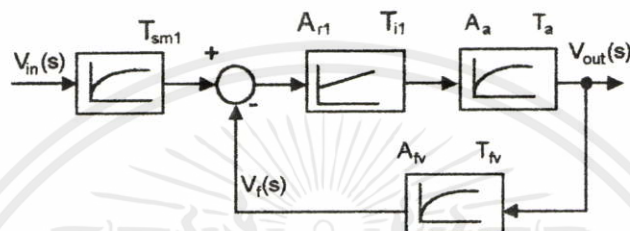
ดังนั้นจากสมการ (3-23) และ (3-24) สามารถคำนวณหาค่า T_{pi} และ A_{pi} ของตัวควบคุมแบบ PI ได้ดังนี้

ไม่ว่ากรณีใดๆ ห้ามมิให้คัดแปลงเนื้อหา และต้องอ้างอิงถึงเจ้าของเอกสารทุกครั้งที่มีการนำไปใช้

$$T_{i1} = 4T_{fv} \cdot k_2 = 2.12 \times 10^{-3} \quad \text{s}$$

$$A_{r1} = \frac{T_a}{2A_3 T_{fv}} \cdot k_1 = 58.247$$

การออกแบบด้วยวิธีซิมเมตริกคอลลอปติ่มจะเกิดโอเวอร์ชูทเมื่อตอบสนองต่อสเตปอินพุตสูง จึงต้องใช้ตัวสมูทติ่งประกอบเข้าทางด้านอินพุท โดยใช้ค่า T_{sm1} เท่ากับ T_{i1} จะได้รูปควบคุมโวลต์เตจดังภาพที่ 4.12



ภาพที่ 4.12 แสดงรูปควบคุมโวลต์เตจ

วงจรถูกควบคุมในรูปควบคุมกระแสแบบ PI ได้จากภาพที่ 3.17 โดยกำหนดให้ค่าอุปกรณ์ต่างๆ มีค่าต่างๆ ได้แก่ $R_f = 10\text{K}\Omega$, R_q ส่วนปรับค่าได้หรือ $R_{q1} = 1\text{K}\Omega$, R_q ส่วนคงที่หรือ $R_{q2} = 100\ \Omega$ และให้ค่า $\alpha = 0.5$ ดังนั้นจากสมการ (3-29) จะได้ค่า K_α ดังนี้

$$K_\alpha = 1 + (0.5 - 0.5^2) \cdot \frac{1 \times 10^3}{10 \times 10^3} = 1.025$$

จากค่า A_{r1} จะได้ค่า R_0 จากสมการ (3-27) ดังนี้

$$R_0 = \frac{R_f}{A_{r1}} \cdot \frac{1}{\alpha} \cdot K_\alpha = 351.95\ \Omega$$

เลือกใช้ $R_0 = 360\ \Omega$ และค่า R_q สามารถปรับได้ตั้งแต่ $100\ \Omega$ จนถึง $1.1\text{K}\Omega$ หรือค่า α สามารถปรับเปลี่ยนค่าได้ตั้งแต่ประมาณ 0.1 จนถึง 0.9 โดยใช้สมการ (3-27) จะได้ตัวควบคุมแบบ PI ที่สามารถปรับเปลี่ยนค่า A_{r1} ได้ระหว่าง 284.7 และ 31.6

ส่วนค่า C_f ในวงจรถูกควบคุม (3-28) โดยให้ $\beta = 0.5$, R_p ส่วนปรับค่าได้หรือ $R_{p1} = 100\ \text{K}\Omega$, R_p ส่วนคงที่หรือ $R_{p2} = 1\text{K}\Omega$ ดังนั้นจะได้ค่า C_f ดังนี้

$$C_f = T_{i1} \cdot \frac{R_f + (\beta R_p)}{R_f \beta R_p} \cdot \frac{1}{K_\alpha} = 0.248\ \mu\text{F}$$

เอกสารนี้เป็นเอกสารที่สงวนลิขสิทธิ์ไว้เพื่อการศึกษาเท่านั้น ไม่อนุญาตให้นำไปใช้ประโยชน์ด้านการค้า

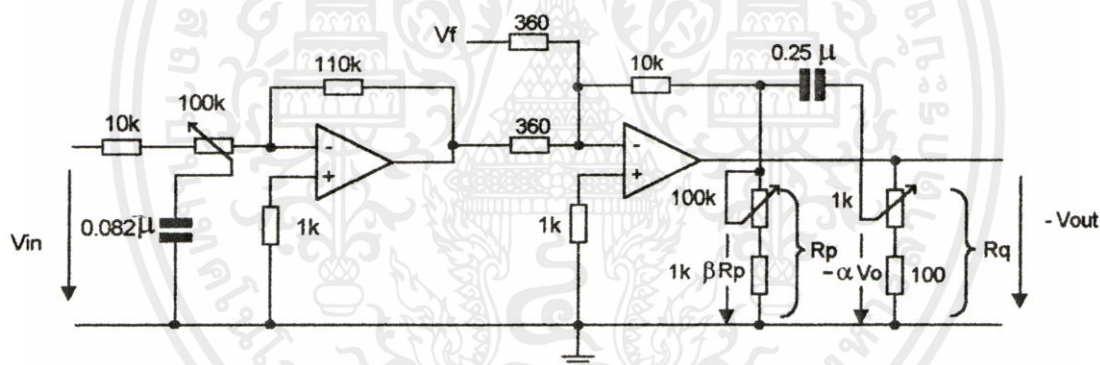
ไม่ว่ากรณีใดๆทั้งสิ้น อีกทั้งห้ามมิให้คัดแปลงเนื้อหาและต้องอ้างอิงถึงเจ้าของเอกสารทุกครั้งที่มีการนำไปใช้

เลือกใช้ $C_f = 0.25\mu\text{F}$ และค่า R_p สามารถปรับได้ตั้งแต่ $1\text{K}\Omega$ จนถึง $101\text{K}\Omega$ หรือค่า β สามารถปรับเปลี่ยนค่าได้ตั้งแต่ประมาณ 0.1 จนถึง 0.9 โดยใช้สมการ (3-28) จะได้ตัวควบคุมแบบ PI ที่สามารถปรับเปลี่ยนค่า T_{i1} ได้ระหว่าง 1.29×10^{-3} จนถึง 2.31×10^{-3} วินาที

วงจรสมูทติงจากภาพที่ 3.19 สามารถคำนวณหาค่าอุปกรณ์ต่างๆ ได้โดยอาศัยสมการ (3-38) เพื่อกำหนดค่าอัตราขยายสัญญาณของวงจรสมูทติง A_r โดยให้เท่ากับ 1 เมื่อให้ค่า R_f เท่ากับ $R_{i1} + R_{i2}$ ถ้าให้ R_{i1} เท่ากับ $10\text{K}\Omega$ และ R_{i2} เป็นความต้านทานแบบปรับค่าได้เท่ากับ $100\text{K}\Omega$ ดังนั้นจะได้ R_f เท่ากับ $110\text{K}\Omega$ โดยที่ค่า R_{i2} ปรับไว้ที่จุดกึ่งกลางคือ $50\text{K}\Omega$ ดังนั้นค่า R_{i1} มีค่าเท่ากับ $60\text{K}\Omega$ เพื่อใช้คำนวณหาค่า C_i จากสมการ (3-39) โดยใช้ค่า $R_{i1} = 60\text{K}\Omega$ และ $R_{i2} = 50\text{K}\Omega$ ดังนี้

$$C_i = T_{sm1} \cdot \frac{R_{i1} + R_{i2}}{R_{i1} \cdot R_{i2}} = 0.077\mu\text{F}$$

เลือกใช้ค่า C_i เท่ากับ $0.082\mu\text{F}$ แสดงวงจรของตัวควบคุมแบบ PI ที่มีวงจรสมูทติงสำหรับลดควบคุมโวลต์เตจของระบบควบคุมแบบสามลูป ดังภาพที่ 4.13

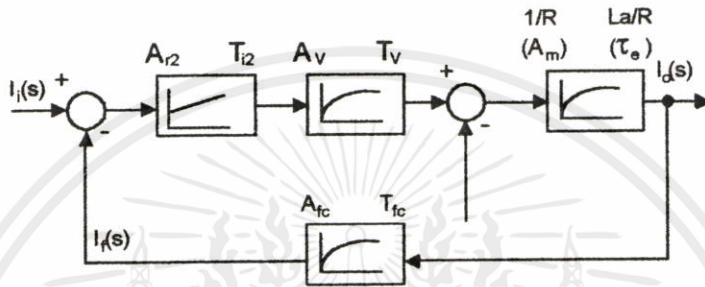


ภาพที่ 4.13 แสดงวงจรของตัวควบคุมแบบ PI ที่มีวงจรสมูทติงสำหรับลดควบคุมโวลต์เตจของระบบควบคุมแบบสามลูป

ลดควบคุมโวลต์เตจสามารถประมาณให้เป็นตัวหน่วงเวลาอันดับหนึ่งได้ โดยอาศัยค่าจากตารางที่ 3.1 โดยมีค่าเท่ากับ $4T_{fv} \cdot k_3$ เมื่อ $k_3 = \frac{1}{(1 + T_{fv}/T_a)} = 0.982$ ดังนั้นจะได้ค่าคงที่ทางเวลา T_v เมื่อประมาณลดควบคุมกระแสเป็นตัวหน่วงเวลาอันดับหนึ่งดังนี้

เอกสารนี้เป็นเอกสารที่สงวนไว้สำหรับการใช้งานเพื่อการศึกษเท่านั้น ไม่อนุญาตให้นำไปใช้ประโยชน์ด้านการค้า
 $T_v = 4 \times 5.6 \times 10^{-3} \times k_3 = 2.2 \times 10^{-2}$ s
 ไม่ว่าจะผิดใจทั้งสิ้น อีกทั้งห้ามมิให้คัดแปลงเนื้อหา และต้องอ้างอิงถึงเจ้าของเอกสารทุกครั้งที่มีการนำไปใช้

จากภาพที่ 4.12 เป็นการประมาณที่อยู่ในความสัมพันธ์ระหว่าง $V_{in}(s)$ และ $V_f(s)$ แต่ในการใช้งานในรูปถัดไปจะต้องใช้งานการประมาณให้อยู่ในความสัมพันธ์ระหว่าง $V_{in}(s)$ และ $V_{out}(s)$ โดยการประมาณกลับจากค่าอัตราขยายของฟิลเตอร์คือ 0.1 ซึ่งจะได้ค่าอัตราขยาย A_V ของลูปควบคุมโวลต์เตจมีค่าประมาณ 10 โดยที่ค่าคงที่ทางเวลาของฟิลเตอร์ถือว่าน้อยมาก ดังนั้นค่าคงที่ทางเวลาของลูปควบคุมโวลต์เตจมีค่าเท่ากับ T_V โดยแสดงลูปควบคุมกระแสที่มีลูปควบคุมโวลต์เตจที่ได้จากการประมาณเป็นตัวหน่วงเวลาอันดับหนึ่งได้ดังภาพที่ 4.14



ภาพที่ 4.14 แสดงลูปควบคุมกระแสที่มีลูปควบคุมโวลต์เตจอยู่ภายใน

ดังนั้นลูปควบคุมกระแสจึงประกอบไปด้วย ตัวควบคุมแบบ PI, ลูปควบคุมโวลต์เตจ, ส่วนทางไฟฟ้าของดีซีมอเตอร์ และฟิลเตอร์กรองความถี่ต่ำผ่าน โดยที่ค่าคงที่ทางเวลา T_V มีค่ามากที่สุด และค่าคงที่ทางเวลารวมขนาดเล็กที่เหลือ T_e มีค่าดังนี้

$$T_e = T_e + T_{fc} = 1.816 \times 10^{-3} \text{ s}$$

และค่าอัตราขยายสัญญาณโดยรวมของระบบควบคุมกระแส A_s มีค่าดังนี้

$$A_s = A_v \cdot A_m \cdot A_{fc} = 1.6$$

ค่าของ T_V มีค่ามากกว่า T_s ไม่เกิน 4 เท่า ดังนั้นการออกแบบตัวควบคุมแบบ PI เพื่อควบคุมในลูปควบคุมกระแสจะใช้การออกแบบด้วยวิธีโมดูลัสออฟดิมมิ่ง ซึ่งให้ค่า T_{i2} เท่ากับ T_V เพื่อชดเชยตัวหน่วงเวลาอันดับหนึ่งขนาดใหญ่ และหาค่า A_{r2} จากสมการ (3-15) ตามลำดับดังนี้

เอกสารนี้เป็นเอกสารที่สงวนไว้สำหรับการใช้งานเพื่อการศึกษาเท่านั้น ไม่อนุญาตให้นำไปใช้ประโยชน์ด้านการค้า

ไม่ว่ากรณีใดๆทั้งสิ้น อีกทั้งห้ามมิให้คัดแปลงเนื้อหา และต้องอ้างอิงถึงเจ้าของเอกสารทุกครั้งที่มีการนำไปใช้

$$T_{i2} = T_V = 2.2 \times 10^{-3} \text{ s}$$

$$A_{r2} = \frac{T_V}{2A_s T_s} = 0.38$$

วงจรของตัวควบคุมแบบ PI ได้จากภาพที่ 3.17 โดยกำหนดให้ค่าอุปกรณ์ต่างๆ มีค่า ได้แก่ $R_f = 10K\Omega$, R_q ส่วนปรับค่าได้หรือ $R_{q1} = 1K\Omega$, R_q ส่วนคงที่หรือ $R_{q2} = 100 \Omega$ และให้ค่า $\alpha = 0.5$ ดังนั้นจากสมการ (3-29) จะได้ค่า K_α ดังนี้

$$K_\alpha = 1 + (0.5 - 0.5^2) \cdot \frac{1 \times 10^3}{10 \times 10^3} = 1.025$$

จากค่า A_{r2} จะได้ค่า R_0 จากสมการ (3-27) ดังนี้

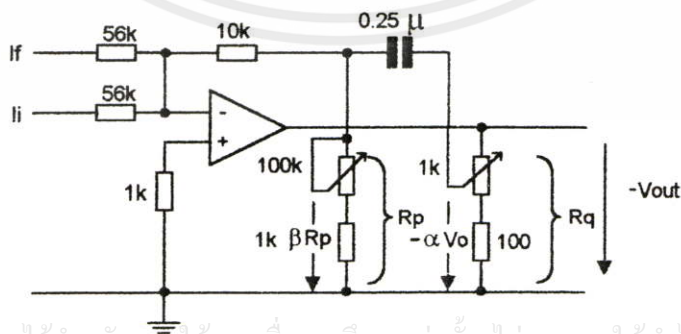
$$R_0 = \frac{R_f}{A_{r2}} \cdot \frac{1}{\alpha} \cdot K_\alpha = 53.95K\Omega$$

เลือกใช้ $R_0 = 56K\Omega$ และค่า R_q สามารถปรับได้ตั้งแต่ 100Ω จนถึง $1.1K\Omega$ หรือค่า α สามารถปรับเปลี่ยนค่าได้ตั้งแต่ประมาณ 0.1 จนถึง 0.9 โดยใช้สมการ (3-27) จะได้ตัวควบคุมแบบ PI ที่สามารถปรับเปลี่ยนค่า A_{r2} ได้ระหว่าง 1.83 และ 0.2

ส่วนค่า C_f ในวงจรใช้สมการ (3-28) โดยให้ $\beta=0.5$, R_p ส่วนปรับค่าได้หรือ $R_{p1} = 100 K\Omega$, R_p ส่วนคงที่หรือ $R_{p2} = 1K\Omega$ ดังนั้นจะได้ค่า C_f ดังนี้

$$C_f = T_{i2} \cdot \frac{R_f + (\beta R_p)}{R_f \beta R_p} \cdot \frac{1}{K_\alpha} = 0.257\mu F$$

เลือกใช้ $C_f = 0.25\mu F$ และค่า R_p สามารถปรับได้ตั้งแต่ $1K\Omega$ จนถึง $101K\Omega$ หรือค่า β สามารถปรับเปลี่ยนค่าได้ตั้งแต่ประมาณ 0.1 จนถึง 0.9 โดยใช้สมการ (3-28) จะได้ตัวควบคุมแบบ PI ที่สามารถปรับเปลี่ยนค่า T_{i2} ได้ระหว่าง 1.29×10^{-3} จนถึง 2.31×10^{-3} วินาที แสดงวงจรของตัวควบคุมแบบ PI สำหรับลู่วควบคุมกระแสของระบบควบคุมแบบสามลูป ดังภาพที่ 4.15

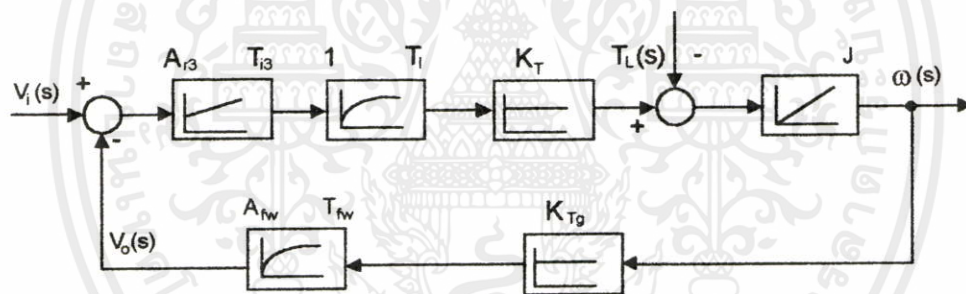


เอกสารนี้เป็นเอกสารที่สงวนไว้สำหรับการศึกษาเท่านั้น ไม่อนุญาตให้นำไปใช้ประโยชน์ด้านการค้า
ภาพที่ 4.15 แสดงวงจรของตัวควบคุมแบบ PI สำหรับลู่วควบคุมกระแสของระบบควบคุมแบบ
สามลูป

รูปควบคุมกระแสสามารถประมาณให้เป็นตัวหน่วงเวลาอันดับหนึ่งได้ โดยอาศัยค่าจากตารางที่ 3.1 โดยมีค่าเท่ากับ $2T_c$ ดังนั้นจะได้ค่าคงที่ทางเวลา T_I เมื่อประมาณรูปควบคุมกระแสเป็นตัวหน่วงเวลาอันดับหนึ่งดังนี้

$$T_I = 2 \times 1.816 \times 10^{-3} = 3.632 \times 10^{-3} \quad \text{s}$$

จากภาพที่ 4.14 ตัวหน่วงเวลาอันดับหนึ่งที่ได้มีทรานสเฟอร์ฟังก์ชันที่เป็นความสัมพันธ์ระหว่าง $I_r(s)$ และ $I_c(s)$ แต่ในการใช้งานกับรูปควบคุมความเร็วที่เป็นรูปนอกจะต้องใช้ทรานสเฟอร์ฟังก์ชันในรูปของความสัมพันธ์ระหว่าง $I_o(s)$ และ $I_c(s)$ จะต้องพิจารณาฟิลเตอร์ให้อยู่ในส่วนของการป้อนกลับ แต่ค่าอัตราขยายสัญญาณ A_{fc} เป็น 1 และค่าคงที่ทางเวลา T_{fc} มีค่าน้อยเมื่อเปรียบเทียบกับค่า T_I ที่ได้ ดังนั้นจึงใช้ค่า T_I เป็นค่าคงที่ทางเวลาจากการประมาณเป็นตัวหน่วงเวลาอันดับหนึ่ง และมีค่าอัตราขยายสัญญาณเท่ากับ 1 สำหรับรูปควบคุมกระแส ดังนั้นจะได้รูปควบคุมความเร็วดังภาพที่ 4.16



ภาพที่ 4.16 แสดงระบบควบคุมความเร็วที่มีรูปควบคุมกระแสและโวลต์เดจอยู่ภายใน

ระบบควบคุมความเร็วในภาพที่ 4.16 มีตัวอินทิเกรเตอร์เป็นส่วนประกอบ ดังนั้นการออกแบบตัวควบคุมแบบ PI จึงใช้การออกแบบด้วยวิธีหาค่าพหุนามลักษณะเฉพาะ โดยที่ผลรวมของตัวหน่วงเวลาอันดับหนึ่งขนาดเล็ก T_c มีค่าดังนี้

$$T_c = T_I + T_{fw} = 6.932 \times 10^{-3} \quad \text{s}$$

และค่าอัตราขยายสัญญาณโดยรวมของระบบ A_s มีค่าดังนี้

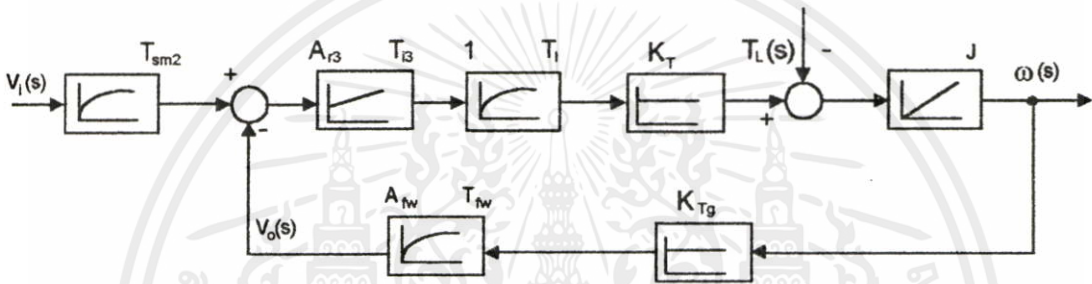
$$A_s = K_T \cdot K_{Tg} \cdot A_{fw} = 7.49 \times 10^{-4}$$

จากสมการ (3-19) และ (3-20) สามารถหาค่า T_{i3} และ A_{r3} ของตัวควบคุมแบบ PI ได้ดังนี้

$$T_{i3} = 4T_s = 27.73 \times 10^{-3} \quad \text{s}$$

$$A_{r3} = \frac{J}{2A_s T_s} = 3.091$$

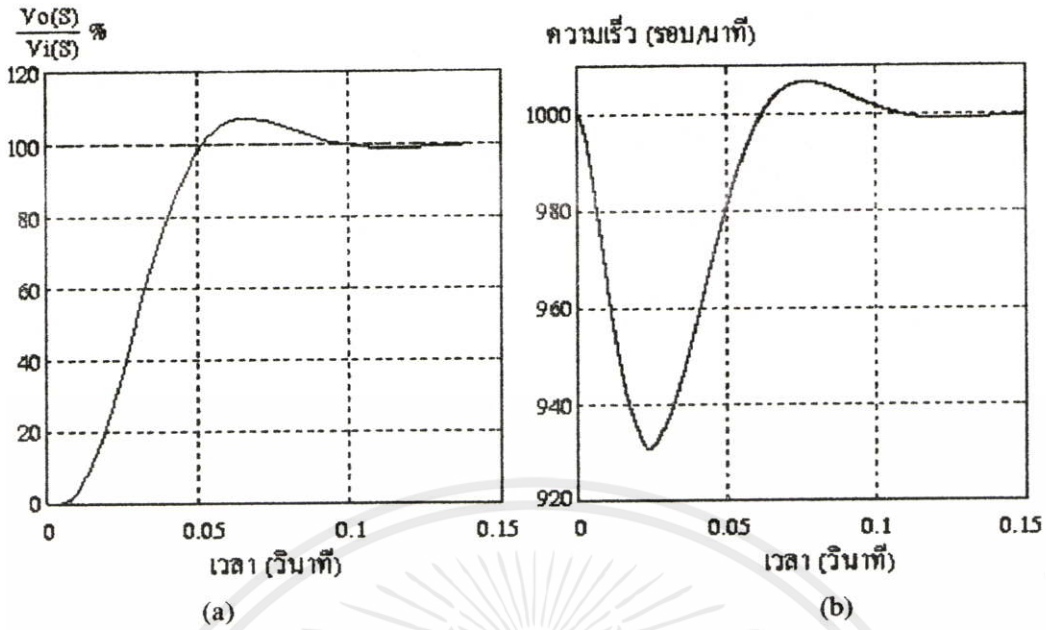
ระบบออกแบบด้วยวิธีขิมเมตริกคอลลอปติမ် ดังนั้นต้องเพิ่มตัวสมูทติงเพื่อลดโอเวอร์ชูท จากสมการ (3-26) จะได้ค่าคงที่ทางเวลา T_{sm2} ของวงจรมูทติงเท่ากับ T_{i3} ดังนั้นจะได้ระบบควบคุมความเร็วทั้งหมดดังภาพที่ 4.17



ภาพที่ 4.17 แสดงระบบควบคุมความเร็วแบบสามลูบที่มีวงจรมูทติง

จำลองระบบควบคุมทั้งหมดที่ได้ด้วยโปรแกรมคอมพิวเตอร์ โดยพิจารณาจากการตอบสนองต่อสเตปอินพุทและสเตปโหลด 100% ของพิกัดโหลด แสดงดังภาพที่ 4.18 a และ b ตามลำดับ

เอกสารนี้เป็นเอกสารที่สงวนไว้สำหรับการใช้งานเพื่อการศึกษาเท่านั้น ไม่อนุญาตให้นำไปใช้ประโยชน์ด้านการค้า ไม่ว่าจะกรณีใดๆทั้งสิ้น อีกทั้งห้ามมิให้คัดแปลงเนื้อหา และต้องอ้างอิงถึงเจ้าของเอกสารทุกครั้งที่มีการนำไปใช้



ภาพที่ 4.18 แสดงการตอบสนองของระบบควบคุมแบบสามลูปต่อสเตปอินพุท (a) และ สเตปโพลด (b)

จากการจำลองระบบด้วยโปรแกรมคอมพิวเตอร์ ในกรณีการตอบสนองต่อสเตปอินพุท ระบบใช้เวลาเข้าสู่สภาวะคงตัวประมาณ 92 มิลลิวินาที และมีโอเวอร์ชูทประมาณ 8.1% ส่วนในกรณีการตอบสนองต่อสเตปโพลดใช้เวลาเข้าสู่สภาวะคงตัวประมาณ 95 มิลลิวินาที มีโอเวอร์ชูทประมาณ 70 รอบ/นาที

วงจรถอดตัวควบคุมแบบ PI ได้จากภาพที่ 3.17 โดยกำหนดให้ค่าอุปกรณ์ต่างๆ ได้แก่ $R_f = 10K\Omega$, R_q ส่วนปรับค่าได้หรือ $R_{q1} = 1K\Omega$, R_q ส่วนคงที่หรือ $R_{q2} = 100\Omega$ และให้ค่า $\alpha = 0.5$ ดังนั้นจากสมการ (3-29) จะได้ค่า K_α ดังนี้

$$K_\alpha = 1 + (0.5 - 0.5^2) \cdot \frac{1 \times 10^3}{10 \times 10^3} = 1.025$$

จากค่า A_{r3} จะได้ค่า R_0 จากสมการ (3-27) ดังนี้

$$R_0 = \frac{R_f}{A_{r3}} \cdot \frac{1}{\alpha} \cdot K_\alpha = 6.632K\Omega$$

เอกสารนี้เป็นเอกสารที่สงวนไว้สำหรับการใช้งานเพื่อการศึกษาเท่านั้น ไม่อนุญาตให้นำไปใช้ประโยชน์ด้านการค้า
เลือกใช้ $R_0 = 6.8K\Omega$ และค่า R_q สามารถปรับได้ตั้งแต่ 100Ω จนถึง $1.1K\Omega$ หรือค่า α
ไม่ว่ากรณีใดๆทั้งสิ้น ซึ่งทั้งสามมีผลต่อเสถียรภาพและต้องอ้างอิงถึงเจ้าของเอกสารทุกครั้งหากมีการนำไปใช้
สามารถปรับเปลี่ยนค่าได้ตั้งแต่ประมาณ 0.1 จนถึง 0.9 โดยใช้สมการ (3-27) จะได้ตัวควบคุม

แบบ PI ที่สามารถปรับเปลี่ยนค่า A_{v3} ได้ระหว่าง 15.1 และ 1.7

ส่วนค่า C_f ในวงจรใช้สมการ (3-28) โดยให้ $\beta=0.5$, R_p ส่วนปรับค่าได้หรือ $R_{p1} = 100 \text{ K}\Omega$, R_p ส่วนคงที่หรือ $R_{p2} = 1 \text{ K}\Omega$ ดังนั้นจะได้ค่า C_f ดังนี้

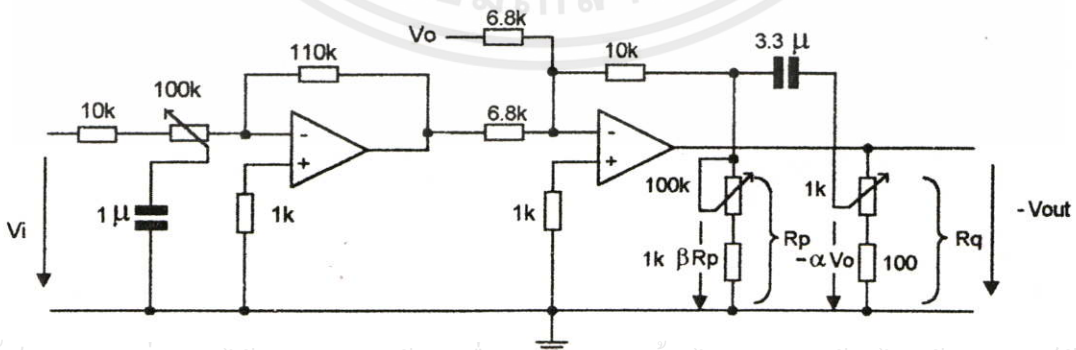
$$C_f = T_{i3} \cdot \frac{R_f + (\beta R_p)}{R_f \beta R_p} \cdot \frac{1}{K_\alpha} = 3.24 \mu\text{F}$$

เลือกใช้ $C_f = 3.3 \mu\text{F}$ และค่า R_p สามารถปรับได้ตั้งแต่ $1 \text{ K}\Omega$ จนถึง $101 \text{ K}\Omega$ หรือค่า β สามารถปรับเปลี่ยนค่าได้ตั้งแต่ประมาณ 0.1 จนถึง 0.9 โดยใช้สมการ (3-28) จะได้ตัวควบคุมแบบ PI ที่สามารถปรับเปลี่ยนค่า T_{i3} ได้ระหว่าง 17×10^{-3} จนถึง 30.5×10^{-3} วินาที

วงจรสมูทติงจากภาพที่ 3.19 สามารถคำนวณหาค่าอุปกรณ์ต่างๆ ได้โดยอาศัยสมการ (3-38) เพื่อกำหนดค่าอัตราขยายสัญญาณของวงจรสมูทติง A_r โดยให้เท่ากับ 1 ดังนั้นจะได้ค่า R_f เท่ากับ $R_{i1} + R_{i2}$ ถ้าให้ R_{i1} เท่ากับ $10 \text{ K}\Omega$ และ R_{i2} เป็นความต้านทานแบบปรับค่าได้เท่ากับ $100 \text{ K}\Omega$ ดังนั้นจะได้ R_f เท่ากับ $110 \text{ K}\Omega$ โดยที่ค่า R_{i2} ปรับไว้ที่จุดกึ่งกลางคือ $50 \text{ K}\Omega$ ดังนั้นค่า R_{i1} มีค่าเท่ากับ $60 \text{ K}\Omega$ เพื่อใช้คำนวณหาค่า C_i จากสมการ (3-39) โดยใช้ค่า $R_{i1} = 60 \text{ K}\Omega$ และ $R_{i2} = 50 \text{ K}\Omega$ ดังนี้

$$C_i = T_{sm2} \cdot \frac{R_{i1} + R_{i2}}{R_{i1} \cdot R_{i2}} = 1.02 \mu\text{F}$$

เลือกใช้ค่า C_i เท่ากับ $1 \mu\text{F}$ แสดงวงจรของตัวควบคุมแบบ PI ที่มีวงจรสมูทติงสำหรับลูปควบคุมความเร็วของระบบควบคุมแบบสามลูปดังภาพที่ 4.19 และภาพถ่ายของวงจรจริงที่ประกอบไปด้วยตัวควบคุมลูปโวลต์เตจ, ลูปกระแสและลูปความเร็ว ดังภาพที่ 4.20

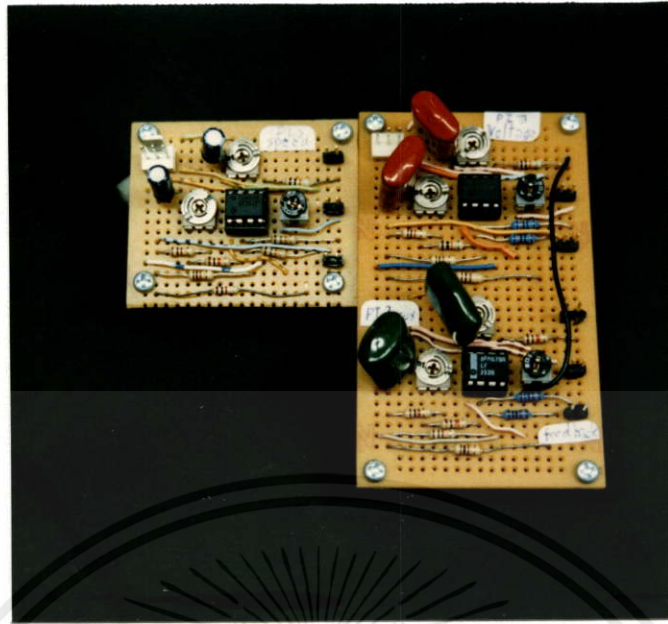


เอกสารนี้เป็นเอกสารที่สงวนไว้สำหรับการใช้งานเพื่อการศึกษาเท่านั้น ไม่อนุญาตให้นำไปใช้ประโยชน์ด้านการค้า

ไม่ว่ากรณีใดๆ ทั้งสิ้น ถือทั้งฉบับนี้ให้อัดแปลงได้หากไม่ละเมิดลิขสิทธิ์ และขอเอกสารทุกครั้งที่มีแนวโน้มไปใช้

ภาพที่ 4.19 แสดงวงจรของตัวควบคุมแบบ PI ที่มีวงจรสมูทติงสำหรับลูปควบคุมความเร็วของ

ระบบควบคุมแบบสามลูป

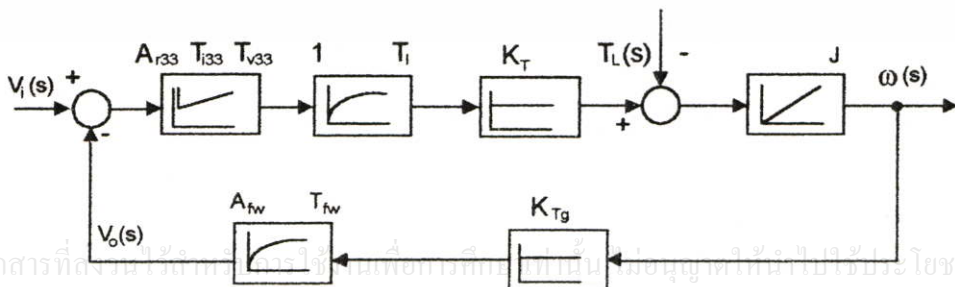


ภาพที่ 4.20 แสดงภาพถ่ายของวงจรจริงของตัวควบคุมในรูปโวลต์เตจ, ลูปกระแสและลูปความเร็ว

4.3 การออกแบบระบบควบคุมความเร็วแบบสามลูปโดยใช้ตัวควบคุมแบบ PID ที่ลูปความเร็ว

ระบบควบคุมความเร็วคือซีมอเตอร์แบบสามลูป ประกอบไปด้วยลูปควบคุมโวลต์เตจและลูปควบคุมกระแสที่ใช้ตัวควบคุมแบบ PI ซึ่งอยู่ในลักษณะเดียวกันกับระบบที่กล่าวถึงในหัวข้อ 4.2 ซึ่งการประมาณลูปควบคุมกระแสที่มีลูปควบคุมโวลต์เตจอยู่ภายในนั้นจะเหมือนกัน เพียงแต่ตัวควบคุมของลูปนอกสุดซึ่งเป็นลูปควบคุมความเร็วนั้นจะใช้ตัวควบคุมแบบ PID ดังนั้นระบบจึงเหมือนกับภาพที่ 4.8 แต่ตัวควบคุมในลูปควบคุมความเร็วจะใช้ตัวควบคุมแบบ PID แทน

การประมาณลูปควบคุมให้เป็นตัวแทนเวลาอันดับหนึ่งของลูปควบคุมกระแสที่มีลูปควบคุมโวลต์เตจอยู่ภายในตามหัวข้อ 4.2 นั้น สามารถนำมาใช้กับระบบควบคุมความเร็วที่ใช้ตัวควบคุมแบบ PID ได้ดังภาพที่ 4.21



ภาพที่ 4.21 แสดงระบบควบคุมความเร็วแบบสามลูปโดยใช้ตัวควบคุมแบบ PID ที่ลูปควบคุมความเร็ว

ระบบในภาพที่ 4.21 มีตัวอินทิเกรเตอร์เป็นส่วนประกอบ ดังนั้นการออกแบบตัวควบคุมแบบ PID ใช้วิธีหามเมตริกคอลลอปติมัม โดยให้ค่าคงที่ทางเวลาในการดิฟเฟอเรนเชียลสัญญาณ T_{v33} มีค่าเท่ากับค่าคงที่ทางเวลาของตัวหน่วงเวลาอันดับหนึ่งที่มีค่ามากที่สุดคือ T_I และหาค่า T_{i33} และ A_{r33} จากสมการ (3-19) และ (3-20) ตามลำดับ ดังนี้

$$T_{i33} = 4T_{fw} = 13.2 \times 10^{-3} \quad \text{s}$$

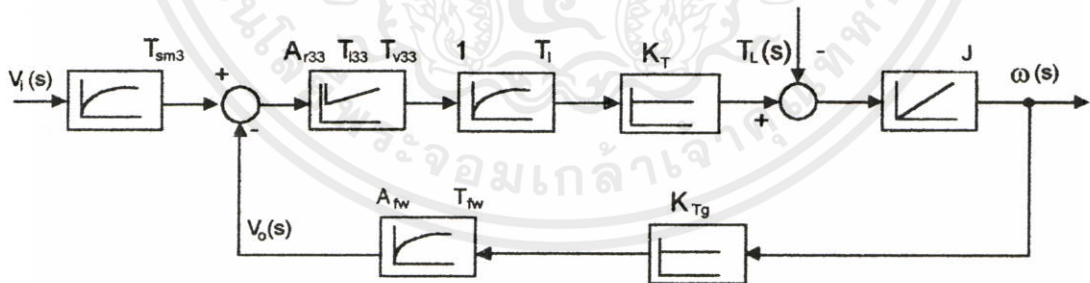
และค่าอัตราขยายสัญญาณโดยรวมของระบบ A_s มีค่าดังนี้

$$A_s = K_T \cdot K_{Tg} \cdot A_{fw} = 7.49 \times 10^{-4}$$

ดังนั้นค่า A_{r33} มีค่าดังนี้

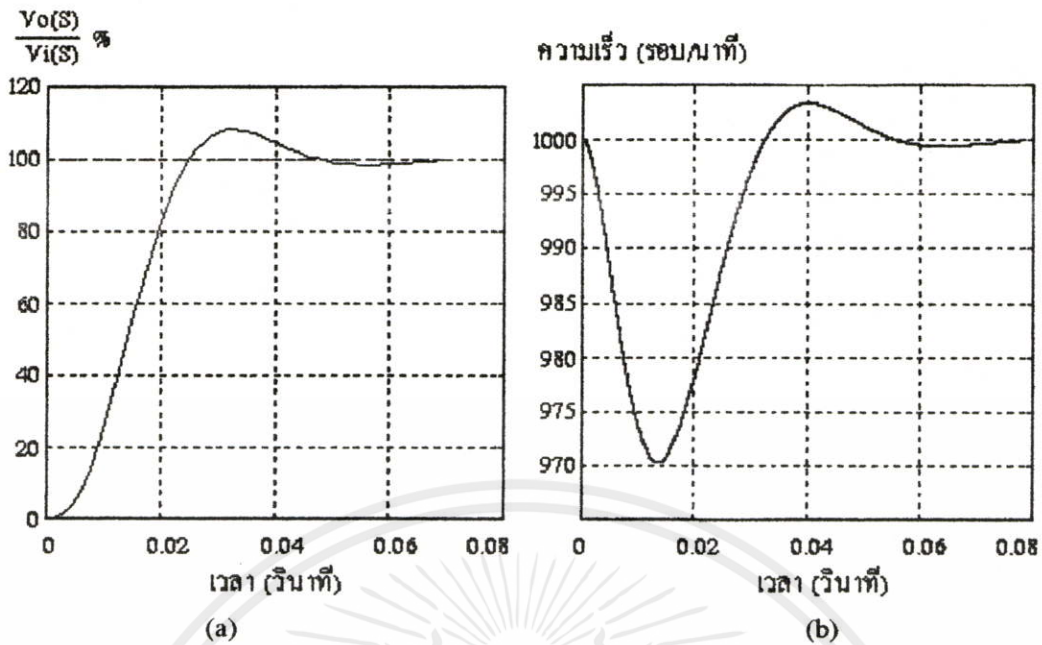
$$A_{r33} = \frac{J}{2A_s T_{fw}} = 6.49$$

ระบบออกแบบด้วยวิธีหามเมตริกคอลลอปติมัม ดังนั้นต้องเพิ่มตัวสมูทติงเพื่อลดโอเวอร์ชูท จากสมการ (3-26) จะได้ค่าคงที่ทางเวลา T_{sm3} ของวงจรมูทติงเท่ากับ T_{i33} ดังนั้นจะได้ระบบควบคุมความเร็วทั้งหมดดังภาพที่ 4.22



ภาพที่ 4.22 แสดงระบบควบคุมความเร็วแบบสามลูบที่มีตัวสมูทติงโดยใช้ตัวควบคุมแบบ PID ที่ลูบควบคุมความเร็ว

เอกสารนี้เป็นเอกสารที่สงวนไว้สำหรับใช้ภายในเท่านั้น ไม่อนุญาตให้นำไปใช้ประโยชน์ด้านการค้า
ไม่ว่าการตีพิมพ์ซ้ำ การนำขึ้นเป็นต้นแบบและสิ่งอื่น ๆ ซึ่งจะทำให้เอกสารนี้หลุดออกจากรั้วที่เอวราบไป
สนองต่อส tep อินพุต และส tep โหลด 100% ของที่กักโหลด แสดงดังภาพที่ 4.23 a และ b ตาม
ลำดับ



ภาพที่ 4.23 แสดงการตอบสนองของระบบควบคุมแบบสามลูปโดยใช้ตัวควบคุมแบบ PID ที่ลูปควบคุมความเร็วต่อสเตปอินพุต (a) และสเตปโหลด (b)

จากการจำลองระบบด้วยโปรแกรมคอมพิวเตอร์ ในกรณีการตอบสนองต่อสเตปอินพุต ระบบใช้เวลาเข้าสู่สภาวะคงตัวประมาณ 44 มิลลิวินาที และมีโอเวอร์ชูทประมาณ 8.1% ส่วนในกรณีการตอบสนองต่อสเตปโหลดใช้เวลาเข้าสู่สภาวะคงตัวประมาณ 48 มิลลิวินาที มีโอเวอร์ชูทประมาณ 30 รอบ/นาที

วงจรของตัวควบคุมแบบ PID ได้จากภาพที่ 3.18 โดยกำหนดให้อุปกรณ์ต่างๆ มีค่าได้แก่ $R_{\pi} = 10\text{K}\Omega$, R_q ส่วนปรับค่าได้หรือ $R_{q1} = 1\text{K}\Omega$, R_q ส่วนคงที่หรือ $R_{q2} = 100\ \Omega$ และให้ค่า $\alpha = 0.5$ ดังนั้นจากสมการ (3-29) จะได้ค่า K_{α} ดังนี้

$$K_{\alpha} = 1 + (0.5 - 0.5^2) \cdot \frac{1 \times 10^3}{10 \times 10^3} = 1.025$$

จากค่า A_{r33} จะได้ค่า R_0 จากสมการ (3-30) ดังนี้

$$R_0 = \frac{R_{\pi}}{A_{r33}} \cdot \frac{1}{\alpha} \cdot K_{\alpha} = 3.159\text{K}\Omega$$

เอกสารนี้เป็นเอกสารที่สงวนไว้สำหรับการใช้งานเพื่อการศึกษาเท่านั้น ไม่อนุญาตให้นำไปใช้ประโยชน์ด้านการค้า ไม่ว่าจะกรณีใดๆ ที่เลือกใช้ $R_0 = 3\text{K}\Omega$ และค่า R_q สามารถปรับได้ตั้งแต่ $100\ \Omega$ จนถึง $1\text{K}\Omega$ หรือค่า α สามารถปรับเปลี่ยนค่าได้ตั้งแต่ประมาณ 0.1 จนถึง 0.9 โดยใช้สมการ (3-27) จะได้ตัวควบคุม

แบบ PID ที่สามารถปรับเปลี่ยนค่า A_{v33} ได้ระหว่าง 34.2 และ 3.8

คำนวณหาค่า C_f ได้จากสมการ (3-31) โดยให้ $\beta = 0.5$ และ R_m ส่วนปรับค่าได้หรือ $R_{m1} = 100K\Omega$ และ R_m ส่วนคงที่หรือ $R_{m2} = 1K\Omega$ ดังนั้น

$$C_f = \frac{T_{i33}}{\beta R_m} = 0.26\mu F$$

เลือกใช้ $C_f = 0.22 \mu F$ และค่า R_m สามารถปรับได้ตั้งแต่ $1K\Omega$ จนถึง $101K\Omega$ หรือค่า β สามารถปรับเปลี่ยนค่าได้ตั้งแต่ประมาณ 0.1 จนถึง 0.9 โดยใช้สมการ (3-35) จะได้ตัวควบคุมแบบ PID ที่สามารถปรับเปลี่ยนค่า T_{i33} ได้ระหว่าง 2.22×10^{-3} จนถึง 19.9×10^{-3} วินาที

หาความสัมพันธ์ระหว่าง T_d และ T_{v33} จากสมการ (3-36) โดยให้ $\varepsilon = 0.01$ ถ้ากำหนดให้ $R_3 = 101K\Omega$ ดังนั้น $\varepsilon R_3 = 1K\Omega$ และ $(1-\varepsilon)R_3 = 100K\Omega$

หาค่า C_m จากสมการ (3-32) โดยให้ R_{12} ส่วนคงที่หรือ $R_{121} = 1K\Omega$ และ R_{12} ส่วนปรับค่าได้หรือ $R_{122} = 10K\Omega$, $\gamma = 0.5$, $R_3 = 101K\Omega$ ดังนั้นจะได้ค่า C_m ดังนี้

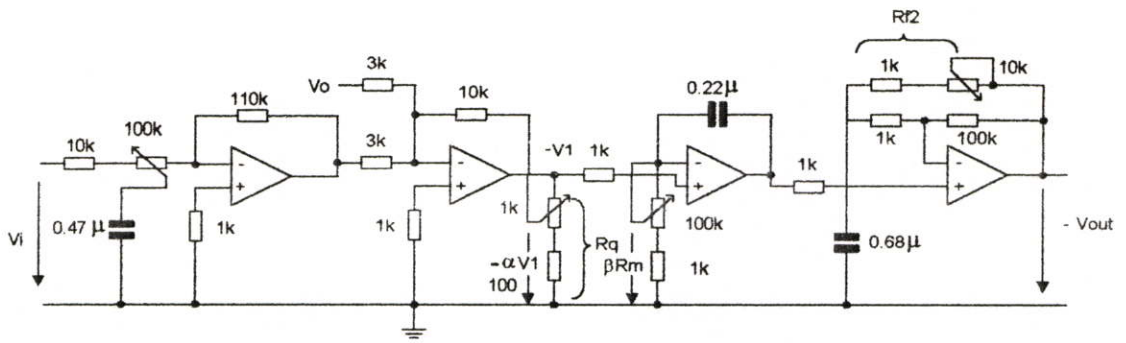
$$C_m = T_{v33} \cdot \frac{(\gamma R_{12}) + R_3}{\gamma R_{12} R_3} = 0.696\mu F$$

เลือกใช้ $C_m = 0.68 \mu F$ และค่า R_{12} สามารถปรับได้ตั้งแต่ $1K\Omega$ จนถึง $10K\Omega$ หรือค่า γ สามารถปรับเปลี่ยนค่าได้ตั้งแต่ประมาณ 0.1 จนถึง 0.9 โดยใช้สมการ (3-32) จะได้ตัวควบคุมแบบ PID ที่สามารถปรับเปลี่ยนค่า T_{v33} ได้ระหว่าง 0.74×10^{-3} จนถึง 6.13×10^{-3} วินาที

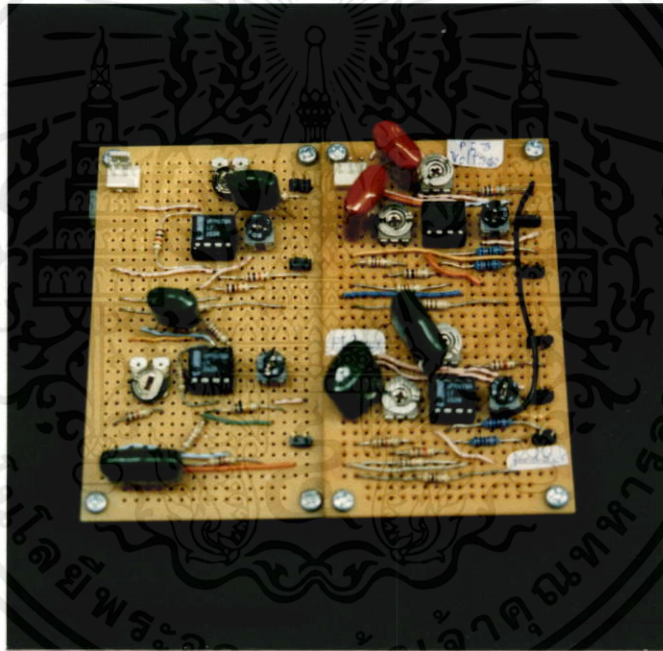
วงจรมูตติ้งจากภาพที่ 3.17 สามารถคำนวณหาค่าอุปกรณ์ต่างๆ ได้โดยอาศัยสมการ (3-38) เพื่อกำหนดค่าอัตราขยายสัญญาณของวงจรมูตติ้ง A_r โดยให้เท่ากับ 1 ดังนั้นจะได้ค่า R_f เท่ากับ $R_{11} + R_{12}$ ถ้าให้ R_{11} เท่ากับ $10K\Omega$ และ R_{12} เป็นความต้านทานแบบปรับค่าได้เท่ากับ $100K\Omega$ ดังนั้นจะได้ R_f เท่ากับ $110K\Omega$ โดยที่ค่า R_{12} ปรับไว้ที่จุดกึ่งกลางคือ $50K\Omega$ ดังนั้นค่า R_{11} มีค่าเท่ากับ $60K\Omega$ เพื่อใช้คำนวณหาค่า C_i จากสมการ (3-39) โดยใช้ค่า $R_{11} = 60K\Omega$ และ $R_{12} = 50K\Omega$ ดังนี้

$$C_i = T_{sm3} \cdot \frac{R_{11} + R_{12}}{R_{11} \cdot R_{12}} = 0.48\mu F$$

เลือกใช้ค่า C_i เท่ากับ $0.47 \mu F$ แสดงวงจรมูตติ้งของตัวควบคุมแบบ PID ที่มีวงจรมูตติ้งสำหรับควบคุมความเร็วของระบบควบคุมแบบสามลูบดังภาพที่ 4.24 และภาพถ่ายของวงจรมูตติ้งที่ประกอบไปด้วยตัวควบคุมลูบโวลต์แดง, ลูบกระแสและลูบความเร็ว ดังภาพที่ 4.25



ภาพที่ 4.24 แสดงวงจรของตัวควบคุมแบบ PID ที่มีวงจรมุทตั้งสำหรับลูปควบคุมความเร็วของระบบควบคุมแบบสามลูป



ภาพที่ 4.25 แสดงภาพถ่ายของวงจรจริงของตัวควบคุมในลูปโวลต์เตจ, ลูปกระแสและลูปความเร็ว โดยตัวควบคุมในลูปความเร็วเป็นแบบ PID

เอกสารนี้เป็นเอกสารที่สงวนไว้สำหรับการใช้งานเพื่อการศึกษาเท่านั้น ไม่อนุญาตให้นำไปใช้ประโยชน์ด้านการค้า ไม่ว่าจะกรณีใดๆทั้งสิ้น อีกทั้งห้ามมิให้คัดแปลงเนื้อหา และต้องอ้างอิงถึงเจ้าของเอกสารทุกครั้งที่มีการนำไปใช้

4.4 สรุปผลการออกแบบระบบควบคุมความเร็วดีซีมอเตอร์

การออกแบบระบบควบคุมความเร็วดีซีมอเตอร์แบ่งออกเป็น 3 ระบบได้แก่

ระบบที่ 1 ควบคุมความเร็วดีซีมอเตอร์แบบสองลูบ โดยมีลูบควบคุมกระแสอยู่ภายในลูบควบคุมความเร็ว และใช้ตัวควบคุมแบบ PI ทั้งสองลูบ

ระบบที่ 2 ควบคุมความเร็วดีซีมอเตอร์แบบสามลูบ โดยมีลูบควบคุมกระแสอยู่ภายในลูบควบคุมความเร็ว และลูบควบคุมโวลต์แดงอยู่ภายในลูบควบคุมกระแส โดยใช้ตัวควบคุมแบบ PI ทั้งสามลูบ

ระบบที่ 3 ควบคุมความเร็วดีซีมอเตอร์แบบสามลูบ โดยมีลูบควบคุมกระแสอยู่ภายในลูบควบคุมความเร็ว และลูบควบคุมโวลต์แดงอยู่ภายในลูบควบคุมกระแส โดยใช้ตัวควบคุมแบบ PI ในลูบควบคุมกระแสและลูบควบคุมโวลต์แดง ส่วนลูบควบคุมความเร็วใช้ตัวควบคุมแบบ PID

ผลการจำลองระบบด้วยโปรแกรมคอมพิวเตอร์ของทั้ง 3 ระบบได้แก่ โอเวอร์ชูทและเวลาเข้าสู่สภาวะคงตัวต่อสเตปอินพุทและต่อสเตปโวลด แสดงได้ดังตารางที่ 4.1

ตารางที่ 4.1 สรุปผลการจำลองระบบด้วยโปรแกรมคอมพิวเตอร์

ระบบที่	โอเวอร์ชูทต่อสเตปอินพุท (%)	เวลาเข้าสู่สภาวะคงตัวต่อสเตปอินพุท (msec)	โอเวอร์ชูทต่อสเตปโวลด (รอบ/นาที)	เวลาเข้าสู่สภาวะคงตัวต่อสเตปโวลด (msec)
1	8.1	135	100	140
2	8.1	92	70	95
3	8.1	44	30	48

เอกสารนี้เป็นเอกสารที่สงวนไว้สำหรับการใช้งานเพื่อการศึกษาเท่านั้น ไม่อนุญาตให้นำไปใช้ประโยชน์ด้านการค้า ไม่ว่าจะกรณีใดๆทั้งสิ้น อีกทั้งห้ามมิให้คัดแปลงเนื้อหา และต้องอ้างอิงถึงเจ้าของเอกสารทุกครั้งที่มีการนำไปใช้

5.1 การทดลองในด้านการตอบสนองของระบบควบคุมความเร็วต่อสเตปอินพุท

การทดลองในด้านการตอบสนองของระบบควบคุมความเร็วต่อสเตปอินพุท กระทำโดยป้อนคำสั่งแบบขั้นที่ทันใจให้กับระบบควบคุมความเร็ว ให้ดีซีมอเตอร์หมุนที่ความเร็วรอบที่ต้องการ โดยเปิดสวิตช์ SW1 ไว้เพื่อให้อยู่ในสถานะที่ไม่มีผลจากโหลดที่เกิดจากการไหลของกระแสไฟฟ้าภายในโหลด ความเร็วรอบของดีซีมอเตอร์จะตรวจจับได้จากสัญญาณจากทาโคเจนเนอร์เรเตอร์ โดยทาโคเจนเนอร์เรเตอร์นี้เป็นชุดประกอบมากับดีซีมอเตอร์ที่ใช้งาน ให้สัญญาณระดับความเร็วเป็นระดับโวลต์ตรงต่อความเร็วรอบเท่ากับ 7 โวลต์ต่อหนึ่งพันรอบต่อนาที สัญญาณระดับความเร็วที่ได้มีสัญญาณรบกวนที่เกิดจากทาโคเจนเนอร์เรเตอร์และดีซีมอเตอร์ จึงใช้ฟิลเตอร์กรองความถี่ต่ำผ่านเพื่อกำจัดสัญญาณรบกวนดังกล่าว และลดทอนสัญญาณระดับความเร็วลงครึ่งหนึ่งเพื่อให้ได้สัญญาณที่เหมาะสมกับตัวควบคุมความเร็ว โดยแสดงสัญญาณการตอบสนองต่อสเตปอินพุทด้วยคิจิตอลสตอเรจสโคป

5.2 การทดลองในด้านการตอบสนองของระบบควบคุมความเร็วต่อสเตปโหลด

ส่วนการทดลองในด้านการตอบสนองของระบบควบคุมความเร็วต่อสเตปโหลด เมื่อแกนของดีซีมอเตอร์หมุนจะถูกรัดให้แกนของโหลดหมุนตามโดยผ่านทางตัวคู่ควบ โดยโหลดที่ใช้เป็นดีซีมอเตอร์อีกตัวหนึ่งที่ต่อปลายอาร์มาเจอร์อยู่กับสวิตช์ SW1 และค่าความต้านทาน R1 ดังภาพที่ 5.1 และ 5.2 โดยเปิดวงจรที่ SW1 และป้อนคำสั่งให้กับระบบควบคุมความเร็วให้ดีซีมอเตอร์หมุนที่ความเร็วที่ต้องการ จากนั้นปิดวงจรที่ SW1 ซึ่งจะเป็นลักษณะของสเตปโหลดที่เกิดขึ้นจากกระแสที่ไหลครบวงรอบภายในอาร์มาเจอร์ของโหลดทำให้เกิดแรงดันการหมุนของดีซีมอเตอร์

ถ้าความเร็วรอบของดีซีมอเตอร์คงที่ การเปลี่ยนแปลงค่า R1 จะเป็นการเปลี่ยนแปลงกระแสที่ไหลในอาร์มาเจอร์ของโหลด ถ้า R1 มีค่าเป็น 0 โอห์มจะมีกระแสไหลมากที่สุด และมีแรงดันการหมุนของดีซีมอเตอร์สูงสุดด้วย โดยให้พิกัดโหลดในระดับนี้เป็น 100% ดังนั้นการเปลี่ยนแปลงค่า R1 จึงสามารถเปลี่ยนแปลงเปอร์เซ็นต์ของพิกัดโหลดได้ จำนวนเปรียบเทียบจากค่ากระแสที่ไหลผ่าน R1 ในขณะนั้นกับค่ากระแสที่ไหลสูงสุด โดยแสดงสัญญาณการตอบสนองต่อสเตปโหลดด้วยคิจิตอลสตอเรจสโคป ลักษณะการต่อตัวคู่ควบโหลดเข้ากับดีซีมอเตอร์แสดงดังภาพที่ 5.4

เอกสารนี้เป็นเอกสารที่สงวนไว้สำหรับการใช้งานเพื่อการศึกษาเท่านั้น ไม่อนุญาตให้นำไปใช้ประโยชน์ด้านการค้า ไม่ว่ากรณีใดๆทั้งสิ้น อีกทั้งห้ามมิให้คัดแปลงเนื้อหา และต้องอ้างอิงถึงเจ้าของเอกสารทุกครั้งที่มีการนำไปใช้



ภาพที่ 5.4 แสดงดีซีมอเตอร์และโหลดที่ต่อตัวคู่ความเร็วเข้าด้วยกัน

5.3 รูปแบบการทดลองระบบควบคุมความเร็ว

ระบบที่ออกแบบแบ่งออกเป็น 3 ระบบได้แก่

ระบบที่ 1 เป็นระบบควบคุมความเร็วดีซีมอเตอร์แบบสองลูป โดยมีลูปควบคุมกระแสอยู่ในลูปควบคุมความเร็ว และใช้ตัวควบคุมแบบ PI ทั้งสองลูป

ระบบที่ 2 เป็นระบบควบคุมความเร็วดีซีมอเตอร์แบบสามลูป โดยมีลูปควบคุมกระแสอยู่ในลูปควบคุมความเร็ว และลูปควบคุมโวลต์ที่แดงอยู่ในลูปควบคุมกระแส โดยใช้ตัวควบคุมแบบ PI ทั้งสามลูป

ระบบที่ 3 เป็นระบบควบคุมความเร็วดีซีมอเตอร์แบบสามลูป โดยมีลูปควบคุมกระแสอยู่ในลูปควบคุมความเร็ว และลูปควบคุมโวลต์ที่แดงอยู่ในลูปควบคุมกระแส โดยใช้ตัวควบคุมแบบ PI ในลูปควบคุมกระแสและลูปควบคุมโวลต์ที่แดง ส่วนลูปควบคุมความเร็วใช้ตัวควบคุมแบบ PID

โดยแต่ละระบบทำการทดลองในสภาวะต่างๆ 6 กรณี เพื่อตรวจวัดค่าเวลาเข้าสู่สภาวะคงตัวและโอเวอร์ชูตต่อสเตปอินพุตและสเตปโพลด ดังนี้

1. ที่สภาวะของดีซีมอเตอร์หยุดนิ่ง ป้อนสเตปอินพุตให้ดีซีมอเตอร์หมุนที่ 1000 รอบต่อ นาที

2. ที่สภาวะของดีซีมอเตอร์หมุนที่ความเร็ว 500 รอบต่อนาที ป้อนสเตปอินพุตให้ดีซี

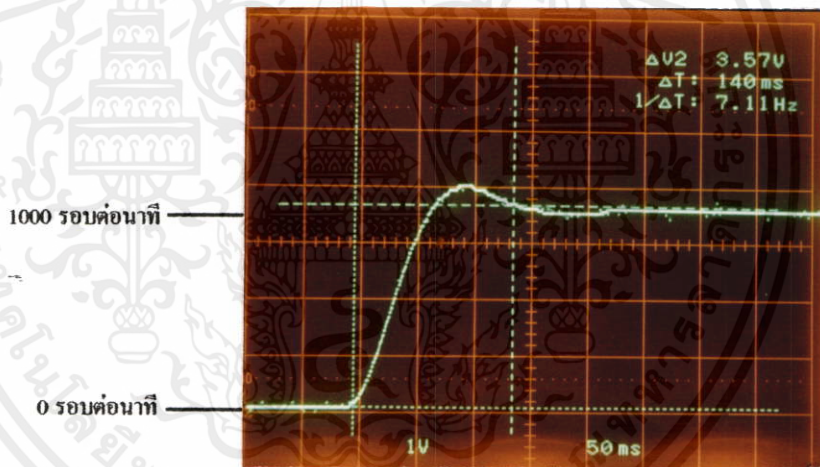
เอกสารมอเตอร์หมุนที่ 1500 รอบต่อนาที ใช้งานเพื่อการศึกษาเท่านั้น ไม่อนุญาตให้นำไปใช้ประโยชน์ด้านการค้า

ไม่ว่ากรณีใดๆ ทั้ง 3. ที่สภาวะของดีซีมอเตอร์หมุนที่ความเร็ว -1000 รอบต่อนาที ป้อนสเตปอินพุตให้ดีซี มอเตอร์หมุนที่ 1000 รอบต่อนาที และกลับมายังที่ความเร็ว -1000 รอบต่อนาที

4. ที่สภาวะของดีซีมอเตอร์หมุนที่ความเร็ว 1000 รอบต่อนาที ป้อนสเตปโพลขนาด 100% ของพิคคโพล
5. ที่สภาวะของดีซีมอเตอร์หมุนที่ความเร็ว 1000 รอบต่อนาที ป้อนสเตปโพลขนาด 75% ของพิคคโพล
6. ที่สภาวะของดีซีมอเตอร์หมุนที่ความเร็ว 1000 รอบต่อนาที ป้อนสเตปโพลขนาด 25% ของพิคคโพล

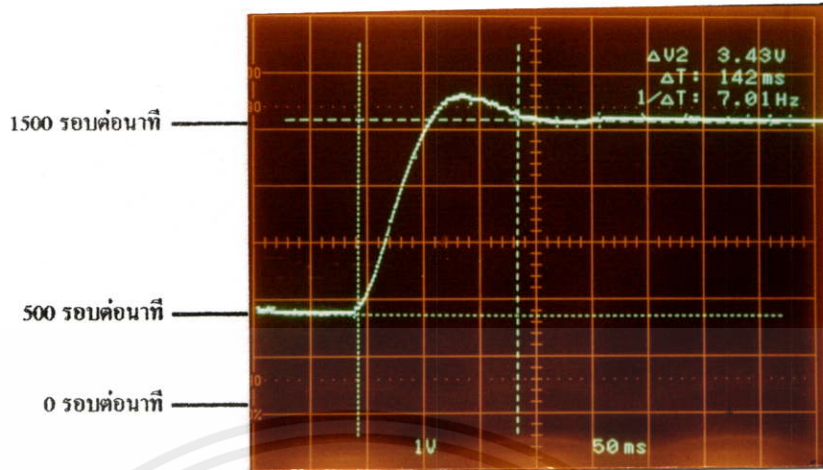
5.4 ผลการทดลองของระบบที่ 1

ผลการทดลองของระบบที่ 1 เป็นระบบควบคุมความเร็วดีซีมอเตอร์แบบสองลูป โดยมีลูปควบคุมกระแสอยู่ภายในลูปควบคุมความเร็ว และใช้ตัวควบคุมแบบ PI ทั้งสองลูป ทั้ง 7 กรณี แสดงดังภาพที่ 5.5 ถึงภาพที่ 5.10

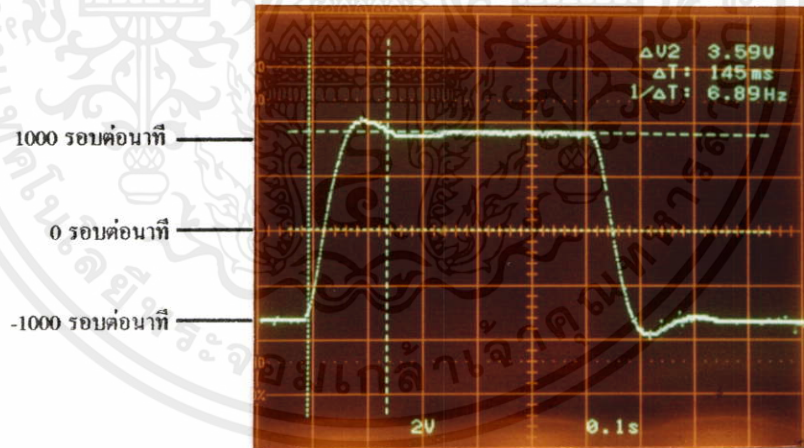


ภาพที่ 5.5 แสดงการตอบสนองของระบบที่ 1 ต่อกรณีที่ 1 ได้แก่ที่สภาวะของดีซีมอเตอร์หยุดนิ่ง ป้อนสเตปอินพุทให้ดีซีมอเตอร์หมุนที่ 1000 รอบต่อนาที ใช้เวลาเข้าสู่สภาวะคงตัวประมาณ 140 msec โอเวอร์ชูทประมาณ 10% (แกน x 50msec/div แกน y 1V/div)

เอกสารนี้เป็นเอกสารที่สงวนไว้สำหรับการใช้งานเพื่อการศึกษาเท่านั้น ไม่อนุญาตให้นำไปใช้ประโยชน์ด้านการค้า ไม่ว่าจะกรณีใดๆทั้งสิ้น อีกทั้งห้ามมิให้คัดแปลงเนื้อหา และต้องอ้างอิงถึงเจ้าของเอกสารทุกครั้งที่มีการนำไปใช้



ภาพที่ 5.6 แสดงการตอบสนองของระบบที่ 1 ต่อกรณีที่ 2 ได้แก่ที่สถานะของดีซีมอเตอร์หมุนที่ความเร็ว 500 รอบต่อนาที ป้อนสเตปอินพุทให้ดีซีมอเตอร์หมุนที่ 1500 รอบต่อนาที ใช้เวลาเข้าสู่สถานะคงตัวประมาณ 142 msec โอเวอร์ชูทประมาณ 10% (แกน x 50msec/div แกน y 1V/div)

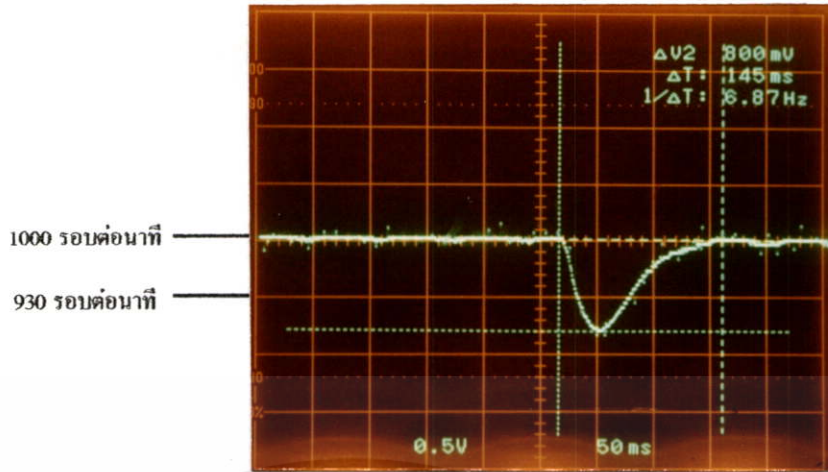


ภาพที่ 5.7 แสดงการตอบสนองของระบบที่ 1 ต่อกรณีที่ 3 ได้แก่ที่สถานะของดีซีมอเตอร์หมุนที่ความเร็ว -1000 รอบต่อนาที ป้อนสเตปอินพุทให้ดีซีมอเตอร์หมุนที่ 1000 รอบต่อนาที และกลับมายังที่ความเร็ว -1000 รอบต่อนาที ใช้เวลาเข้าสู่สถานะคงตัวประมาณ 145 msec โอเวอร์ชูท

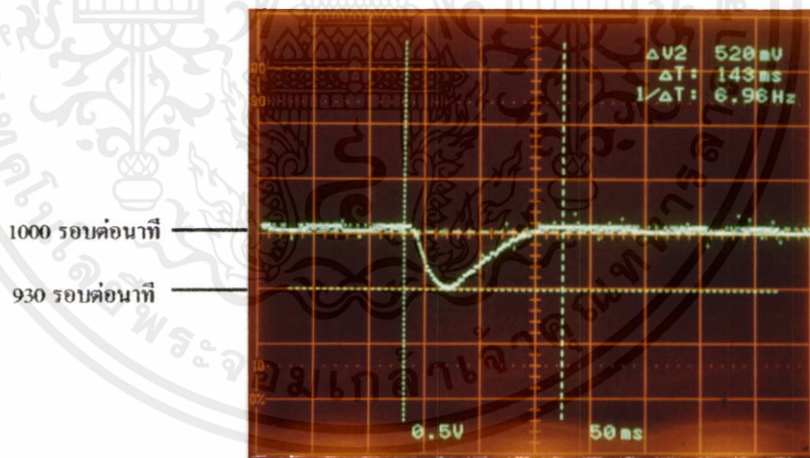
เอกสารนี้เป็นเอกสารที่สงวนไว้สำหรับการใช้งานเพื่อการศึกษาเท่านั้น ไม่อนุญาตให้นำไปใช้ประโยชน์ด้านการค้า

ประมาณ 10% (แกน x 100msec/div แกน y 2V/div)

ไม่ว่ากรณีใดๆทั้งสิ้น อีกทั้งห้ามมิให้คัดแปลงเนื้อหา และต้องอ้างอิงถึงเจ้าของเอกสารทุกครั้งที่มีการนำไปใช้

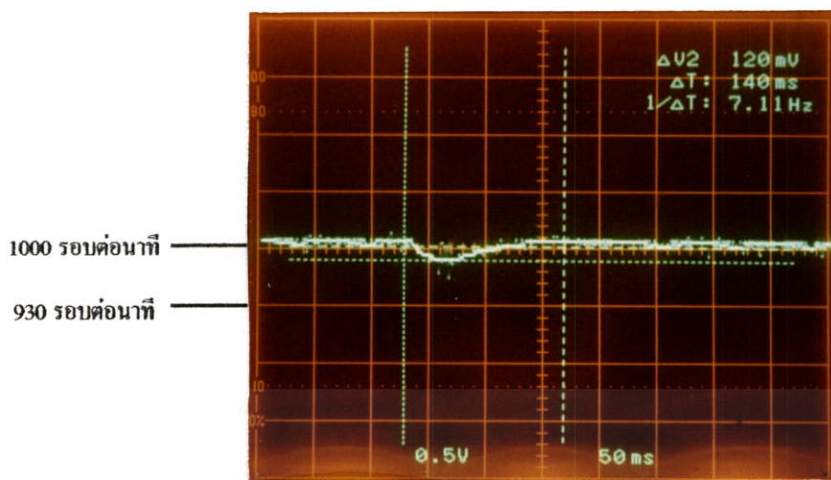


ภาพที่ 5.8 แสดงการตอบสนองของระบบที่ 1 ต่อกรณีที่ 4 ได้แก่ที่สภาวะของดีซีมอเตอร์หมุนที่ความเร็ว 1000 รอบต่อนาที ป้อนสเตปโวลตขนาด 100% ของพิกัดโหลด ใช้เวลาเข้าสู่สภาวะคงตัวประมาณ 145 msec โอเวอร์ชูทประมาณ 114 รอบต่อนาที (แกน x 50msec/div แกน y 0.5 V/div)



ภาพที่ 5.9 แสดงการตอบสนองของระบบที่ 1 ต่อกรณีที่ 5 ได้แก่ที่สภาวะของดีซีมอเตอร์หมุนที่ความเร็ว 1000 รอบต่อนาที ป้อนสเตปโวลตขนาด 75% ของพิกัดโหลด ใช้เวลาเข้าสู่สภาวะคงตัวประมาณ 143 msec โอเวอร์ชูทประมาณ 74 รอบต่อนาที (แกน x 50msec/div แกน y 0.5V/div)

เอกสารนี้เป็นเอกสารที่สงวนไว้สำหรับการใช้งานเพื่อการศึกษาเท่านั้น ไม่อนุญาตให้นำไปใช้ประโยชน์ด้านการค้า ไม่ว่าจะวิธีใดๆทั้งสิ้น อีกทั้งห้ามมิให้คัดแปลงเนื้อหา และต้องอ้างอิงถึงเจ้าของเอกสารทุกครั้งที่มีการนำไปใช้

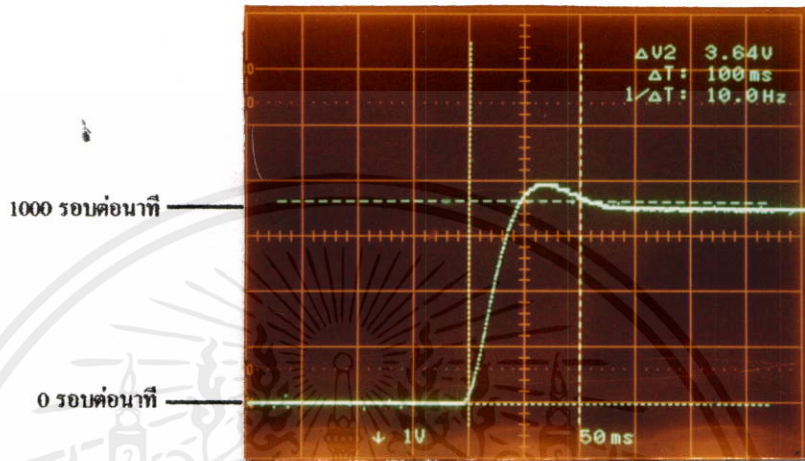


ภาพที่ 5.10 แสดงการตอบสนองของระบบที่ 1 ต่อกรณีที่ 6 ได้แก่ที่สภาวะของดีซีมอเตอร์หมุนที่ความเร็ว 1000 รอบต่อนาที ป้อนสเตปโพลขนาด 25% ของพิคคโพล ใช้เวลาเข้าสู่สภาวะคงตัวประมาณ 140 msec โอเวอร์ชูตประมาณ 17 รอบต่อนาที (แกน x 50msec/div แกน y 0.5V/div)

เอกสารนี้เป็นเอกสารที่สงวนไว้สำหรับการใช้งานเพื่อการศึกษาเท่านั้น ไม่อนุญาตให้นำไปใช้ประโยชน์ด้านการค้า ไม่ว่าจะกรณีใดๆทั้งสิ้น อีกทั้งห้ามมิให้คัดแปลงเนื้อหา และต้องอ้างอิงถึงเจ้าของเอกสารทุกครั้งที่มีการนำไปใช้

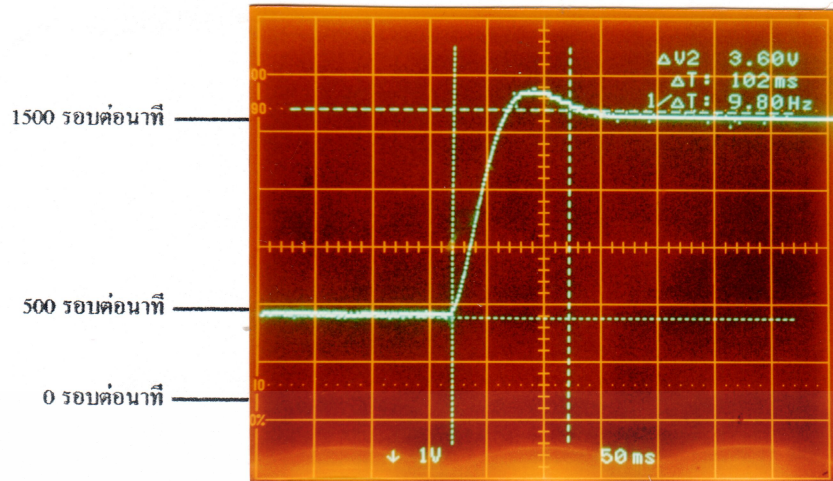
5.5 ผลการทดลองของระบบที่ 2

ผลการทดลองของระบบที่ 2 เป็นระบบควบคุมความเร็วดีซีมอเตอร์แบบสามรูป โดยมีรูปควบคุมกระแสอยู่ภายในรูปควบคุมความเร็ว และรูปควบคุมโวลต์ที่เจ็ดยุติภายในรูปควบคุมกระแส โดยใช้ตัวควบคุมแบบ PI ทั้งสามรูป ทั้ง 7 กรณีแสดงดังภาพที่ 5.11 ถึงภาพที่ 5.16

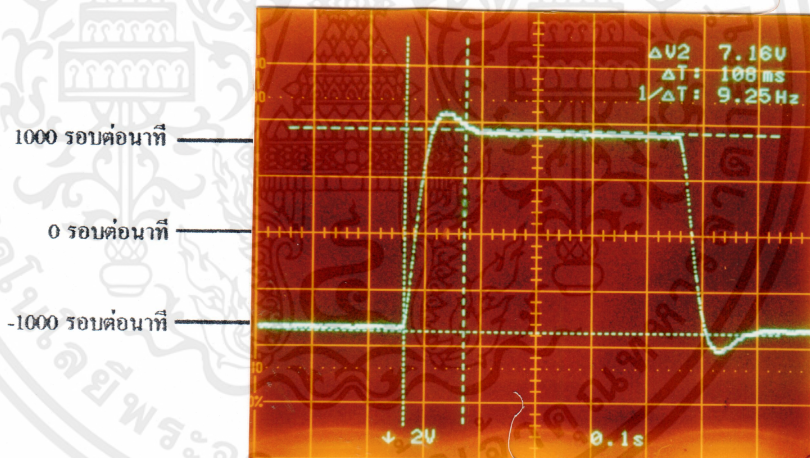


ภาพที่ 5.11 แสดงการตอบสนองของระบบที่ 2 ต่อกรณีที่ 1 ได้แก่ที่สภาวะของดีซีมอเตอร์หยุดนิ่ง ป้อนสเตปอินพุทให้ดีซีมอเตอร์หมุนที่ 1000 รอบต่อนาที ใช้เวลาเข้าสู่สภาวะคงตัวประมาณ 100 msec โอเวอร์ชูตประมาณ 10% (แกน x 50msec/div แกน y 1V/div)

เอกสารนี้เป็นเอกสารที่สงวนไว้สำหรับการใช้งานเพื่อการศึกษาเท่านั้น ไม่อนุญาตให้นำไปใช้ประโยชน์ด้านการค้า ไม่ว่าจะกรณีใดๆทั้งสิ้น อีกทั้งห้ามมิให้คัดแปลงเนื้อหา และต้องอ้างอิงถึงเจ้าของเอกสารทุกครั้งที่มีการนำไปใช้

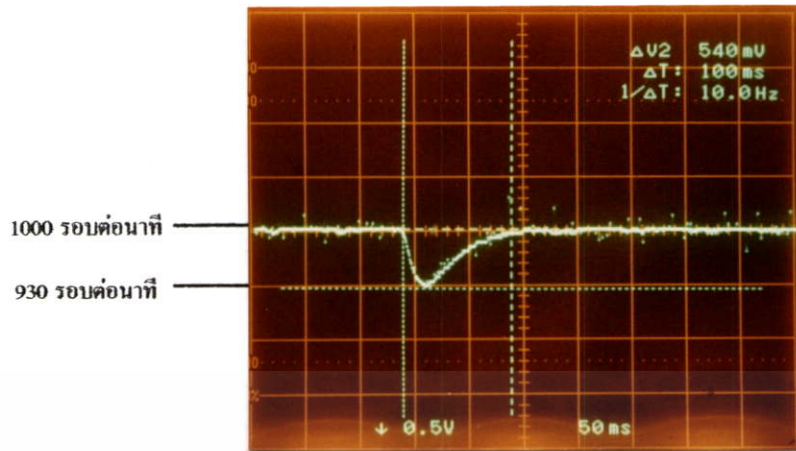


ภาพที่ 5.12 แสดงการตอบสนองของระบบที่ 2 ต่อกรณีที่ 2 ได้แก่ ที่สถานะของดีซีมอเตอร์หมุนที่ความเร็ว 500 รอบต่อนาที ป้อนสเตปอินพุทให้ดีซีมอเตอร์หมุนที่ 1500 รอบต่อนาที ใช้เวลาเข้าสู่สถานะคงตัวประมาณ 102 msec โอเวอร์ชูตประมาณ 10% (แกน x 50msec/div แกน y 1V/div)

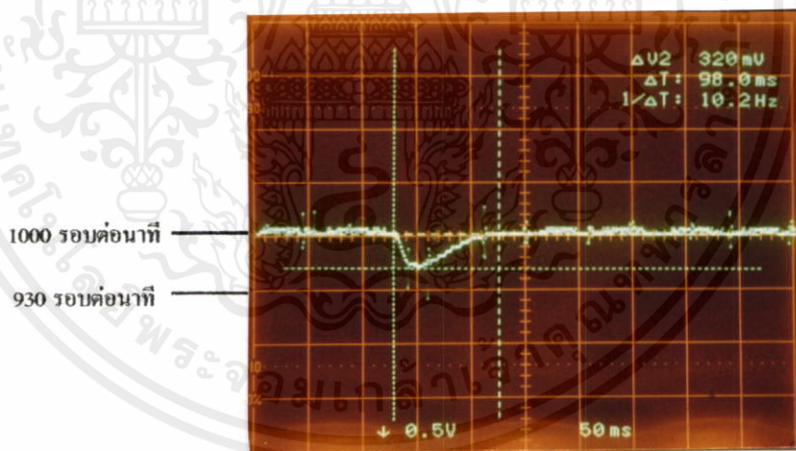


ภาพที่ 5.13 แสดงการตอบสนองของระบบที่ 2 ต่อกรณีที่ 3 ได้แก่ ที่สถานะของดีซีมอเตอร์หมุนที่ความเร็ว -1000 รอบต่อนาที ป้อนสเตปอินพุทให้ดีซีมอเตอร์หมุนที่ 1000 รอบต่อนาที และกลับมาอยู่ที่ความเร็ว -1000 รอบต่อนาที ใช้เวลาเข้าสู่สถานะคงตัวประมาณ 108 msec โอเวอร์ชูตประมาณ 10% (แกน x 100msec/div แกน y 2V/div)

เอกสารนี้เป็นเอกสารที่สงวนไว้สำหรับการใช้งานเพื่อการศึกษาเท่านั้น ไม่อนุญาตให้นำไปใช้ประโยชน์ด้านการค้า ไม่ว่าจะกรณีใดๆ ทั้งสิ้น อีกทั้งห้ามมิให้คัดแปลงเนื้อหา และต้องอ้างอิงถึงเจ้าของเอกสารทุกครั้งที่มีการนำไปใช้

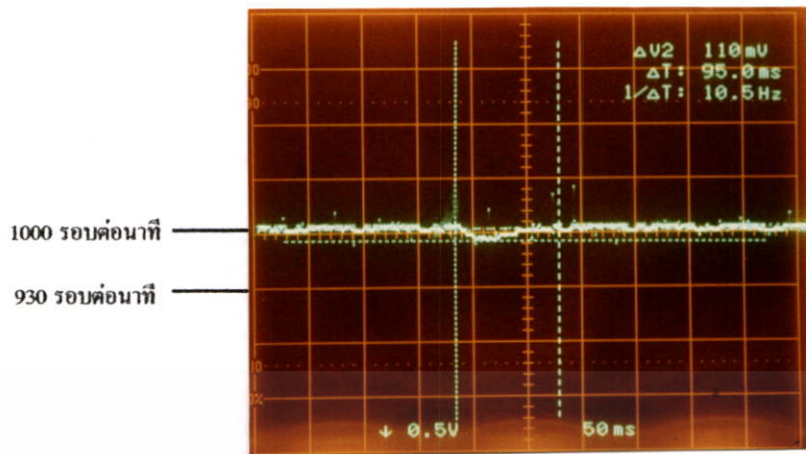


ภาพที่ 5.14 แสดงการตอบสนองของระบบที่ 2 ต่อกรณีที่ 4 ได้แก่ที่สภาวะของดีซีมอเตอร์หมุนที่ความเร็ว 1000 รอบต่อนาที ป้อนสเตปโวลตขนาด 100% ของพิกัดโวลต ใช้เวลาเข้าสู่สภาวะคงตัวประมาณ 100 msec โอเวอร์ชูทประมาณ 77 รอบต่อนาที (แกน x 50msec/div แกน y 0.5 V/div)



ภาพที่ 5.15 แสดงการตอบสนองของระบบที่ 2 ต่อกรณีที่ 5 ได้แก่ที่สภาวะของดีซีมอเตอร์หมุนที่ความเร็ว 1000 รอบต่อนาที ป้อนสเตปโวลตขนาด 75% ของพิกัดโวลต ใช้เวลาเข้าสู่สภาวะคงตัวประมาณ 98 msec โอเวอร์ชูทประมาณ 45 รอบต่อนาที (แกน x 50msec/div แกน y 0.5V/div)

เอกสารนี้เป็นเอกสารที่สงวนไว้สำหรับการใช้งานเพื่อการศึกษาเท่านั้น ไม่อนุญาตให้นำไปใช้ประโยชน์ด้านการค้า ไม่ว่าจะกรณีใดๆทั้งสิ้น อีกทั้งห้ามมิให้คัดแปลงเนื้อหา และต้องอ้างอิงถึงเจ้าของเอกสารทุกครั้งที่มีการนำไปใช้

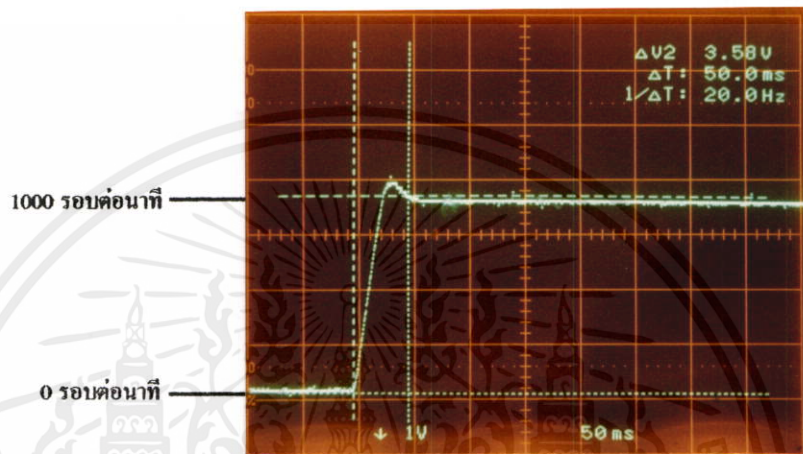


ภาพที่ 5.16 แสดงการตอบสนองของระบบที่ 2 ต่อกรณีที่ 6 ได้แก่ที่สภาวะของคิซิมอเตอร์หมุนที่ความเร็ว 1000 รอบต่อนาที ป้อนสเตปโวลตขนาด 25% ของพิคคโวลต ใช้เวลาเข้าสู่สภาวะคงตัวประมาณ 95 msec โอเวอร์ชูตประมาณ 15 รอบต่อนาที (แกน x 50msec/div แกน y 0.5V/div)

เอกสารนี้เป็นเอกสารที่สงวนไว้สำหรับการใช้งานเพื่อการศึกษาเท่านั้น ไม่อนุญาตให้นำไปใช้ประโยชน์ด้านการค้า
 ไม่ว่ากรณีใดๆทั้งสิ้น อีกทั้งห้ามมิให้คัดแปลงเนื้อหา และต้องอ้างอิงถึงเจ้าของเอกสารทุกครั้งที่มีการนำไปใช้

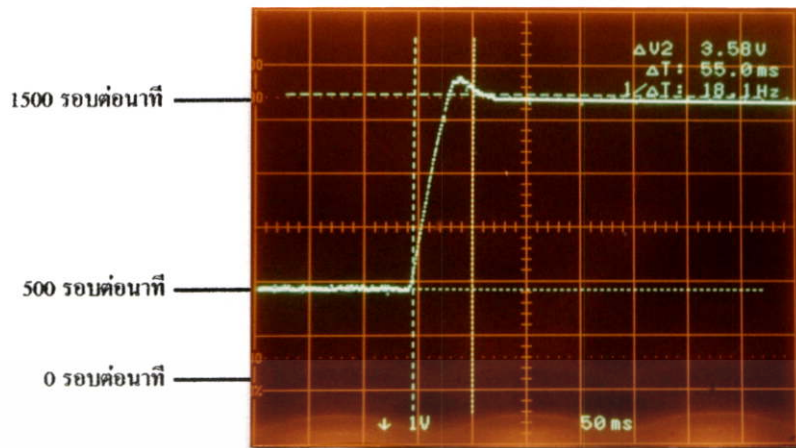
5.6 ผลการทดลองของระบบที่ 3

ผลการทดลองของระบบที่ 3 เป็นระบบควบคุมความเร็วดีซีมอเตอร์แบบสามขั้ว โดยมีรูปควบคุมกระแสอยู่ภายในรูปควบคุมความเร็ว และรูปควบคุมโวลต์แดงอยู่ภายในรูปควบคุมกระแส โดยใช้ตัวควบคุมแบบ PI ในรูปควบคุมกระแสและรูปควบคุมโวลต์แดง ส่วนรูปควบคุมความเร็วใช้ตัวควบคุมแบบ PID ทั้ง 7 กรณีแสดงคั้งภาพที่ 5.17 ถึงภาพที่ 5.22

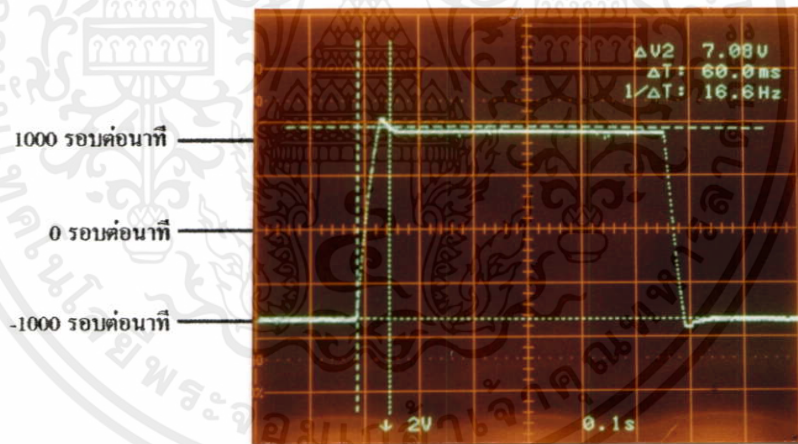


ภาพที่ 5.17 แสดงการตอบสนองของระบบที่ 3 ต่อกรณีที่ 1 ได้แก่ที่สภาวะของดีซีมอเตอร์หยุดนิ่ง ป้อนสเตปอินพุทให้ดีซีมอเตอร์หมุนที่ 1000 รอบต่อนาที ใช้เวลาเข้าสู่สภาวะคงตัวประมาณ 50 msec โวลเจอร์ชูประมาณ 10% (แกน x 50msec/div แกน y 1V/div)

เอกสารนี้เป็นเอกสารที่สงวนไว้สำหรับการใช้งานเพื่อการศึกษาเท่านั้น ไม่อนุญาตให้นำไปใช้ประโยชน์ด้านการค้า ไม่ว่าจะกรณีใดๆทั้งสิ้น อีกทั้งห้ามมิให้คัดแปลงเนื้อหา และต้องอ้างอิงถึงเจ้าของเอกสารทุกครั้งที่มีการนำไปใช้

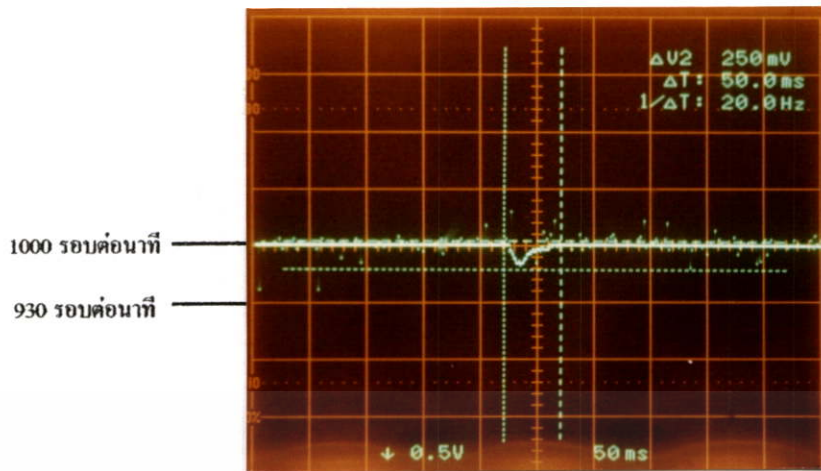


ภาพที่ 5.18 แสดงการตอบสนองของระบบที่ 3 คอกรณีที่ 2 ได้แก่ ที่สถานะของคิซิมอเตอร์หมุนที่ ความเร็ว 500 รอบต่อนาที ป้อนสเตปอินพุทให้คิซิมอเตอร์หมุนที่ 1500 รอบต่อนาที ใช้เวลาเข้าสู่ สภาวะคงตัวประมาณ 55 msec โอเวอร์ชูทประมาณ 10% (แกน x 50msec/div แกน y 1V/div)

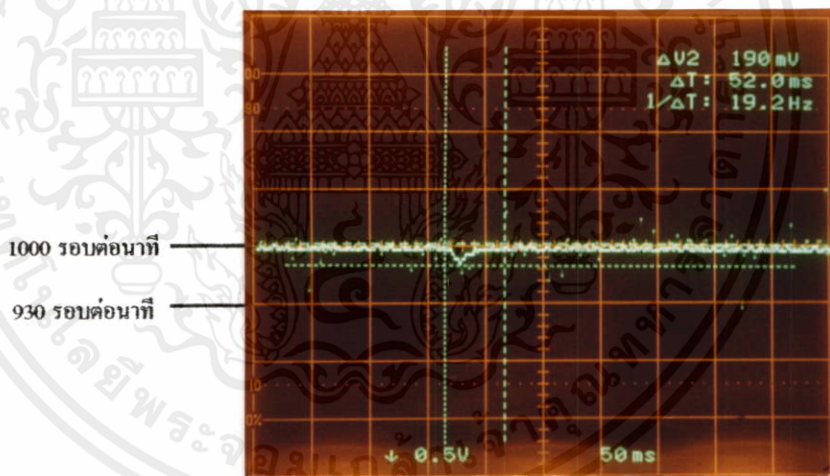


ภาพที่ 5.19 แสดงการตอบสนองของระบบที่ 3 คอกรณีที่ 3 ได้แก่ ที่สถานะของคิซิมอเตอร์หมุนที่ ความเร็ว -1000 รอบต่อนาที ป้อนสเตปอินพุทให้คิซิมอเตอร์หมุนที่ 1000 รอบต่อนาที และกลับ มายังที่ความเร็ว -1000 รอบต่อนาที ใช้เวลาเข้าสู่สภาวะคงตัวประมาณ 60 msec โอเวอร์ชูท ประมาณ 10% (แกน x 100msec/div แกน y 2V/div)

เอกสารนี้เป็นเอกสารที่สงวนไว้สำหรับการใช้งานเพื่อการศึกษาเท่านั้น ไม่อนุญาตให้นำไปใช้ประโยชน์ด้านการค้า ไม่ว่าจะกรณีใดๆทั้งสิ้น อีกทั้งห้ามมิให้คัดแปลงเนื้อหา และต้องอ้างอิงถึงเจ้าของเอกสารทุกครั้งที่มีการนำไปใช้

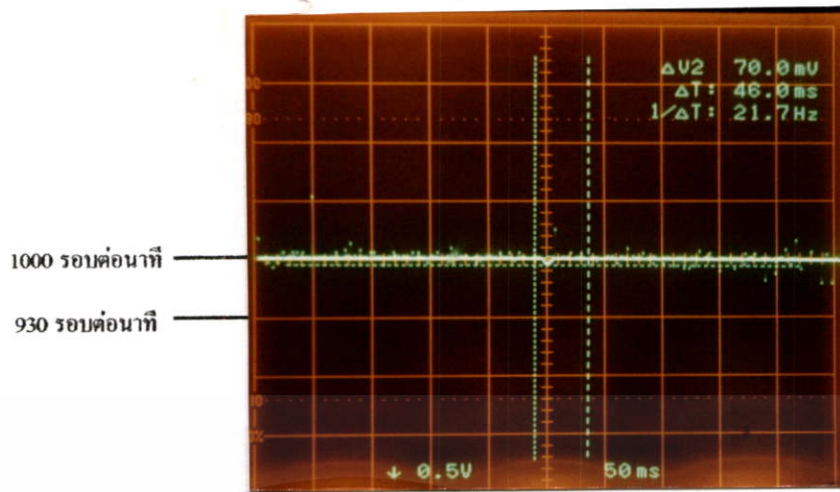


ภาพที่ 5.20 แสดงการตอบสนองของระบบที่ 3 ต่อกรณีที่ 4 ได้แก่ที่สภาวะของดีซีมอเตอร์หมุนที่ความเร็ว 1000 รอบต่อวินาที ป้อนสเตปโวลตขนาด 100% ของพิคคโวลต ใช้เวลาเข้าสู่สภาวะคงตัวประมาณ 50 msec โอเวอร์ชูตประมาณ 35 รอบต่อวินาที (แกน x 50msec/div แกน y 0.5V/div)



ภาพที่ 5.21 แสดงการตอบสนองของระบบที่ 3 ต่อกรณีที่ 5 ได้แก่ที่สภาวะของดีซีมอเตอร์หมุนที่ความเร็ว 1000 รอบต่อวินาที ป้อนสเตปโวลตขนาด 75% ของพิคคโวลต ใช้เวลาเข้าสู่สภาวะคงตัวประมาณ 52 msec โอเวอร์ชูตประมาณ 27 รอบต่อวินาที (แกน x 50msec/div แกน y 0.5V/div)

เอกสารนี้เป็นเอกสารที่สงวนไว้สำหรับการใช้งานเพื่อการศึกษาเท่านั้น ไม่อนุญาตให้นำไปใช้ประโยชน์ด้านการค้า ไม่ว่าจะกรณีใดๆทั้งสิ้น อีกทั้งห้ามมิให้คัดแปลงเนื้อหา และต้องอ้างอิงถึงเจ้าของเอกสารทุกครั้งที่มีการนำไปใช้



ภาพที่ 5.22 แสดงการตอบสนองของระบบที่ 3 ต่อกรณีที่ 6 ได้แก่ที่สภาวะของคิซิมอเตอร์หมุนที่ความเร็ว 1000 รอบต่อวินาที ป้อนสเตปโหลดขนาด 25% ของพิกัดโหลด ใช้เวลาเข้าสู่สภาวะคงตัวประมาณ 46 msec โอเวอร์ชูตประมาณ 10 รอบต่อวินาที (แกน x 50msec/div แกน y 0.5V/div)

เอกสารนี้เป็นเอกสารที่สงวนไว้สำหรับการใช้งานเพื่อการศึกษาเท่านั้น ไม่อนุญาตให้นำไปใช้ประโยชน์ด้านการค้า ไม่ว่าจะกรณีใดๆทั้งสิ้น อีกทั้งห้ามมิให้คัดแปลงเนื้อหา และต้องอ้างอิงถึงเจ้าของเอกสารทุกครั้งที่มีการนำไปใช้

บทที่ 6

สรุปผลการทดลองระบบควบคุมความเร็วดีซีมอเตอร์

ผลการทดสอบระบบพบว่าระบบ 3 ลูปที่ใช้ตัวควบคุมแบบ PI ทั้งหมดมีการตอบสนองต่อสเตปอินพุทและสเตปโหลดได้ดีกว่าระบบ 2 ลูป โดยพิจารณาจากการตอบสนองต่อสเตปอินพุทในกรณีที่ 1 และต่อสเตปโหลดในกรณีที่ 5 จากตารางที่ 5.1

การเพิ่มลูปควบคุมโวลต์เดจเข้าไปช่วยลดเวลาเข้าสู่สภาวะคงตัวของระบบต่อสเตปอินพุทได้ 40 msec หรือ 28.8% และต่อสเตปโหลดได้ 45 msec หรือ 31% ส่วนโอเวอร์ชูทต่อสเตปโหลดของระบบ 3 ลูปน้อยกว่าระบบ 2 ลูป 37 รอบต่อนาทีหรือ 32.5%

ถ้าลูปควบคุมความเร็วของระบบ 3 ลูปใช้ตัวควบคุมแบบ PID โดยมีลูปควบคุมกระแสและลูปควบคุมโวลต์เดจที่ใช้ตัวควบคุมแบบ PI เช่นเดิม ก็จะทำให้ระบบมีเวลาในการตอบสนองต่อสเตปอินพุทได้เร็วกว่าระบบ 2 ลูป 90 msec หรือ 64.3% ต่อสเตปโหลดได้รวดเร็วขึ้น 95 msec หรือ 65.5% และมีโอเวอร์ชูทต่อสเตปโหลดลดลง 79 รอบต่อนาทีหรือ 69.3% ด้วยผลที่ได้จากการทดสอบระบบกับผลที่ได้จากการจำลองระบบด้วยโปรแกรมคอมพิวเตอร์ของระบบทั้ง 3 ระบบ โดยอาศัยข้อมูลจากตารางที่ 4.1 และตารางที่ 5.1 แสดงได้ดังตารางที่ 6.1 แสดงผลการเปรียบเทียบของการตอบสนองต่อสเตปอินพุทของระบบทั้งสาม ส่วนตารางที่ 6.2 แสดงผลการเปรียบเทียบของการตอบสนองต่อสเตปโหลดของระบบทั้งสาม

ตารางที่ 6.1 ผลการเปรียบเทียบการตอบสนองต่อสเตปอินพุทของระบบจากการจำลองระบบด้วยโปรแกรมคอมพิวเตอร์และจากการทดสอบระบบจริง

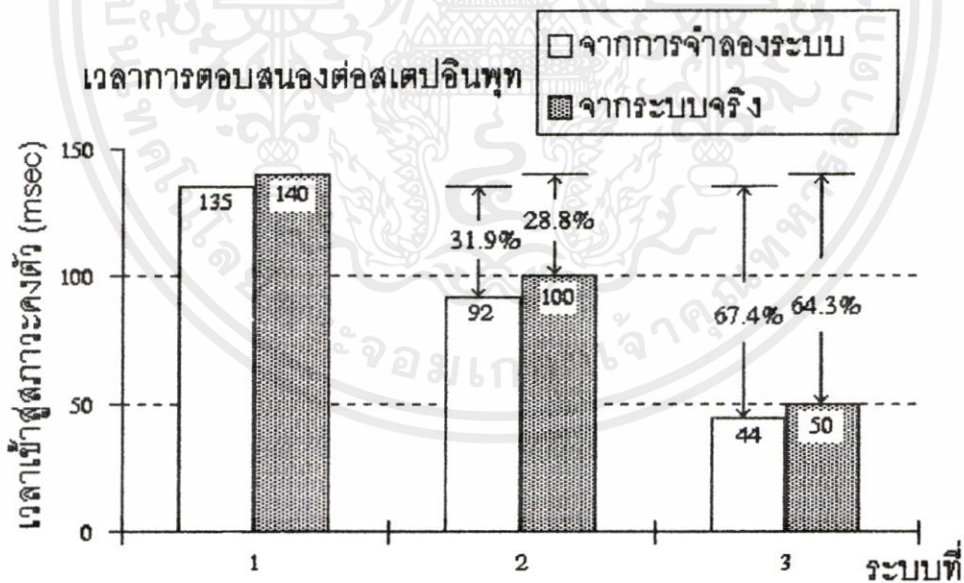
ระบบ ที่	เวลาเข้าสู่สภาวะคงตัวต่อสเตปอินพุท จากการจำลองระบบเร็วขึ้น (%)	เวลาเข้าสู่สภาวะคงตัวต่อสเตปอินพุท จากการทดลองเร็วขึ้น (%)
1	-	-
2	31.9	28.8
3	67.4	64.3

เอกสารนี้เป็นเอกสารที่สงวนไว้สำหรับการใช้งานเพื่อการศึกษาเท่านั้น ไม่อนุญาตให้นำไปใช้ประโยชน์ด้านการค้า
ไม่ว่ากรณีใดๆทั้งสิ้น อีกทั้งห้ามมิให้คัดแปลงเนื้อหา และต้องอ้างอิงถึงเจ้าของเอกสารทุกครั้งที่มีการนำไปใช้

ตารางที่ 6.2 ผลการเปรียบเทียบการตอบสนองต่อสเคปโหลดของระบบจากการจำลองระบบด้วยโปรแกรมคอมพิวเตอร์และจากการทดสอบระบบจริง

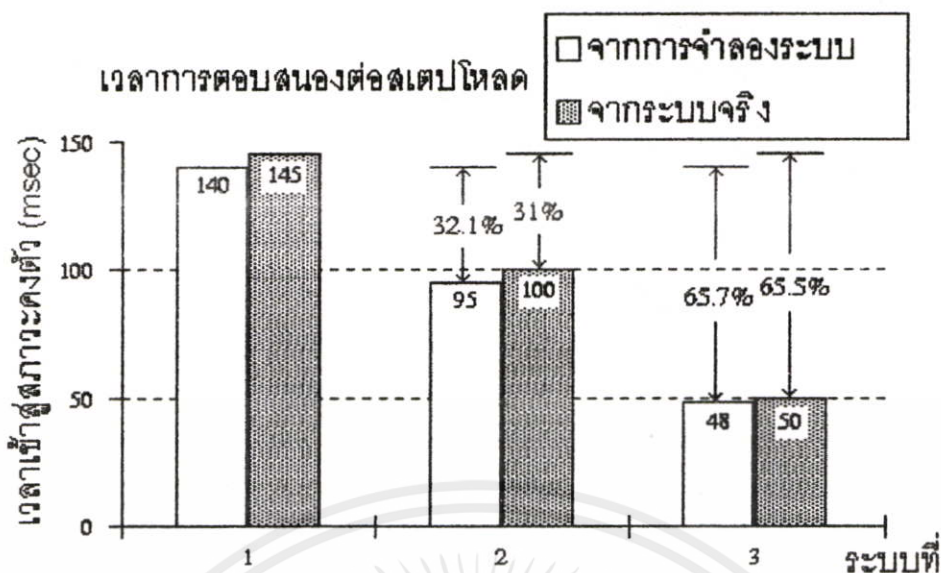
ระบบที่	เวลาเข้าสู่สภาวะคงตัวต่อสเคปโหลดจากการจำลองระบบคี่ขึ้น (%)	โอเวอร์ชูทต่อสเคปโหลดจากการจำลองระบบลดลง (%)	เวลาเข้าสู่สภาวะคงตัวต่อสเคปโหลดจากการทดลองคี่ขึ้น (%)	โอเวอร์ชูทต่อสเคปโหลดจากการทดลองลดลง (%)
1	-	-	-	-
2	32.1	30	31	32.5
3	65.7	70	65.5	69.3

แสดงผังการเปรียบเทียบเวลาเข้าสู่สภาวะคงตัวต่อสเคปอินพุทและต่อสเคปโหลดของระบบทั้งสามจากการจำลองระบบด้วยคอมพิวเตอร์และจากระบบจริงดังภาพที่ 6.1 และภาพที่ 6.2 ตามลำดับ



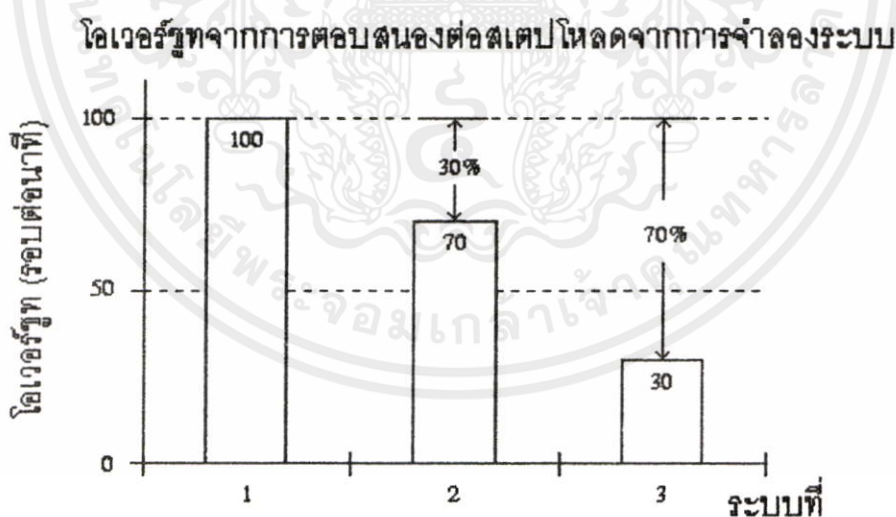
ภาพที่ 6.1 แสดงการเปรียบเทียบเวลาเข้าสู่สภาวะคงตัวต่อสเคปอินพุทของระบบทั้งสาม

เอกสารนี้เป็นเอกสารที่สงวนไว้สำหรับการใช้งานเพื่อการศึกษาเท่านั้น ไม่อนุญาตให้นำไปใช้ประโยชน์ด้านการค้า ไม่ว่าจะกรณีใดๆทั้งสิ้น อีกทั้งห้ามมิให้คัดแปลงเนื้อหา และต้องอ้างอิงถึงเจ้าของเอกสารทุกครั้งที่มีการนำไปใช้



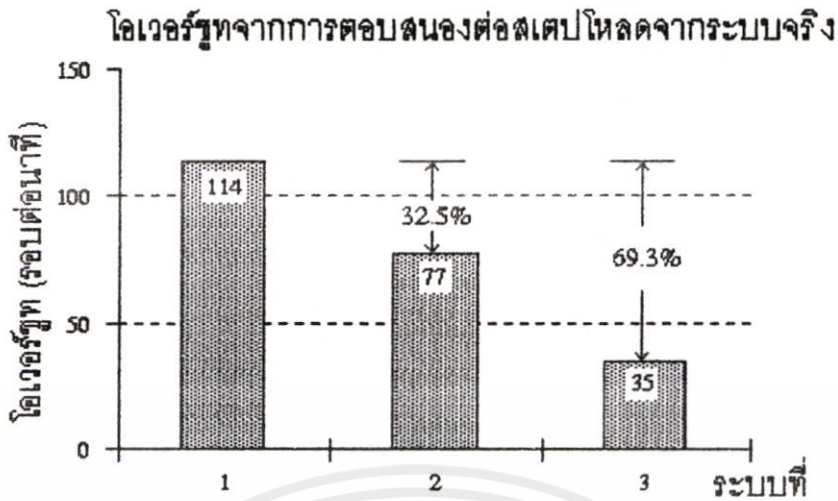
ภาพที่ 6.2 แสดงการเปรียบเทียบเวลาเข้าสู่สถานะคงตัวต่อสแตปโหลดของระบบทั้งสาม

แสดงผังการเปรียบเทียบ โอเวอร์ซูทจากการตอบสนองต่อสแตปโหลดของระบบทั้งสาม จากการจำลองระบบด้วยคอมพิวเตอร์และจากระบบจริงแสดงได้ดังภาพที่ 6.3 และภาพที่ 6.4



ภาพที่ 6.3 แสดงการเปรียบเทียบโอเวอร์ซูทจากการตอบสนองต่อสแตปโหลดของระบบทั้งสามจากการจำลองระบบด้วยคอมพิวเตอร์

เอกสารนี้เป็นเอกสารที่สงวนไว้สำหรับการใช้งานเพื่อการศึกษาเท่านั้น ไม่อนุญาตให้นำไปใช้ประโยชน์ด้านการค้า ไม่ว่าจะกรณีใดๆทั้งสิ้น อีกทั้งห้ามมิให้คัดแปลงเนื้อหา และต้องอ้างอิงถึงเจ้าของเอกสารทุกครั้งที่มีการนำไปใช้



ภาพที่ 6.4 แสดงการเปรียบเทียบโอเวอร์ชูทจากการตอบสนองต่อสเตปโหลดของระบบทั้งสามจากระบบจริง

ผลจากการทดลอง ยังมีข้อผิดพลาดไปจากการจำลองระบบอยู่บ้าง แต่ผลที่ได้จากการเพิ่มรูปควบคุมโวลต์แดงเข้าไป ยังให้ผลในด้านของค่าเวลาเข้าสู่สภาวะคงตัวของระบบต่อสเตปอินพุทและสเตปโหลดรวมถึงโอเวอร์ชูทของระบบต่อสเตปโหลดน้อยกว่าแบบ 2 รูป ซึ่งค่าผิดพลาดของระบบจริงที่เบี่ยงเบนไปจากการระบบที่จำลองด้วยโปรแกรมคอมพิวเตอร์นั้น มาจากค่าผิดพลาดของอุปกรณ์ที่ใช้สังเคราะห์ตัวควบคุมแทนค่าที่คำนวณได้ และจากคุณสมบัติของคิซิมอเตอร์ที่อุณหภูมิสูงกว่าที่ระบุไว้ที่ 25 องศาเซลเซียส

จากผลที่ได้สามารถนำรูปควบคุมโวลต์แดงไปใช้งานกับระบบอื่นๆ ได้แก่ระบบควบคุมระยะทาง ระบบการขนส่งที่ใช้ล้อเลื่อน หรือระบบที่ต้องใช้การควบคุมคิซิมอเตอร์ให้มีผลตอบสนองเร็วที่สุดและลดผลจากการรบกวนของสิ่งแวดล้อมภายนอกให้ต่ำลงได้

เอกสารนี้เป็นเอกสารที่สงวนไว้สำหรับการใช้งานเพื่อการศึกษาเท่านั้น ไม่อนุญาตให้นำไปใช้ประโยชน์ด้านการค้าไม่ว่ากรณีใดๆทั้งสิ้น อีกทั้งห้ามมิให้คัดแปลงเนื้อหา และต้องอ้างอิงถึงเจ้าของเอกสารทุกครั้งที่มีการนำไปใช้

บรรณานุกรม

- [1] A. Buxbaum , K. Schierau and A. Straughen. Design of Control Systems for DC Drives. Berlin :Springer-Verlag, 1990
- [2] Electro-craft corp. USA. DC motor speed controls servo systems. New York : Pergamon Press, 1977
- [3] Friedrich Frohr and Fritz Orthenburger. Introduction to Electronic Control Engineering. New Delhi : Wiley eastern limited, 1992
- [4] T. Krishnan and B. Ramaswami. "Speed control of D.C. motor using thyristor dual converter." IEEE Transactions on Industrial Electronics and Control Instrumentation IECI-23 No.4 (November 1976) : 391-399
- [5] นนทวัฒน์ จุลเดชะ, "ระบบควบคุมความเร็วมอเตอร์ไฟฟ้ากระแสตรงชนิดกระตุ้นแยกด้วยสตาติกคอนเวอร์เตอร์", วิทยานิพนธ์สำหรับปริญญาวิศวกรรมศาสตรมหาบัณฑิต คณะวิศวกรรมศาสตร์ สจล., 2528
- [6] โยธิน เปรมปราชญ์รัชต์. วิเคราะห์และออกแบบระบบควบคุมมอเตอร์. กรุงเทพฯ : สจล., 2526
- [7] วรศักดิ์ จิตรภักดี, "ระบบควบคุมความเร็วมอเตอร์ไฟฟ้ากระแสตรงแบบทำงานสี่ควอดแรนต์ด้วยพีดีบีบลิวเอ็มคอนเวอร์เตอร์", วิทยานิพนธ์สำหรับปริญญาวิศวกรรมศาสตรมหาบัณฑิต สาขาวิศวกรรมไฟฟ้า บัณฑิตวิทยาลัย สจล., 2531
- [8] Katsuhiko Ogata. Modern control engineering. Toronto : Prentice hall, 1990
- [9] T.Kenjo and S.Nagamori. Permanent-Magnet and Brushless DC Motor. Oxford : Clarendon press, 1985
- [10] National Semiconductor. National Operational Amplifiers Databook. California : National Semiconductor, 1995
- [11] Sergio Franco. Design with Operational Amplifiers and Analog Integrated Circuits. Sanfrancisco : McGraw Hill, 1988
- [12] Katsuhiko Ogata. Designing Linear Control System with MATLAB. New Jersey : Prentice Hall, 1994
- [13] Naomi Ehrich Leonard and William S.Levine. Using Matlab to Analyze and Design Control Systems. California : Benjamin/Cummings, 1995
- [14] Copley Control Corp., Westwood, "DC Brush Servo Amplifiers model 4122"

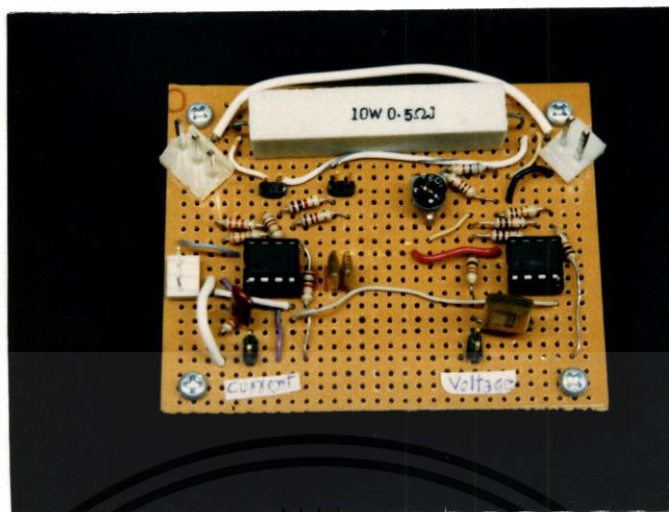
- [15] John L.Hilburn and David E.Johnson. Manual of Active Filter Design. New York : McGraw-Hill, 1973
- [16] Sanyo Denki co.,Ltd., Japan., “Manual of DC Servo Motor (U178T)”
- [17] Gerald E.Williams. Practical Transistor Circuit Design and Analysis. New Delhi : McGraw-Hill : 1973



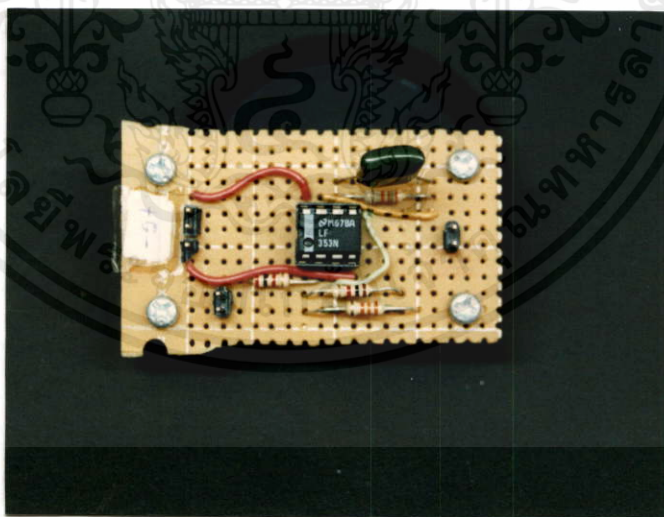
เอกสารนี้เป็นเอกสารที่สงวนไว้สำหรับการใช้งานเพื่อการศึกษาเท่านั้น ไม่อนุญาตให้นำไปใช้ประโยชน์ด้านการค้า
ไม่ว่ากรณีใดๆทั้งสิ้น อีกทั้งห้ามมิให้คัดแปลงเนื้อหา และต้องอ้างอิงถึงเจ้าของเอกสารทุกครั้งที่มีการนำไปใช้



เอกสารนี้เป็นเอกสารที่สงวนไว้สำหรับการใช้งานเพื่อการศึกษาเท่านั้น ไม่อนุญาตให้นำไปใช้ประโยชน์ด้านการค้า
 ไม่ว่ากรณีใดๆทั้งสิ้น อีกทั้งห้ามมิให้คัดแปลงเนื้อหา และต้องอ้างอิงถึงเจ้าของเอกสารทุกครั้งที่มีการนำไปใช้

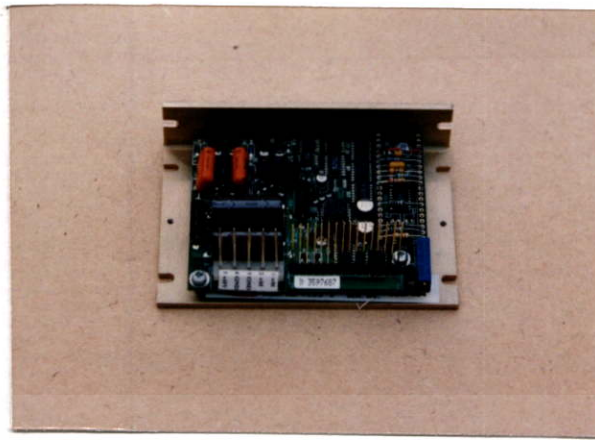


ภาพที่ 7.1 แสดงวงจรรองความถี่ต่ำผ่านของส่วนป้อนกลับโวลต์เดจและกระแส

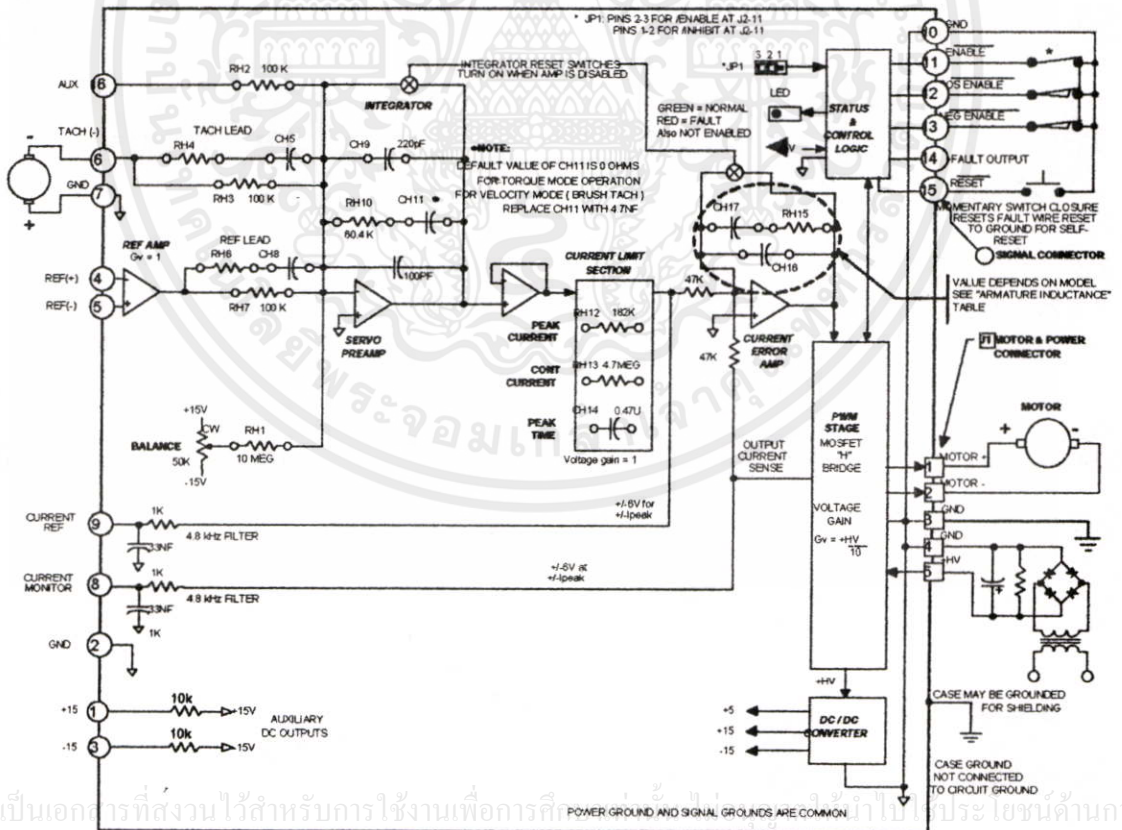


ภาพที่ 7.2 แสดงวงจรรองความถี่ต่ำผ่านของส่วนป้อนกลับความเร็วจากทาโคเจนเนอร์เตอร์

เอกสารนี้เป็นเอกสารที่สงวนไว้สำหรับการใช้งานเพื่อการศึกษาเท่านั้น ไม่อนุญาตให้นำไปใช้ประโยชน์ด้านการค้า ไม่ว่าจะกรณีใดๆทั้งสิ้น อีกทั้งห้ามมิให้คัดแปลงเนื้อหา และต้องอ้างอิงถึงเจ้าของเอกสารทุกครั้งที่มีการนำไปใช้



ภาพที่ 7.3 แสดงตัวขับเคลื่อนมอเตอร์หรือไดรฟ์เวอร์



ภาพที่ 7.4 แสดงบล็อกโคเดแกรมภายในของวงจรขับเคลื่อนมอเตอร์ [14]

ประวัติผู้เขียน

นายกิริติ พิฑูรพงษ์ เกิดเมื่อวันที่ 10 มีนาคม 2514 ที่จังหวัดสมุทรปราการ สำเร็จการศึกษาวissenschaftบัณฑิต ฟิสิกส์ประยุกต์ จากสถาบันเทคโนโลยีพระจอมเกล้าเจ้าคุณทหารลาดกระบัง ปีการศึกษา 2535 เป็นผู้ช่วยอาจารย์พิเศษระหว่างปีการศึกษา 2536-2540 ที่ภาควิชาฟิสิกส์ประยุกต์ คณะวิทยาศาสตร์ สถาบันเทคโนโลยีพระจอมเกล้าเจ้าคุณทหารลาดกระบัง



เอกสารนี้เป็นเอกสารที่สงวนไว้สำหรับการใช้งานเพื่อการศึกษาเท่านั้น ไม่อนุญาตให้นำไปใช้ประโยชน์ด้านการค้า ไม่ว่ากรณีใดๆทั้งสิ้น อีกทั้งห้ามมิให้คัดแปลงเนื้อหา และต้องอ้างอิงถึงเจ้าของเอกสารทุกครั้งที่มีการนำไปใช้